

Химический журнал армении

CHEMICAL JOURNAL OF ARMENIA

## Основан в 1947 г. Выходит 12 раз в год

### 

Ա. թ. Բաբայան *(դլխ. խմբադիր), Շ.* Հ. Բադանյան *(դլխ. խմբադրի տեղակալ),* Գ. Հ. Գրիգորյան, Վ. Մ. Թառայան, Մ. Հ. Ինճիկյան *(դլխ. խմբադրի տեղակալ),* Ա. Հ. Մանթաշյան, Մ. Գ. Մանվելյան, Գ. թ. Մարտիրոսյան, Ս. Կ. Գիրենյան, Ս. Հ. Վարդանյան, Ս. Ա. Ցեր-Դանիելյան *(պատ. բաբառւղար)* 

### РЕДАКЦИОННАЯ КОЛЛЕГИЯ

А. Т. Бабаян (глав. редактор), Ш. О. Баданян (зам. глав. редактора), С. А. Вартанян, Г. О. Григорян, М. Г. Инджикян (зам. глав. редактора). М. Г. Манвелян, А. А. Манташян, Г. Т. Мартиросян, С. К. Пиренян, В. М. Тараян, С. А. Тер-Даниелян (ответ. секретарь)

Маршари. Руш'й Ашидай Браши-19, Вшрыцшан. Руш'й, 244, 44n. 56-08-31 Адрес редакции: Ереван-19, Барекамутян, 24г, тел. 56-08-31

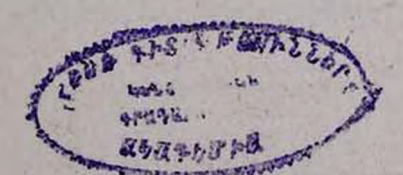
# СОДЕРЖАНИЕ

	Стр.
Общая и физическая химия	
Хачатрян Л. А., Манташян А. А. — Влияние поверхности реактора на га-	
зофазное окисление этана	203
серной кислоты, сульфата и персульфата калия на степень агрегации НПАВ ОС1-20 и ОС-55	209
Барсамян С. Т. — Термокинетическое исследование процесса электрической	
поляризации в полимерах. І. Термодинамика поляризации Маркарян Ш. А., Пирумян Г. П., Бейлерин Н. М. — Изучение гидратации	214
полноксиэтилированного гексадеканола-20 методов ЯМР	224
Неорганическая и аналитическая химия	
Манвелян М. Г., Оганесян К. Б Спекание ультрапористой структуры гео-	
метрически модифицированного в автоклаве кремнезема	229
Органическая химия	
<i>Шахназарян Г. М., Шахбатян Ш. Л.</i> — Получение бис-хлор- и бис-дихлор-	
виниловых соединений рекомбинацией аллильных остатков хлоралиил-	
хлоридов в присутствии железа	236
Макарян Г. М., Саргсян М. С., Баданян Ш. О. — Реакции непредельных соединений. XLVII. Реакции хелатов никеля (II) с пропаргильными га-	
логенидами	241
Вартанян Р. С., Исраелян Р. Г., Вартанян С. А. — Новый способ получе-	
ния β- и β,β-замещенных α-фенилакрилонитрилов	245
Миджоян О. Л., Григорян Н. А. — Производные двухосновных карбоновых кислот. XI. Четвертичные аммониевые солн аминоэфиров глутаровой	
н пробковой кислот	250
Гюльбудагян Л. В., Ван Нгок Хыонг, Дургарян В. Л. — Ревиции нуклео-	
фильного замещения 2-дихлорметил-4-метил-2,3-дигидротиено(3,2-c) хинолинов	254
Погосян С. А., Терзян А. Г., Татевосян Г. Т., Партев Д. З., Власен-	202
ко Э. В. — Производные индола. LX. 1,2,3,4,4a,5,7,13b,13c-Декагидро-	
-13Н-бенз(д)индоло-(2,3-а)индолизины и 1,2,3,4,4а,5,7,8,9,14,146,14с-до-	
декагидроизонндоло(1,2-а)индоло(2,3-с)азепины	260
Погосян Г. М., Асатурян И. А., Заплишный В. Н. — Полиангидриды на ос-	
нове 2-замещенных 4,5-бис(п-карбоксифенокси)-s-триазинов	267
Краткие сообщения	
Агбалян С. Г., Хачикян Р. Дж., Туманян К. И. — Присоединение алифа-	
тических аминокислот к β-ароилакриловых кислотам	273
Барсамян С. Т. — Термокинетическое исследование процесса электрической	
поляризации в полимерах. П. Оценка элементарного акта поляризации	276
Ерицян М. Л., Карамян Р. А., Арутюнян Б. С., Есаян К. А. — Отверждение трис(2,5-диоксотетрагидрофурил-4)изоцианурата алифатическими	
ные трис(2,3-диоксотетрагидрофурил-4)изоцианурата алифатическими и ароматическими аминами	279
Ерииян М. Л., Карамян Р. А., Арутюнян Б. С., Есаян К. А. — Получение	213
трис(2,5-дноксотетрагидрофурил-4)изоцианурата и смол на его основе	282

# CONTENTS

# General and Physical Chemistry

Khachatrian L. A., Mantashian A. H. — The Influence of the Reaction Vessel Surface on the Gas Phase Oxidation of Ethane	203 209 214 224
Manvellan M.G., Hovhanissian K. B. — Caking of the Ultraporous Structure of Silica Geometrically Modified in an Autoclave	229
Organic Chemistry	
Shaknazarian G. M., Shahbatian Sh. L. — Preparation of bis-Chloro and Dichlorovinyl Compounds by the Recombination of the Allylic Molety of Chlorallylchlorides in the Presence of Iron	236
gylic Halides	241
paration of β and β,β-Substituted α-Phenylacrylonitriles	245
and Cinnamic Acids	250
(3,2-c)quinolines	254
cahydroisoindolo(1,2-a)indolo(2,3-c)azepines	260
s-triazines	267
Short Communications	
Aghballan S. G., Khachiklan R. J., Tumanian K. I The Nucleophilic Ad-	
dition of Aliphatic Amino Acids to β-Aroylacrylic Acids	273
Yeritsian M. L., Karamian R. A., Aroutyunian B. S., Essaian K. A.—Improvements in the Curing Mechanism of tris(Succinic Acid Anhydride)	276
Isocyanurate with Aliphatic and Aromatic Amines	279
Based on the Formed	282



XXXI, № 4, 1978

## ОБЩАЯ И ФИЗИЧЕСКАЯ ХИМИЯ

УДК 541.943+547.212

# ВЛИЯНИЕ ПОВЕРХНОСТИ РЕАКТОРА НА ГАЗОФАЗНОЕ . ОКИСЛЕНИЕ ЭТАНА

## Л. А. ХАЧАТРЯН и А. А. МАНТАШЯН

Институт химической физики АН Армянской ССР, Ереван

Поступило 24 XI 1977

Изучалось влияние поверхности реактора на газофазное окисление этана в струевых условнях в цилиндрических кварцевых сосудах различных размеров при атмосферном давлении в интервале 313—434°C. В реакторах, промытых плавиковой инслотой и обработанных реакцией окисления метана или этана, при изменении времени контакта наблюдаются резкие переходы от практически незаметной реакции к значительным превращениям (при 434° выгорание этана составляет ~31% от исходной смеси).

В свежих, специально не обработанных реакторах явления скачкообразного изменения скорости процесса не наблюдается.

Рис. 5, библ. ссылок. 4.

При изучении окисления этана в струевых условиях [1] было обнаружено, что в реакторах диаметром больше 3 см богатые горючим смеси при определенных скоростях струи приводят к появлению пульсаций по давлению (в интервале 500—600°), вовлекая в реакцию более 40% исходного вещества—этана. Авторы отмечают, что в реакторах, промытых плавиковой кислотой, это явление не наблюдается. Однако ингибирующее воздействие стенок исчезает после сильного прокаливания реактора. Была установлена также критическая температура—500°, инже которой пульсации исчезают. Наблюденный режим в [1] назван холоднопламенным окислением.

Аналогичное явление было отмечено при окислении метана в струевых условиях в цилиндрическом пирексовом реакторе (l=33 см, d=8 см) при 465 и 485° [2].

Изучению явления резкого перехода от практически незаметной реакции к значительным превращениям при окислении этана посвящена и настоящая работа. Однако в отличие от [1] нам удалось наблюдать это явление как в реакторах, промытых плавиковой кислотой, но обработанных в течение длительного времени реакцией окисления этана или метана, так и при значительно более низких температурах, чем критическая температура, отмеченная в [1]. Опыты проводились

в струевых условиях в цилиндрических кварцевых сосудах различны размеров при атмосферном давлении. Стенки реактора предваритель но промывались слабым водным раствором плавиковой кислоты, за тем в течение длительного времени (2 месяца) обрабатывались путем проведения термической реакции окисления метана или этана. Продукты реакции и исходные вещества в реагирующей смеси анализировались хроматографически. Методики опытов и анализа продукто подробно описаны в [3].

В большом реакторе, использованном нами ( $d=6.9\,$  см,  $V=750\,$  см³) явление скачкообразного изменения скорости наблюдалось при больших временах контакта, достигающих 6 мин. 50 сек. при 355 ( $C_2H_6:O_2=2:1$ ). При меньших временах контакта анализируемые количества продуктов реакции не обнаруживаются. При указанном времени контакта после обработки реактора потоком реагирующих газов в течение 1,5 часа наблюдаются реэкое возрастание выхода продуктов и столь же резкое расходование этана и кислорода. Скачкообразной изменение превращения сопровождается сильным тепловыделением Только с помощью автоматического терморегулирования удается про водить реакцию в изотермических условиях.

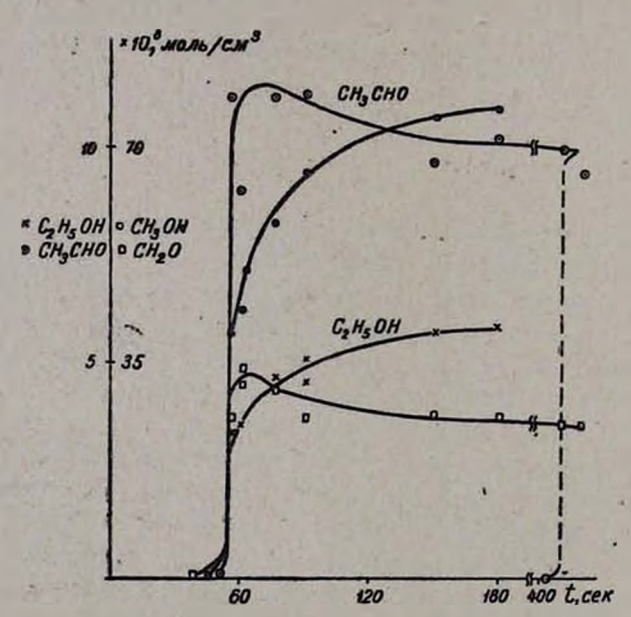


Рис. 1. Кинетические кривые накопления кислородсодержащих продуктов. Смесь  $2C_2H_6:O_2$ ,  $T=355^\circ C$ , давление атмосферное.

Если эксперимент начать с больших времен контакта и идти по пути его снижения (обратный эксперимент), то сразу устанавливаются высожие выходы продуктов, мало изменяющиеся с уменьшением времени контакта (рис. 1,2). Далее при определенных скоростях струн дальнейшее ее увеличение приводит к резкому опаду выходов и ско-

рость реакции становится ничтожно малой, но теперь уже при значительно меньших временах контакта ( $t_{\rm x}\!\simeq\!54$  сек. вместо 6 мин. 50 сек. в прямом эксперименте). Таким образом, в данном случае сильно сокращается период индукции (рис. 1,2). Если после этого повторить прямой эксперимент, т. е. идти по пути увеличения времени контакта, то период индукции вновь воэрастает до прежнего значения—6 мин. 50 сек. Воспроизводится и обратный эксперимент.

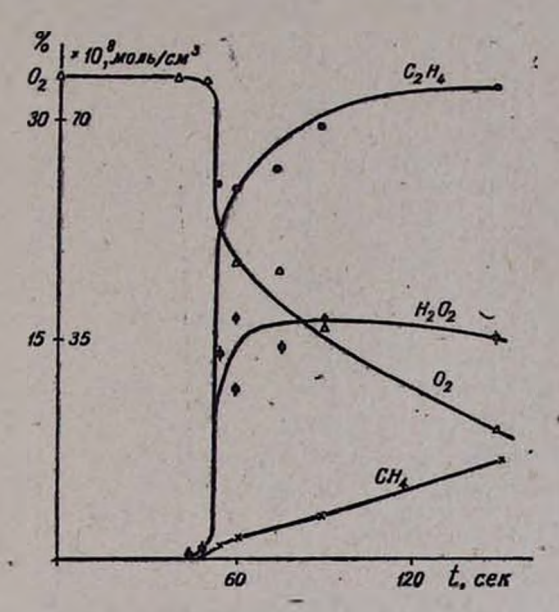


Рис. 2. Кинетические кривые накопления продуктов:  $C_2H_4$ ,  $H_2O_2$ ,  $CH_4$  и расходования кислорода. Смесь  $2C_2H_6:O_2$ ,  $T=355^{\circ}C$ , давление атмосферное.

При понижении температуры до 313° уменьшение выхода продуктов при увеличении скорости струи наблюдается уже при 70 сек. С повышением температуры изменяется также разность периодов индукции в прямом и обратном экспериментах. При 434° (омесь 2,5 С<sub>2</sub>Н $_{\rm E}$ :  $O_2$ :3 $N_2$ , давление атмосферное) эта разница исчезает и кинетические кривые, полученные в прямом и обратном экспериментах, совпадают (рис. 3—5). В этом случае, начиная с  $t_{\rm K} \simeq 60$  сек., незначительные изменения времени контакта приводят к резкому возрастанию выхода продуктов и столь же резкому расходу этана и кислорода (при  $t_{\rm K} = 64$  сек. выгорание этана составляет  $\sim 31\%$  исходной смеси, кислорода  $\sim 86,5\%$ ).

При 434° появляется новый ряд продуктов (рис. 5), которые в анализируемых количествах при более нижих температурах не обнаруживались. Трудно сказать что-либо об их связи с наблюдаемым явлением критического, скачкообразного изменения превращения. Однако можно предполагать, что продукты реакции при высоких температурах обрабатывают поверхность реактора более эффективно и приводят к сокращению периода индукции. Необходимо отметить также,

что увеличение температуры не только уменьшает разность периодов индукции в прямом и обратном экспериментах, но и в целом сокращает период индукции реажции и увеличивает выгорание в режиме скачкообразного изменения.

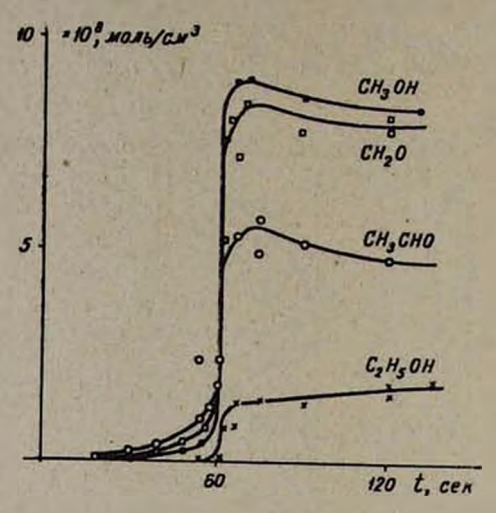


Рис. 3. Кинетические кривые накопления кислородсодержащих продуктов. Смесь  $2.5C_2H_6:O_2:3N_2$ ,  $T=434^{\circ}C$ , давление атмосферное.

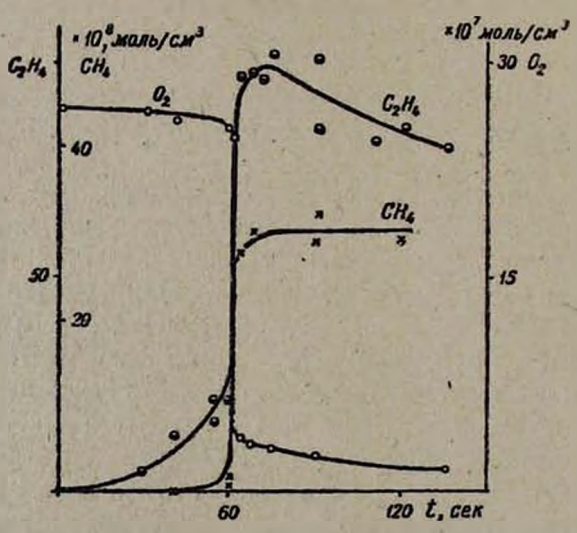


Рис. 4. Кинетические кривые накопления продуктов:  $C_2H_4$ ,  $CH_4$  и расходования кислорода. Смесь  $2.5C_2H_6:O_2:3N_2$ , T=434°C, давление атмосферное.

Для установления влияния размеров сосуда на наблюдаемые закономерности изучалось окисление этана в реакторе меньших размеров ( $d \simeq 4$  см, V = 210 см<sup>3</sup>, промытый HF), поверхность которого долгое время обрабатывалась термической реакцией окисления метана. Даже после такой обработки, когда в реакторе с d = 6.9 см (V =

=750см<sup>3</sup>) было возможно наблюдать протекание реакции в режима скачкообразного изменения скорости процесса, было зафиксировано только едва заметное превращение реагирующей смеси при 355° (смесь  $2C_2H_6$ : $O_2$ ,  $P_{odin}$  = atm.).

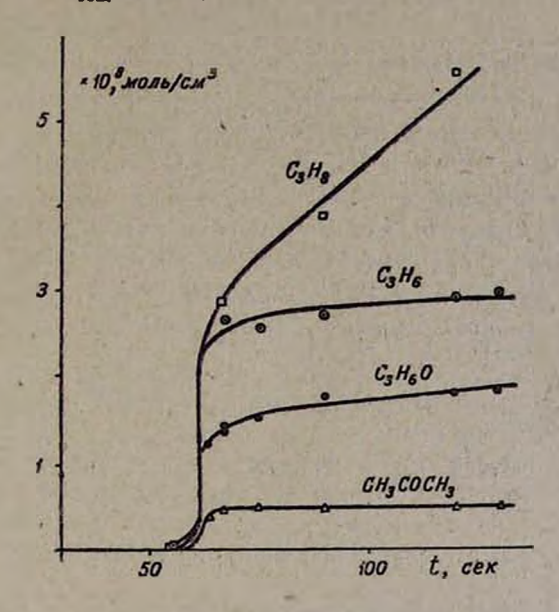


Рис. 5. Кинетические кривые накопления продуктов:  $C_3H_8$ ,  $C_3H_6$ ,  $C_3H_6$ О и  $CH_3COCH_3$ . Смесь  $2,5C_2H_6:O_2:3N_2$ ,  $T=434^{\circ}C$ , давление атмосферное.

Однако обработка поверхности путем проведения реакции при более высокой температуре ( $405^{\circ}$ ) с последующим медленным снижением ее позволило при 355° вновь наблюдать скачкообразное изменение скорости процесса. Опыты в сооуде с большим диаметром (d=6 см, V=485 см<sup>3</sup>), который после промывки 5% водным раствором плавиковой кислоты не обрабатывался специально медленной реакцией, при 380° показали, что пропускание реакционной смеси в течение нескольких дней через реактор не приводит к обработке ее поверхности и заметным превращениям. Реакция протекает только при температурах выше  $400^{\circ}$ . При понижении температуры до 355° реакция снова исчезает и скачкообразного изменения скорости не наблюдается.

Эти данные указывают на сильную зависимость протекания реакции от размеров реактора и состояния поверхности («свежая» или «старая», обработанная). В связи с этим можно отметить результаты, полученные Ноксом и Норришем, отмечающих, что возникновение холодных пламен в этан-кислородных смесях в статических условиях воэможно наблюдать при 300—380° в реакторах больших объемов и давлениях выше 600 тор (если в реатирующей смеси процентный состав этана большой) [4].

# ՌԵԱԿՏՈՐԻ ՄԱԿԵՐԵՍԻ ԱԶԴԵՑՈՒԹՅՈՒՆԸ ԷԹԱՆԻ ԳԱԶԱՖԱԶ ՕՔՍԻԴԱՑՄԱՆ ՎՐԱ

### L. U. BUQUSPBUL L U. 2. VULPUCBUL

313÷434 ջիրնաստիճանային տիրույթում մβնոլորտային ճնշման տակ ուսումնասիրվել է ռեակտորի մակերեսի ազդեցությունը էթանի գազաֆաղ օքսիդացման վրա շիթային պայմաններում։ Ֆտորաջրածնական թթվի լու-ծույթով ողողված և մեթանի կամ էթանի թերմիկ օքսիդացման ռեակցիայով մշակված ռեակտորներում կոնտակտի ժամանակի փոփոխությունից նկատվում են կտրուկ, թռիչքաձև փոփոխություններ գործնականորեն աննշմարելի ռեակցիայից դեպի մեծ փոխարկումներ (434°C-ում էթանի ծախսը կաղմում է ~31% =64 վայրկյանի դեպբում)։ Թարմ, Տատուկ չմշակված ռեակտորներում սլողցեսի արագության թռիչքաձև փոփոխություն չի նկատվում։

# THE INFLUENCE OF THE REACTION VESSEL SURFACE ON THE GAS PHASE OXIDATION OF ETHANE

### L. A. KHACHATRIAN and A. H. MANTASHIAN

The influence of the surface of different reaction vessels on the gas phase oxidation of ethane was studied in flow system at atmospheric pressure and in the temperature range of 313—434°C.

A sharp change from a practically unmeasurable reaction to a considerable conversion was observed on varying the contact time (at 434°C and  $\tau_{\rm cont}$ =64 sec. the consumption of ethane was 31°/0) in vessels treated with hydrofluoric acid and then by thermal oxidation reaction of methane or ethane. This did not occur in fresh, untreated reactors.

#### ЛИТЕРАТУРА

- 1. J. A. Gray, J. Chem. Soc., 1953, 741.
- 2. B. Merlaux, M. Lucguin, C. r., Serie C, 261 (1976).
- 3. А. А. Манташян, Л. А. Хачатрян, О. М. Ниазян, Арм. хим. ж., 31, 49 (1978).
- 4. J. H. Knox, R. G. W. Norrish, Trans. Far. Soc., 50, 928 (1954).

# XXXI, № 4, 1978

УДК 541.182.021

# ВЛИЯНИЕ СЕРНОЙ КИСЛОТЫ, СУЛЬФАТА И ПЕРСУЛЬФАТА КАЛИЯ НА СТЕПЕНЬ АГРЕГАЦИИ НПАВ ОС¹-20 И ОС-55

Г. П. ПИРУМЯН, Л. Х. СИМОНЯН, М. Г. ГЕВОРКЯН и Н. М. БЕЙЛЕРЯН

Ереванский государственный университет

Поступало 19 V 1977

Методом светорассеяния изучено влияние  $H_2SO_4$ ,  $K_2SO_4$  и  $K_2S_2O_8$  на стенень агрегации НПАВ ОС1-20 и ОС-55. Исследование разбавленных водных ( $\sim 1\%$ ) и водно-солевых растворов НПАВ показало, что агрегаты (мицеллы) имеют форму, близкую к сферической, и что степень агрегации молекулы НПАВ существенно зависит от свойств окружающей среды (растворителя). Уменьшение степени агрегации молекул НПАВ с увеличением концентрации добавок не зависит от длины оксиэтиленовой цепочки и природы применяемых добавок.

Рис. 2, табл. 2, библ. ссылок 6.

В последнее время внимание исследователей привлекают вопросы, связанные с механизмами реакций в присутствии поверхностно-активных веществ. Быстрое расширение производства и применение неионогенных поверхностно-активных веществ (НПАВ) связано не только со снижением их стоимости, но и главным образом с теми преимуществами, которые имеются у этой группы ПАВ, позволяющими широко использовать неионогенные ПАВ во многих областях химической науки и технологии. Они состоят в том, что их свойства можно последовательно изменять в широком диапазоне, легко регулируя длину полиоксиэтиленовой цепи и используя в смесях с другими веществами, т. к. они химически инертны и устойчивы к изменению рН.

Проведенные ранее работы [1-5] по изучению влияния НПАВ OC¹-20 и OC-55 на термический распад персульфата калия показали, что его распад в присутствии этих эмульгаторов намного увеличивается. Для выяснения причины влияния НПАВ была поставлена задача определения мицеллярных весов (числа апрегации) этих эмульгаторов и влияния на них персульфата калия. Вместе с тем для определения влияния  $SO_4^2$  и  $HSO_4$ , образующихся при термическом распаде  $S_2O_8^2$ , нами изучалось также влияние  $K_2SO_4$  и  $H_2SO_4$  на степень агрегации НПАВ. Для решения поставленной задачи дрименен метод светорассеяния. Опыты велись на приборе фирмы «SOFICA».

Для исследований использовались технические образцы НПАВ марок  $OC^1$ -20 [ $C_{16}H_{33}O(CH_2CH_2O)_{20}H$ ] и OC-55 [ $C_{16}H_{33}(CH_2CH_2O)_{55}H$ ].

Перед измерением светорассеяния разбавленные растворы НПАВ обеспыливались фильтрами Шотта № 4. Инкременты показателей пре-

ломления водных растворов НПАВ определялись дифференциальным рефрактометром ИРФ-23.  $\frac{dn}{dc}$  оказались зависящими от добавления кислоты и соли в пределах 0,145—0,160.

Измерения интенсивности светорассеяния проводились на фотогониодиффузометре фирмы «SOFICA» при неполяризованиом моно-

хроматическом свете с длиной волны в вакууме  $\lambda_0 = 546$  нм.

Измерялась также анизотропность мицелл НПАВ (факторы деполяризации) при горизонтально и вертикально поляризованном свете с той же длиной волны. Нами исследованы разбавленные ( ~1%) водные и водно-солевые растворы указанных НПАВ.

В качестве добавок изучались  $H_2SO_4$ ,  $K_2SO_4$ ,  $K_2S_2O_8$ , т. к. в вышеуказанных работах показано, что существует мицеллярное влияние

 $OC^{1}$ -20 и OC-55 на термический распад  $K_{2}S_{2}O_{8}$ .

В соответствии с теорией светорассеяния в разбавленных коллоидных растворах [6] для рассеивающих частиц с размерами меньшими, чем 1/20 длины волны света, выполняется соотношение

$$\frac{H_{\rm c}}{R_{90u}} = \frac{1}{M} + 2A_2C, \qquad H_{\rm c} = \frac{2\pi^2 n_0^2 \left(\frac{dn}{dc}\right)^2}{N\lambda_0^4}$$
 (1)
интенсивность неполярызованного света под углом 90°;

где  $R_{900}$  —интенсивность неполяризованного света под углом 90°;  $n_0$ —показатель преломления растворителя; C—концентрация, z/mn; N—число Авогадро;  $\lambda_0$ —длина волны падающего света в важууме; M—средневесовой молекулярный вес коллондных частиц;  $A_2$ —второй вприальный коэффициент.

Степень агрегации определяли по формуле

$$\alpha = \frac{M_{\mu}}{M_{\alpha}} \tag{1}$$

где  $M_{\rm p}$  — мицеллярный вес агрегата (мицеллы) [по формуле (1)];

 $M_{*}$  — молекулярный вес детергента (НПАВ).

Результаты определения мицеллярных весов  $OC^1$ -20 и OC-55 в воде и водно-солевых растворах  $H_2SO_4$ ,  $K_2SO_4$  и  $K_2S_2O_8$  приведены в табл. 1 и 2.

Таблица Молекулярные характеристики растворов ОС1-20 при различных добавках

Конц.	K <sub>2</sub> SO <sub>4</sub>			K	S <sub>2</sub> O <sub>8</sub>		H <sub>2</sub> SO <sub>4</sub>		
добавки, моль/л	$M_{\star} \cdot 10^{-4}$	a	A2.104	$\overline{M}_{\mu} \cdot 10^{-4}$	а	A2.101	$\overline{M}_{0} \cdot 10^{-4}$	а	A <sub>2</sub> ·10 <sup>4</sup>
O	9,60	85,50	0,95	9,60	85.5	0,95	9,60	85,50	0,95
0,010	8,45	75,30	1,00	8,55	76,2	1,20	6,70	59,70	1,25
0,025	7,80	69,50	1,00	7,70	68,6	1,75			-
0,035	6,75	60,16	1,30	7,25	64,6	1,90	100	_	_
0,050	6,25	55,70	1,50	6,70	59,7	2,00	5,65	50,35	1,50
0,100	-	-	-	-		-	5,40	48,12	1,75

Таблица 2 Молекулярные характеристики растворов НПАВ ОС-55 при различных добавках

Колц.		K <sub>2</sub> SO <sub>4</sub>			K <sub>2</sub> S <sub>2</sub> O <sub>8</sub>		H <sub>2</sub> SO <sub>4</sub>		
-afanten	$\overline{M}_{\mu} \cdot 10^{-4}$	а	A2-104	$\overline{M}_{9} \cdot 10^{-4}$	а	$A_2 \cdot 10^4$	$\overline{M}_{\mu} \cdot 10^{-4}$	а	A2.104
0	16,1	54,47	1,50	16,1	54,47	1,50	16,1	54,47	1,50
0,010	13,7	51,46	1,45	14,1	52,97	1,50	12,0	45,00	1,62
0,025	11,7	43,95	1,55	12,0	45,00	1,60	10,8	40,00	1,65
0,035	10,8	40,57	1,70	11,2	42,00	1,80			_
0,050	-10,0	37,56	1,72	10,5	39,40	1,85	9,5	35,00	1,90
0,100	_	· —		-	-	_	8,5	31,00	1,95

Характер зависимости мицеллярных весов от концентрации солей приведен на рис. 1, 2.

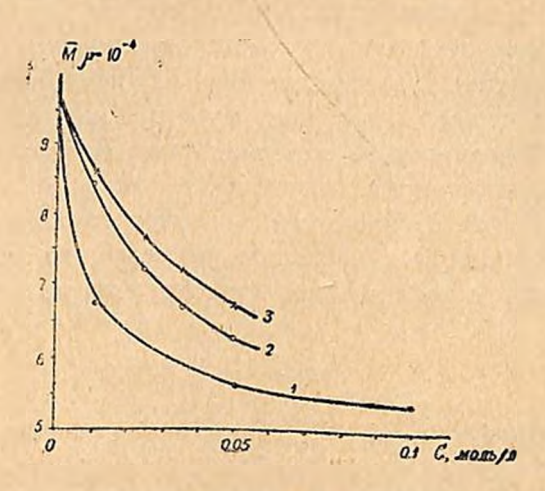


Рис. 1. Зависимость мицеллярных весов HIIAB  $OC^1$ -20 от концентрации добавок  $H_2SO_4$ ,  $K_2SO_4$ 

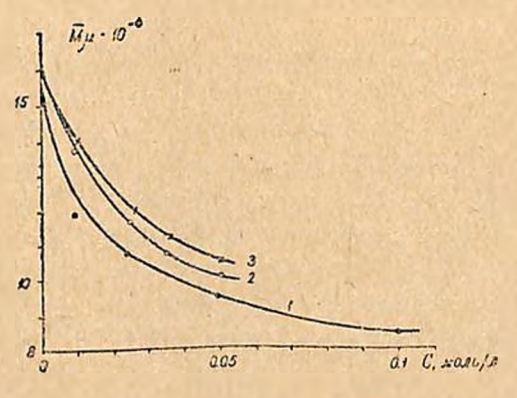


Рис. 2. Зависимость мицеллярных весов НПАВ ОС-55 от концентрации добавок  $H_2SO_4$ ,  $K_2SH_4$ ,  $K_2S_2O_8$ .  $1-H_2SO_4$ ,  $2-K_2SO_4$ ,  $3-K_2S_2O_8$ .

# Обсуждение результатов

Измерение факторов деполяризации  $\Delta_h$ ,  $\Delta_v$ ,  $\Delta_u = \frac{1+\Delta h}{1+\Delta_v^{-1}}$  показало, что агрегаты НПАВ имеют почти сферическую форму, Последнее хорошо согласуется с литературными данными.

Характеристическая асимметрия светорассеяния оказалась близкой к единице ( $Z=1,01\div1,02$ ), что не позволило определить размеры агрегата. Можно утверждать, что размеры мицелл представляют собой величину меньшую, чем  $\lambda/20$ .

Анализ данных по характеристической асимметрии и факторам деполяризации разбавленных растворов НПАВ указывает на то, что агрегаты имеют форму, близкую к сферической, и одновременно являются компактными частицами, размеры которых, как было указано, меньше 20 нм.

Как видно из данных табл. 1 и 2, степень агрегации молекул НПАВ существенно зависит от свойств окружающей среды (растворителя). Систематическое уменьшение степени апрегации молекул НПАВ, очевидис, не зависит от оксиэтиленовой цепочки. Можно предположить, что в данном случае заметное влияние на степень апрегации НПАВ имеют концентрации анионов  $SO_4^{2-}$  и  $S_2O_8^{2-}$ , а также различие их полярностей. Монотонный рост второго вириального коэффициента (A2) (табл. 1 и 2) качественно указывает на улучшение «растворимости» мицелл с увеличением концентрации соли.

# ԾԾՄԲԱԹԹՎԻ, ԿԱԼԻՈՒՄԻ ՍՈՒԼՖԱՏԻ ԵՎ ՊԵՐՍՈՒԼՖԱՏԻ ԱԶԴԵՑՈՒԹՅՈՒՆԸ OC¹-20 ԵՎ OC-55 ՈՉ ԻՈՆՈԳԵՆ ՄԱՆ-ԵՐԻ ԱԳՐԵԳԱՑՄԱՆ ԱՍՏԻՃԱՆԻ ՎՐԱ

Գ. Պ. ՓԻՐՈՒՄՅԱՆ, Լ. Խ. ՍԻՄՈՆՅԱՆ, Մ. Գ. ԳԵՎՈՐԳՅԱՆ և Ն. Մ. ՐԵՅԼԵՐՅԱՆ

Լուսացրման մեթոդով ուսումնասիրված է H<sub>2</sub>SO<sub>4</sub>-ի, K<sub>2</sub>SO<sub>4</sub>-ի և K<sub>2</sub>S<sub>2</sub>O<sub>8</sub>-ի աղդեցությունը OC¹-20 և OC-55 ոչ իոնոդեն ՄԱՆ-երի ագրեդացման աստիձանի վրա։ Ոչ իոնագեն ՄԱՆ-երի նոսը (~1%) ջրային և աղա-ջրային լուծույթների ուսումնատիրությունը ցույց է տվել, որ ադրեդատները (միցելները) ունեն դնդայինին մոտ ձև և որ ոչ խոնոդեն ՄԱՆ-երի ագրեդացման աստիձանը էապես կախված է շրջապատուղ միջավայրի (լուծիչի) հատկություններից։ Ոչ իոնոդեն ՄԱՆ-երի ագրեդրացման աստիձանի փոքրացումը, Հավելույթների կոնցենարացիաների մեծացման հետ կախված չէ օգսիէթիլենային շղթայի երկարությունից և օգտագործված հավելույթների ընույթից։

# THE INFLUENCE OF SULPHURIC ACID, POTASSIUM SULPHATE AND PERSULPHATE ON THE AGREGATION DEGREE OF NON-IONIC OC TYPE DETERGENTS

G. P. PIROUMIAN, L. KII. SIMONIAN, M. G. GEVORKIAN and N. M. BEYLERIAN

By light scattering method the agregation degree of non-lonic OC type detergents has been investigated in dilute aqueous solutions in the presence of sulphuric acid, potassium sulphate and persulphate. It is shown that the mycelles have approximatly spheric shape which essentialy depends on medium properties. The agregation degree practically does not depend on the length of the allphatic hydrocarbon chair and on the investigated electrolytes.

# ЛИТЕРАТУРА

- 1. А. Л. Самвелян, Г. П. Пирумян, Л. Г. Мелконян, Уч. зап. ЕГУ, № 1, 1974.
- 2. А. Л. Самвелян, Г. П. Пирумян, Л. Г. Мелконян, Уч. зап. ЕГУ, № 2, 1975.
- 3. А. Л. Самвелян, Л. Г. Мелконян, Г. П Пирумян, Уч. зап. ЕГУ, № 3, 1975.
- Г. П. Пирумян, А. Л. Самвелян, Л. Г. Мелконян, Р. С. Геворкян, Уч. зап. ЕГУ, № 1, 1977.
- А. Л. Самеелян, Г. П. Пирумян, Л Г Мелконян, А. С. Оганесян, Уч. зап. ЕГУ, № 3, 1976.
- б. К Шиноди, Т. Накагаба, Б. Тамамуси, Т. амамуси, Т. Исемура, Коллондные поверхностно-активные вещества (физ-хим. свойства), Изд. «Мир», М., 1966.

XXXI, № 4, 1978

УДК 541.64:66-971:537.212

# ТЕРМОКИНЕТИЧЕСКОЕ ИССЛЕДОВАНИЕ ПРОЦЕССА ЭЛЕКТРИЧЕСКОЙ ПОЛЯРИЗАЦИИ В ПОЛИМЕРАХ

1. ТЕРМОДИНАМИКА ПОЛЯРИЗАЦИИ

### С. Т. БАРСАМЯН

Всесоюзный научно-исследовательский и проектный институт полимерных продуктов, Ереван

Поступило 22 X 1976

Показано, что в полемерных конденсированных системах при воздействии электрического напряжения переход статистических элементов макромолекулы из одного состояния в другое происходит с преодолением некоторого энергетического барьера.

На основании экспериментальных данных температурной зависимости диэлектрической поляризации изучена энергия активации процесса поляризации поянмеров, величина которой представляется как произведение энергий активации элементарных актов на число кинетических единии данного объема. По кривой температурной зависимости мольной энергии активации можно оценить изменение кооперативности поляризационного процесса с учетом цепочечного строения полимеров.

Библ. ссылок 14.

В полимерах, имеющих статистическую диэлектрическую проницаемость в >3, дипольные моменты монозвеньев в основном характеризуют поляризационные свойства полимеров. Поляризационная теория Дебая [1]; основанная на диффузионном вращении диполей, в этом отношении ограничена. Дальнейшее развитие этой теории для сложных систем, в том числе для полимеров [2-6], не разрешило эти ограничения. В связи с этим не следует забывать, что полимерные системы обладают множеством уровней структурных организаций и любой структурный процесс на разных уровнях характеризуется, в частности, своим изменением термодинамического потенциала [7]. При этом дипольные монозвенья в системе могут совершать определенный ориентационный поворот по поляризующему полю с преодолением энергетических барьеров разных уровней. В первом приближении, если все эти уровни привести к одному, то, очевидно, что для реализации во всем объеме системы этого элементарного акта будет необходим широкий температурный или временной интервал. Такая же необходимость возникает в случае элементарного акта поляризации сегмента, состоящего, согласно ряду авторов, из 2-4 [8], 10-20 [9, 10] или 36 [11] монозвеньев. На наш взгляд, только при таком допущении можно будет ожидать постоянных значений энергий активации

процессов поляризации (радикальный или групповой и сегментальный или эластический) в температурных интервалах соответствующих релаксационных состояний полимеров [12].

Кинетический параметр процесса поляризации-усредненное время релаксации «приведенных кинетических единиц»\*, определенный на основании вышеуказанной модельной теории для множества высокомолекулярных соединений, показал [11] его довольно сложную температурную и временную зависимость. Это однозначно указывает на изменение длины «приведенной кинетической единицы» по экспериментальным шкалам. Такой результат согласуется с представлением авторов [7] о различных уровнях изменения термодинамического потенциала. Далее в одном из принципов релаксационной термодинамики [7] указано, что полимерные системы, как правило, обладают не одним (в случае простых низкомолекулярных), а несколькими устойчивыми состояниями, отвечающими относительным минимумам свободной энергии (систем, подсистем). Эти состояния можно считать равновеоными\*\*, осли онстема может находитыся в них достаточно долго по сравнению с временем эксперимента. Поокольку этим состояниям отвечают и малые системы, то к ним можем отнести и «приведенные кинетические единицы», внутренними параметрами которых могуг являться: число монозвеньев  $N_m$ , участвующих в этой единице; время релажсации мономерного звена так мономерный коэффициент трения €....

Далее представим энергетическую характеристику поляризационного процесса в полимерах и их оценку, исходя из экспериментальных возможностей. Обычно эта оценка процесса сводится к мольному объему полимера (из расчета на мономерное звено), в котором имеется разнообразие полимерных организаций [7]. Такой объем содержит  $N_k$  «приведенных кинетических единиц». Следовательно,

$$N_k \cdot N_m = N_A \tag{1}$$

где  $N_A$  — число Авогадро,  $N_m$  и  $N_k$  относятся к внешним параметрам мольного объема системы. Далее используем подход альтернативной теории диэлектрической релаксации Кауцмана [7], основанной на теории абсолютных скоростей химической реакции [14]. В изотермическом процессе поляризации полимера представляем ориентацию дипольных монозвеньев как поворот на угол  $d\Omega$  за время dt с преодолением потенциального барьера в при действии усредненной напряженности поля f и вероятности преодоления молекулой барьера в направлении электрического поля, равной

 <sup>«</sup>Приведенная кинетическая единица»—участок цепи, обладающей дипольным моментом или суммарным вектором дипольного момента от его составляющих отдельных группировок, поляризующихся в целом.

<sup>\*\*</sup> Равновесное состояние—ранний термин, «квазиравновесное состояние» в новом термокинетическом понимании.

$$w_1 = \frac{svkT}{h} \cdot \exp\left(\frac{\Delta S}{k}\right) \cdot \exp\left(\frac{-s}{kT}\right)$$
 (2)

где s—константа молекулы, учитывающая стерические препятствия при ориентации,  $\Delta S$ —изменение энтропии при переходе молекулы через барьер, k—постоянная Больцмана; h—постоянная Планка; T—абсолютная температура;  $\nu$ —константа вещества, учитывающая долю активированных диполей, совершающих переход. Воздействие напряженности f становится очевидным в выражении функции вероятности из классической теории диэлектрической поляризации [1, 3]

$$w_1 = \frac{\omega_0}{2\pi} \cdot \exp\left(-\frac{\Delta U - \mu_0 f}{kT}\right) \tag{3}$$

где  $\frac{\omega_0}{2\pi}$  — собственная частота дипольного монозвена,  $\mu_0$  — собственный дипольный момент монозвена.

$$\Delta U - \mu_0 f = \varepsilon \tag{4}$$

где  $\Delta U$ —величина энергетического барьера дипольного монозвена без воздействия электрического поля— $\mu_0 f$ . Вероятность преодоления барьера дипольным монозвеном против направления поля равна

$$w_2 = \frac{\omega_0}{2\pi} \exp\left(-\frac{\Delta U + \mu_0 f}{kT}\right) \tag{5}$$

при отсутствии же поля

$$\boldsymbol{w}_1 = \boldsymbol{w}_2 \tag{6}$$

Следовательно, направления дипольных моментов монозвеньев в мольном объеме по направлению поля и против будут равновероятными и соотношение их количеств равно единице

$$N_1(0) = N_2(0) = \frac{N_A}{2} \tag{7}$$

При длительном воздействии поля f следует ожидать полную ориентацию диполей  $N_1(0)$  в системе, что приводит к установленному значению поляризации. Кауцманом [13] на основании статистической теории Больцмана интегрированием процесса ориентации  $N_1$  диполей по времени установления получено значение равновесной поляризации

$$P_{\rm p} = \frac{N_A \mu_{\rm s\phi}^2 \alpha F}{3kT} \tag{8}$$

где р<sub>эф</sub> — эффективный дипольный момент монозвена;

$$\alpha = \frac{3\varepsilon_{\rm c}}{2\varepsilon_{\rm c} + 1} \tag{9}$$

$$\alpha F = f \tag{10}$$

Соотношение (9) для полимеров можно применять в ур. (8) с большим приближением [14], однако это не меняет результатов данного исследования. Исходя из условия равенства (7), полный вклад в равновесную поляризацию, вносят только  $N_1$ (0) монозвенья с собственным дипольным моментом  $\mu_0$ , и в ур. (8) можно ввести поправку:

$$P_{\rm p} = \frac{N_{\rm A} \, \mu_0^2 \, \alpha F}{3kT} \tag{11}$$

Релаксационное уравнение поляризации P в данный момент времени t с учетом ур. (2) примет вид

$$\frac{dP}{dt} = 4\pi w_1 P \tag{12}$$

Из классической теорин диэлектрической поляризации [3] с учетом ур. (3) получим

$$P = \frac{4\pi w_1 N_A \mu_0^2 x F}{3kT} \left[ 1 - \exp\left(-\frac{t}{\tau_0}\right) \right]$$
 (13)

где то — время перехода дипольного монозвена через данный потенциальный барьер в. Так как ток ориентационной поляризации мольного объема равен

$$J = \frac{dP}{dt} \tag{14}$$

то из ур. (3), (12) и (13) следует:

$$J = \frac{4\pi w_1 N_A \mu_0^2 \alpha F}{3kT} \exp\left(-\frac{\varepsilon}{kT}\right) \cdot \exp\left(-\frac{t}{\tau_0}\right)$$
 (15)

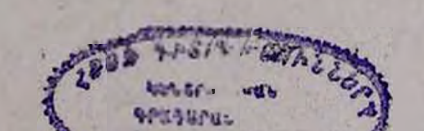
Однако при учете Каущмановского подхода [13] для поляризации и тока, соответственно, получим

$$P = \frac{2N_A w_0 \mu_0^2 \alpha F}{3k} \left[ 1 - \exp\left(-\frac{t}{\tau_0}\right) \right] \cdot \exp\left(-\frac{\varepsilon}{kT}\right)$$
 (16)

$$J = \frac{2N_A w_0 \mu_0^2 \alpha F}{3k\tau_0} \exp\left(-\frac{t}{\tau_0}\right) \exp\left(-\frac{\epsilon}{kT}\right)$$
 (17)

Согласно рассмотренной в данном случае применимости теории абсолютных скоростей реакций [14], ур. (12) и (15) характеризуют кинетику процесса поляризации дипольных монозвеньев как элементарный процесс, скорость которого подчиняется уравнению Аррениуса. Следо-

Армянский химический журнал, ХХХІ, 4-2



вательно, по изотермической зависимости тока образца легче опредслить в поляризации дипольных монозвеньев при помощи формулы (17). Однако такой экспериментальный подход затруднителен по сравнению с измерениями процесса заряда образцов при их напреве по закону

$$T = T_0 + vt \tag{18}$$

где v -- скорость нагрева.

Для определения энергии активации процесса поляризации этот динамический метод, на наш взгляд, имеет следующие преимущества перед изотермическим.

- 1. Температурная зависимость изменения тока поляризации образца может быть спределена для различных температурных интервалов из результатов одного опыта с одним образцом и таким образом исключаются возможные неточности при изучении кинетики процесса поляризации. Это особенно важно для полимерных образцов. В случае же изотермического метода для исследования каждой температурной области необходим отдельный опыт. При этом образец до установления требуемой температуры может подвертаться предварительному воздействию структурных изменений, касающихся термической предыстории образца и необратимых химических превращений, особенно при высоких температурах.
- 2. Непрерывная запись тока заряда по температурной шкале дает возможность учесть опецифику кинетики процесса поляризации, т. е. его порядок в случае возможных наложений различных элементарных актов, аналогично химическим процессам.

Таким образом, задача сводится к получению температурной динамической зависимости релаксационного уравнения поляризации, что легко осуществляется подотановкой в ур. (12) ур. (18) в виде

$$dt = \frac{dT}{dt} \tag{19}$$

что приводит к уравнению

$$\frac{dP}{dT} = \frac{4\pi w_1}{v} P \tag{20}$$

Из. ур. (12) легко заметить, что

$$\frac{dP}{dt} = k_{\rm H} P_{\rm H}^n \tag{21}$$

где n—порядок процесса. В данном случае n=1, т. к. все виды поляризаций сводятся к элементарному акту ориентации дипольных монозвеньев.  $k_{\rm H}$ —константа скорости процесса. Она подчиняется уравнению Аррениуса [14]:

$$k_{\rm H} = k_{\rm 0H} \exp\left(-\frac{H_{\rm H}}{RT}\right) \tag{22}$$

где  $k_{\text{он}}$  — предэкслоненциальный множитель, сравнительно мало зависящий от температуры; R — универсальная газовая постоянная;  $H_{\text{и}}$  — энергия активации процесса, совершаемого в мольном объеме вещества. При динамическом подходе из ур. (20) следует

$$\frac{dP_{x}}{dT} = k_{xx} P_{x}$$

и согласно ур. (19), получим

$$\frac{dP_{a}}{dt} = vk_{a\tau}P_{a} = k_{at}P_{a} \tag{23}$$

Здесь порядок по соображениям, аналогичным ур. (21), равен единице, а  $k_{\rm gr}$  — константы скорости процесса по временной и температурной шкалам эксперимента при динамическом режиме температуры. Можно заметить, что эти «константы», безусловно, будут зависеть от температуры и что они не могут подчиняться уравнению Аррениуса, особенно для полимерной системы. Поэтому считаем ошибочным приписывать этой константе температурную зависимость так называемого «Аррениусовского типа» и для практических расчетов энергий активаций процессов электропроводности пользоваться формулами в общем виде

$$\Delta \ln J_{x} = -\frac{H}{R} \Delta \frac{1}{T} \tag{24}$$

хотя бы потому, что

$$\frac{dP_{x}}{dT} \neq J_{x} \tag{25}$$

где  $J_x$ —ток поляризации при динамическом режиме. В реальных условиях эксперимента при измерении электропроводности полимеров будет некорректным считать все  $\frac{N_A}{2}$  диполи участвующими в процессе поляризации. Это связано с «потерей» начальной доли дипольных монозвеньев, поляризующихся до начала регистрации тока, а при высоких температурах с химическими превращениями полимера. Поэтому мы вправе принять, что динамические кривые J-T отражают поляризацию N диполей в мольном объеме, отличных от числа  $\frac{N_A}{2}$ . Вновь обращаясь к теории абсолютных скоростей реакции, согласно ур. (23), можно написать:

$$k_{xt} = -\frac{dy}{ydt} \tag{26}$$

где  $y = \frac{N - N_i}{N}$  (27) — доля еще не поляризованных дипольных мо-

нозвеньев к моменту  $t_l$ ;  $N_l$  — число диполей, поляризованных к моменту  $t_l$ . Из ур. (19), (26), (27) получим

$$k_{xt} = \frac{vdN_t}{(N - N_t) dT} \tag{28}$$

Для температур  $T_1$  и  $T_2$ , соответствующих моментам времен  $t_1$  и  $t_2$ , можно написать:

$$\ln k_{M_1} = \ln v + \ln \frac{dN_{M_1}}{dT_1} - \ln (N - N_1)$$
 (29)

$$\ln k_{\rm gl_2} = \ln v + \ln \frac{dN_{\rm g2}}{dT_{\rm g}} - \ln (N - N_{\rm g}) \tag{30}$$

и, следовательно,

$$\Delta \ln k_{M_{21}} = \ln \frac{dN_{22}}{dN_{21}} + \ln \frac{N - N_1}{N - N_2}$$
 (31)

где берется  $dT_1 = dT_2$ .

Поскольку скорости изотермических процессов (ур. 21 и 22) при  $T_1$  и  $T_2$  также подчиняются аналогичным закономерностям (26) и (27) и на кривых изотерм всепда возможно выбрать такие моменты времен  $t_1$  и  $t_2$ , чтобы реализовать условиє

$$N - N_1 = N - N_2 \tag{32}$$

то получим

$$\Delta \ln k_{\text{H}21} = \ln \frac{dN_{\text{H}2}}{dN_{\text{H}1}} \tag{33}$$

Из условия (32) легко заметить, что число дипольных монозвеньев, поляризующихся в двух процессах (изотерма и динамика) за промежуток времени dt при  $T_1$  и  $T_2$ , взаимно пропорциональны, т. е.

$$\frac{dN_{u2}}{dN_{u1}} = \frac{dN_{u2}}{dN_{v1}} \tag{34}$$

Следовательно, из ур. (31) и (33) получим

$$\Delta \ln k_{\text{M}21} = \Delta \ln k_{\text{M}21} + \ln \frac{N - N_1}{N - N_2} \tag{35}$$

С другой стороны, для скоростей изотермических процессов справедливо

$$\Delta \ln k_{H21} = \frac{1}{R} \left( \frac{H_{H1}}{T_1} - \frac{H_{H2}}{T_2} \right) \tag{36}$$

а для динамического

$$\Delta \ln k_{A21} = \frac{1}{R} \left( \frac{H_{A1}}{T_1} - \frac{H_{A2}}{T_2} \right) \tag{37}$$

В ур. (36) и (37)  $H_{\text{и1}}$ ,  $H_{\text{и2}}$  и  $H_{\text{x1}}$ ,  $H_{\text{x2}}$ — энергии активации изотермического и динамического процессов, соответственно, так что

$$H_{\text{H2}} - H_{\text{H1}} = \Delta H_{\text{H}} \tag{38}$$

$$H_{a2} - H_{a1} = \Delta H_a \tag{39}$$

При условии (32) с некоторым приближением можно приравнять приросты энергий активаций процессов изотермы и динамики в интервале  $T_2$ — $T_1$ 

$$\Delta H_{\rm II} \approx \Delta H_{\rm A}$$
. (40)

Решение ур. (35) совместно с ур. (36), (37), (38), (39) и учет приближения (40) приводят к выражению

$$H_{g1} \approx H_{H1} + \frac{R \ln \frac{(N-N_1)}{(N-N_2)}}{\frac{1}{T_1} - \frac{1}{T_2}}$$
 (41)

Таким образом, уравнение (41) показывает зависимость энергии активации при динамическом режиме от изменения количества поляризующихся дипольных монозвеньев, что не учитывалось при ошибочном подходе к определению энергии активации (ур. 24). Этот расчет (41) вернее, чем уже выбранный интервал  $T_1 - T_2$ . Далее из ур. (13) и (14) легко показать, что

$$\frac{dN_{A1}}{dN_{A2}} = \frac{J_1}{J_0} \tag{42}$$

где  $J_1$  и  $J_2$ —электропроводности полимера соответственно при  $T_1$  и  $T_2$  динамического процесса. При учете условий (34) и (42) уравнение (41) примет следующий вид:

$$H_{a1} \approx \frac{R}{\frac{1}{T_1} - \frac{1}{T_2}} \left( \ln \frac{J_2}{J_1} + \ln \frac{N - N_1}{N - N_2} \right)$$
 (43)

Чтобы привести формулу (43) к удобному для расчета виду, необходимо видоизменить член  $\ln \frac{N-N_1}{N-N_2}$ , заменив числа диполей N,  $N_1$  и  $N_2$  соответствующими площадями под кривой J-T. Это легко приводит к формуле

$$\ln \frac{N - N_1}{N - N_2} = \ln \frac{(J_1 + J_{np}) (T_{np} - T_1)}{(J_2 + J_{np}) (T_{np} - T_2)}$$
(44)

где  $J_{\rm пp}$  —предельное значение электропроводности при конечной температуре измерения  $T_{\rm np}$ . При изменении значения предельной температуры правая часть уравнения (44) не меняет своего значения.

Таким образом, энергию активации процесса электрической поляризации полимеров при динамическом режиме нагрева можно рассчитать по формуле

$$H_{21} = \frac{R}{\frac{1}{T_1} - \frac{1}{T_2}} \cdot \ln \frac{J_2 (J_1 + J_{np}) (T_{np} - T_1)}{J_1 (J_2 + J_{np}) (T_{np} - T_2)}$$
(45)

Величина  $H_{a1}$  характеризует процесс при данной температуре  $(T_1)$ , и чем уже выбранные интервалы температур  $(T_2-T_1)$ , тем точнее могут быть фиксированы температуры релаксационных переходов полимера по расчетной зависимости  $H_3-T$ .

# ԷլեկՏՐԱԿԱՆ ԲԵՎԵՌԱՑՄԱՆ ՊՐՈՑԵՍԻ ԹԵՐՄՈԴԻՆԱՄԻԿԱՆ ՊՈԼԻՄԵՐՆԵՐՈՒՄ

### U. P. PUPUUISUL

. Պոլիմերային կոնդենսացված սիստեմներում էլնկտրական դաշտի լարվածության աղդեցության դեպքում տեղի է ունենում մակրոմոլեկուլայի ստատիստիկ միավորների անցում մի դիրքից մյուսը որոշակի էներգիայի արդելքի հաղթահարումով։ Դիէլեկտրիկական բևեռացման ջերմաստիճանային
կախվածության փորձնական տվյալների ուսումնասիրումը ցույց է տալիս,
որ պոլիմերների բևեռացման ակտիվացման էներգիան, մասնակի անցման
էներգիայի և տվյալ ծավալում եղած կինետիկական միավորների թևի արտադրյալն է։ Մոլային ակտիվացման էներգիայի ջերմաստիճանային կախվածության կորի միջոցով կարելի է գնահատել բևեռացման պրոցեսի կոռպերատիվությունը, հաշփի առնելով նաև պոլիմերների կառուցվածքը։

# THERMODYNAMICS OF ELECTRICAL POLARIZATION PROCESSES IN POLYMERS

# S. T. BARSAMIAN

In polymer condensed systems, when an electrical field stress has been affected, transition of macromolecule statistic units from one position to another was shown to proceed by overcoming a certain energy barrier.

On the basis of experimental data concerning the temperature dependance of the dielectric polarization the activation energy of the polymer polarization process was investigated, it was found to be the product of the partial transition energy and the number of kinetic units in a given volume. The change in polarization process can be evaluated by the curve of temperature and activation mole energy relationship, taking into account the polymer chain structure.

### ЛИТЕРАТУРА

- 1. Г. Дебай, Г. Закк, Теория электрических свойств молекул, ОНТИ, Л.—М., 1936, стр. 142
- 2. C. J. Bottcher, Theory of Polarization, N. Y., 1952, p. 436.
- 3. Г. Фрелих, Теорня диэлектриков, ИЛ, М., 1960, стр. 246.
- 4. Г. П. Михайлов, Л. Л. Бурштейн, УФН, 74, 3 (1961).
- 5. R. M. Fuos, J. Am. Chem. Soc., 63, 369 (1941)
- 6. P. Debay, F. Buche, J. Chem. Phys., 19, 589 (1951).
- 7. С. Я. Френксль, Г. К. Ельяшевич, Релаксационные явления в полимерах, под ред. Г. М. Бартенева и Ю. В. Зеленева, Изд. «Химия», Л., 1972, стр 229.
- 8. A. H. Willborn, Trans. Far. Soc., 54, 717 (1958).
- 9. G. Adam, Kolloid. Z., 180, 11 (1962).
- 10. Ю. Я. Готлиб, К. М. Салихов, ФТТ, 4, 2461 (1962).
- Дж. Гофман, Г.Вильямс, Б. Пассаглиа, Переходы и релаксационные явления в полимерах, Изд. «Мир», М., 1968, стр. 193.
- 12. Б. И. Сажин, Электрические свойствя полимеров, Изд. «Химия», Л., 1970, стр. 376.
- 13. W. Kauzmann, Rev. Mod. Phys., 14, 12 (1942).
- 14. С. Глесстон, К. Лейдлер, П. Эйринг, ИЛ, М., 1948, стр. 683.

XXXI, № 4, 1978

УДК 541.123.21

# ИЗУЧЕНИЕ ГИДРАТАЦИИ ПОЛИОКСИЭТИЛИРОВАННОГО ГЕКСАДЕКАНОЛА-20 МЕТОДОМ ЯМР

Ш. А. МАРКАРЯН, Г. П. ПИРУМЯН и Н. М. БЕЙЛЕРЯН

Ереванский государственный униперситет

Поступило 7 VII 1977

Изучена концентрационная зависимость изменения протонных химических сдвигов воды и полиоксиэтилированного гексадеканола-20 (эмульгатор ОС-20) в водных смссях  $H_2$ О-ОС-20. Обнаружены переходные области между прочно связанными с полиэфириой группой молекулами воды и объемной жидкостью (при n=5-27 молекул  $H_2$ О на одно звено полиоксиэтиленовой группы и при n>27). Сделан вывод о зависимости природы межмолекулярных взаимодействий (характер гидратации) от концентрации эмульгатора в растворе.

Рис. 3, библ. ссылок 12.

Метод ЯМР широко используется для изучения механизма гидратации водорастворимых полимеров и поверхностно-активных веществ (ПАВ) (ионогенных и неионогенных) [1—7].

Структура и овойства мицелл ПАВ тесно связаны с характером гидратации ПАВ.

В данной работе методом ЯМР высокого разрешения изучены особенности гидратации неионогенного ПАВ С<sub>16</sub>Н<sub>33</sub> (ОСН<sub>2</sub>СН<sub>2</sub>)<sub>20</sub>ОН (эмульгатор ОС-20). Протонные химические сдвиги измерены на опектрометре ЯМР высокого разрешения «Hitachi-Perkin-Elmer R-20В» с рабочей частотой 60 мгц.

Характерный спектр ПМР для растворов  $CH_8(CH_2)_{14}CH_2$  (OCH<sub>2</sub>CH<sub>2</sub>)<sub>20</sub>OH—H<sub>2</sub>O показан на рис. 1. Сигналы от (CH<sub>2</sub>)<sub>14</sub> и CH<sub>3</sub> групп появляются в сильном поле, искаженный триплет от CH<sub>3</sub> группы четко наблюдается при конщентрации эмульгатора выше 20%. В слабом поле находится сигнал от (OCH<sub>2</sub>CH<sub>2</sub>)<sub>20</sub> групп, на который накладывается и сигнал от метиленовой группы углеводородного фрагмента, находящегося рядом с кислородом эфирной группы. В более слабом поле появляется сигнал, являющийся общим для протонов воды и гидроксильной группы (из-за быстрого протонного обмена). Для измерения химических сдвитов в качестве опорного сигнала использовали сигнал от метиленовых групп (R) алкильного фрагмента.

Известно, что влияние неионогенных ПАВ на структуру воды зависит как от структуры ПАВ (заместители, длина углеводородного фрагмента), так и от его количества. Как и для многих веществ, до-

бавление ПАВ к воде приводит к двум эффектам: разрыву связей вода—вода и межмолекулярному взаимодействию ПАВ с водой.

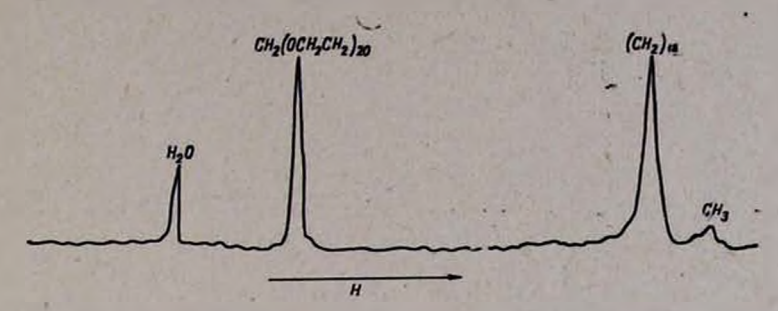


Рис. 1. Характерный спектр ПМР для растворов  $CH_3(CH_2)_{14}CH_2(OCH_2CH_2)_{20}OH$ —  $H_2O$ . Сигнал от протонов воды записан при более слабом усилении.

На рис. 2 представлена зависимость протонного химического сдвита воды  $\delta^R_{H,O}$  в системе ОС-20—вода от количества эмульгатора. Смещение сигнала воды можно объяснить нарушением водородных связей вода—вода и увеличением относительного вклада в положение сигнала протона группы ОН эмульгатора. Однако при больших количествах оксиэтиленовых групп (у эмульгатора ОС-20 оно равно двадцати) ролью группы ОН в связывании воды можно пренебречь (как и в случае полиэтиленгликолей [3]).

Следует отметить, что в изученных растворах минимальная концентрация эмульгатора превосходит критическую концентрацию мицеллообразования, так что все данные получены для мицеллярных растворов (выше 40% эмульгатора—мезоморфиая фаза). На рис. 2 можно выделить три участка с разным влиянием ОС-20 на воду. В богатых водой растворах (участок А) проиоходит сдвит сипнала воды в сторону сильного поля на 4 гц. Такое незначительное смещение свидетельствует о том, что в растворах с содержанием эмульгатора до 10% изменения в структуре воды незначительны, и, что большая часть воды имеет структуру, подобную структуре всей объемной воды. Наблюдаемое смещение обусловлено разрывом межмолекулярных водородных связей вода—вода и последующим образованием более слабых ассоциатов эмульгатора—вода (точнее, ПОЭ группа эмульгатора—вода).

В концентрационном интервале от 10 до 40%, где на одно звено группы ПОЭ приходится от 5 до 27 молекул воды, эти пропессы находятся в равновесии, что проявляется на рис. 2 постоянством химического сдвига  $\delta_{H,O}^R$  (область В). Начиная с 40% имеет место заметный спад сигнала воды в сторону сильного поля (область С на рис. 2). Это явление можно объяснить разрывом сильных межмолекулярных ассоциатов вода—вода, сопровождающимся образованием более слабых водородных связей между кислородом эфирной группы эмульгатора и водородами молекул воды. С точки зрения общей картины взаимодействия неэлектролитов с водой, трактуемой с позиции существования в воде льдоподобных глобул (кластеров) и незначительного

количества межглобульной воды, в этой области концентрации происходит распад глобул на отдельные ассоциаты [8]. При этом с атомом эфирного кислорода наиболее прочные водородные связи образуют одна—две молекулы воды [9]. При повышении температуры (T=60°) (кр. 2, рис. 1), как и следовало ожидать, резкий спад сигнала воды в сторону сильного поля наблюдается при более низких концентрациях эмульгатора (ср. участки А для кр. 1 и 2). Это объясняется тем, что при высоких температурах структура воды больше разрушена и распад глобул начинается при сравнительно низких концентрациях растворенного в воде вещества. В данном случае это происходит при 30% содержании эмульгатора.

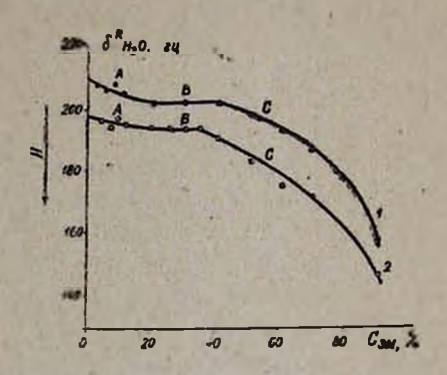


Рис. 2. Зависимость протонного химического едвига воды  $\tilde{t}_{\rm H_2O}^R$  в системе ОС-20— ${\rm H_2O}$  от количества эмульгатора (кр. 1 — T=34, кр. 2 — T=60°C).

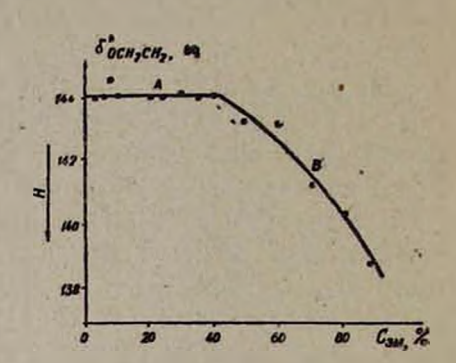


Рис. 3. Зависимость изменения химического сдвига метиленовых протонов  $\delta^{R}_{OCH_{9}CH_{9}}$  ПОЭ групп от количества эмульгатора в растворах ОС-20— $H_{2}O$ .  $T=60^{\circ}C$ .

На рис. З показана зависимость изменения химического сдвига метиленовых протонов (8ROCH.CH.) полиожсиэтиленовых групп от количества эмульгатора в растворах вода-ОС-20. Следует отметить, что сигналы, характеризующие ОС-20 в мезоморфной фазе  $(C_{3M} > 40\%)$ , в обычном режиме спектрометра  $(T=34^\circ)$  очень уширены и их нельзя наблюдать. Поэтому полная зависимость во оснаси. от количества эмульгатора получена при более высокой температуре (T=60°). Как видно из рис. 3, эта зависимость характеризуется двумя областями, отличающимися постоянством химического сдвига при содержании ОС-20 до 40% (участок А) и опадом при малых количествах воды (Свм > 40%). Сдвиги ситналов от протонов при СН группе в растворах неэлектролит-вода в сторону сильного поля при увеличении концентрации неэлектролита обнаружены в ряде работ [10-12]. Следует отметить, что этот сдвиг составляет во всех случаях маленькую величину, не более 0,15 м. д. Однажо им нельзя пренебречь, т. к. с этим связаны существование определенных межмолекулярных взаимодействий и структурные изменения растворов вода-неэлектролит

[11, 12]. В нашем случае максимальный сдвиг составляет 0,13 м. д. (7 гц). Из рис. 3 следует, что в области А сигнал метиленовых протонов ПОЭ звеньев находится в более слабом поле по сравнению с участком В. Другими словами, оводнение приводит к деэкранированию метиленовых протонов и к сдвигу соответствующих сигналов в сторону слабого поля. Этот факт можно объяснить поляризацией С-Н связей диполями воды при увеличении количества воды (гидрофобная гидратация ПОЭ звеньев). Постоянство химического сдвига на участке А (рис. 3) указывает на то, что метиленовые протоны ПОЭ групп паходятся в неизменной окружности. Следует отметить, что концентрационный интервал (Сэм до 40%) постоянства величины практически тот же, что и для величины oR H.O (области А на рис. 1 и 2). Следовательно, в этом концентрационном интервале имеются ассоциаты, образованные как за счет водородных связей между атомом водорода воды и кислорода ПОЭ звена (-ОН...ОСН2СН2-), так и за счет поляризации С-Н связей метиленовых групп ПОЭ звеньев дитюлями воды.

Таким образом, полноксиэтиленовые фрагменты эмульгатора ОС-20 могут подвергаться как гидрофильной, так и гидрофобной гидратации, причем при содержании ОС-20 больше 40% гидрофобная гидратация практически отсутствует (исчезает) и оставшееся взаимодействие вода—эмульгатор характеризуется только одним типом ассоциатов—ОН...ОСН<sub>2</sub>СН<sub>2</sub>— (гидрофильная гидратация).

# ՊՈԼԻՕՔՍԻԷԹԻԼԵՆԱՑՎԱԾ ՀԵՔՍԱԴԵԿԱՆՈԼ–20–ի ՀԻԴՐԱՏԱՑԻԱՅԻ ՈՒՍՈՒՄՆԱՍԻՐՈՒԹՑՈՒՆԸ ՄՄՌ ՄԵԹՈԴՈՎ

Շ. Ա. ՄԱՐԳԱՐՑԱՆ, Գ. Պ. ՓԻՐՈՒՄՑԱՆ և Ն. Մ. ՔԵՑԼԵՐՑԱՆ

Ուսումնասիրված է ջրի և պոլիօքսիէԹիլենացված Դեքսադեկանոլ-20-ի (էմուլգատոր OC -20) պրոտոնային քիմիական շեղումների փոփոխուԹյան կոնցենտրացիոն կախվածուԹյունը OC -20-ի ջրային խառնուրդներում։

Հայտնաբերված են պոլիէթերային խմբի հետ ամուր կապված ջրի մոլեկուլների և ծավալային հեղուկի միջև անցումային շրջաններ (n=5-27 ջրի մոլեկուլ պոլիօքսիէթիլենային խմբի մեկ օղակի վրա ընկնող և n>27 դեպ-քում), Փորձնական տվյալների հիման վրա արված է հետևություն այն մասին, որ միջմոլեկուլային փոխազդեցությունների բնույթը (հիդրատացիայի բնույթը) կախված է լուծույթում էմուլգատորի կոնցենտրացիայից,

# PMR STUDY OF POLYOXYETHYLATED HEXADECANOL-20 HYDRATATION

Sh. A. MARKARIAN, G. P. PIROUMIAN and N. M. BEYLERIAN

The concentration dependence of chemical shifts of water and polyoxyethylated hexadecanol-20 (OC-20) in water-OC-20 mixtures has been

studied. Transition domoins have been detected between polyether groups connected with water and volume liquid (5-27 molecules of water come to each polyoxyethylene monomer unit). It is assumed that intermolecular interactions depend on detergent (OC-20) concentration in solution.

### ЛИТЕРАТУРА

- 1. В. В. Манк, И. М. Соломенцева, А. А. Баран, О. Д. Куриленко, Уюр. хим. ж., 40, 28 (1974).
- 2. В. В. Манк, А. А. Баран, И. М. Соломенцева, О. Д. Куриленко, Колл. ж., 36, 1080 (1974).
- 3. В. Д. Зинченко, В. В. Манк, В. А. Моисеев, Ф. Д. Овчаренко, Колл. ж., 38, 44 (1976).
- 4. Ю. Е. Шапиро, О. К. Швецов, Н. П. Дозорова, А. А. Ершов, Колл. ж., 38, 943 (1976).
- 5. В. Д. Зинченко, В. В. Манк, В. А. Моисеев, Ф. Д. Овчаренко, Колл. ж., 39, 30 (1977).
- 6. J. M. Corkill, J. F. Goodman, J. Wyer, Trans. Faraday Soc., 65, 9 (1969).
- 7. А. А. Шагинян, О. М. Айвазян, Ю. Е. Налбандян, Л. Г. Мелконян, Ш. А. Маркарян, Қолл. ж., 39 440 (1977).
- 8. Н. Л. Лаврик, Ю. И. Наберухин, ЖСХ, 17, 446 (1976).
- 9. I. R. Holmes, D. Kivelson, W. C. Drinkard, J. Am. Chem. Soc., 84, 4677 (1962).
- 10. A. Fratielio, D. C. Douglass, J. Molec. Spectrosc., 11, 465 (1963).
- 11. C. I. Clemett, J. Chem. Soc., A, 4551 (1969).
- 12. Ю. А. Волохов, Н. Г. Довбыш, В. Б. Лебедев, В. Е. Миронов, ЖСХ 16. 1013 (1975).

# 

XXXI, № 4, 1978

## НЕОРГАНИЧЕСКАЯ И АНАЛИТИЧЕСКАЯ ХИМИЯ

УДК 541.183.23

# СПЕКАНИЕ УЛЬТРАПОРИСТОЙ СТРУКТУРЫ ГЕОМЕТРИЧЕСКИ МОДИФИЦИРОВАННОГО В АВТОКЛАВЕ КРЕМНЕЗЕМА

М. Г. МАНВЕЛЯН и К. Б. ОГАНЕСЯН Институт общей и неорганической химии АН Армянской ССР, Ереван Поступило 8 VI 1977

Исследован процесс спекания ультрапористой структуры геометрически модифицированного в автоклаве при 170° кремнезема. Показано, что термическая обработка при 800° в течение 8 час. или 960° в течение 4 час. приводит к полному спеканию ультрапористой структуры.

Рис. 3, табл. 1, библ. ссылок 8.

Гидротермальная обработка дает возможность снизить содержание примесных элементов в высокодисперсном кремнеземе до 10-8 вес. % [1]. Однако такая обработка вызывает образование очень токких пор-ультралор. Количество образующихся в кремнеземе ультрапор зависит от условий гидротермальной обработки (температура, давление). Максимально развитую ультрапористую структуру имеет кремнезем, обработанный в автоклаве при 170° [1]. Содержание ультрапор в нем во много раз больше, чем в промышленном силикателе марки ШСК, обработанном в автоклаве примерно в тех же условиях. Для оравнения на рис. 1 приведены кривые завноимости количества адсорбированной воды при  $p/p_s \simeq 0,1$ , отнесенной к единице поверхности для ряда образцов кремнезема и силикагеля марки ШСК [2, 3], обработанных в автоклаве при различных температурах. Как видно, ход кривых II и III примерно одинаков. Во всех случаях при гидротермальной обработке кремнезема, полученного по способу, разработанному в ИОНХ АН Арм. ССР, образуется более развитая ультрапористая спруктура и на этих образцах величина абсолютной адсорбции при  $p/p \simeq 0,1$  значительно больше, чем на образцах силчкателя марки ШСК. В положении максимума на кривых II и III (что соответствует ~40 м²/г) абсолютная адсорбция воды на геометрически модифицированном кремнеземе составляет ~90, на силикателе ШСК— $\sim$  17, на неультрапористом силикагеле—8—9 мкмоль/м² (кр. 1).

Нами была поставлена задача найти условия предварительной термической обработки, способствующие спеканию столь развитой ультрапористой структуры.

Термическая обработка геометрически медифицированного в автоклаве при 170° кремнезема проводилась при 700—900° в течение 4 и 8 час. (скорость повышения температуры 7°/мин). Более кратковременный и низкотемпературный прогрев недостаточен для спекания даже того относительно небольшого количества ультрапор, которое уже имеется в исходном кремнеземе [4]. О спекании ультрапор судили, как и в [2, 5], по изменению величины абсолютной адсорбции паров воды и метанола\*. Перед онятием изотерм адсорбции поверхность прокаленных образцов кремнезема регидроксилировалась (выдержка в воде при 90° в течение двух недель [2]). Об изменениях в текстуре образцов судили по электронно-микроскопическим синмкам.

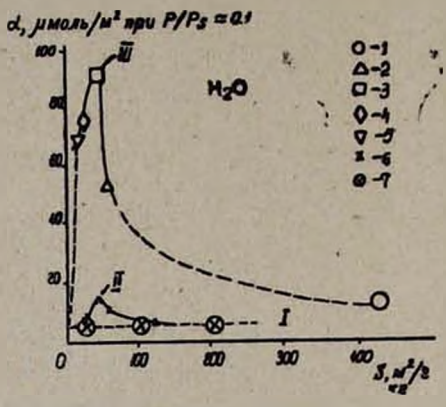


Рис. 1. Кривые зависимости количества адсорбционной воды при  $p/p_s = 0,1$ , отнесенной к единице поверхности для: I — образцов кремпезема — исходного (1) и обработанных в автоклаве при 160 (2), 170 (3), 180 (4) и 200° (5); II — образцов силикагеля марки ШСК исходного и обработанных в автоклаве [2]; III — неультрапористых силикагелей марки ШСК и КСК [2, 3, 6].

Условия обработки и основные результаты приведены в таблице. Как видно из таблицы, термическая обработка при 700—800° не вызывает сокращения поверхности кремнезема (S рассчитывалась по БЭТ из изотерм адсорбции Кг). Небольшое снижение s начинается только после 8-часового прогрева при 900°. При 1000° наблюдается сокращение s в 2 раза (8-часовая экспозиция).

На электронно-микроскопических снимках видно, что исходный кремнезем и прогретый при 800° имеют одинаковое строение скелета (рис. 2а, б). Это широкопористая губчатая структура с порами-пустотами и впадинами между бесформенными «червеобразными» апрегатами (светлые участки в поперечнике до 500Å и более). Термическая обработка при 900° (рис. 2в) приводит к некоторому уплотнению ске-

<sup>\*</sup> Величина абсолютной адсорбции паров воды и метанола—это величина адсорбции, отнесенная к единице поверхности, определенной по адсорбции криптона  $(a/s_{\rm Kr})$  при  $p/p_s$ .

Таблица
Влияние термической обработки на ультрапористую структуру геометрически модифицированного в автоклаве кремнезема (при 170° в течение 1,5 час.)

№ образца	Условно обработ			на удел ности, .		Отношение	Полное содержание	
	темпера- тура, °С	экспози- ция, час	криптона	мета- всон	воды	S <sub>CH<sub>3</sub>OH</sub> /S <sub>Kr</sub>	$S_{\rm H_{2}O}/S_{\rm Kr}$	структур- ной воды <sup>в</sup> , ммоль Н <sub>2</sub> О/г
1	Исходный		44,0	286	574	6,3	13,0	19,35
2	700	<b>4</b> 8	46.1 42,4	121 73	216 142	2,7 1,8	4,8 3,3	5.96 4,12
3	800	4 8	41,2 38,7	60 41	98 45	1,6 1,1	2.5 1,2	3,40 0,37
4 -	900	4 8	42.5 30,8	54 29	56 34	1,2 1,0	1,3	0,48 0,05
5	1000	4 8	27.6 20.5	32 21	30 25	1,17 1,0	1,1	- C

<sup>\*</sup> Определялось по потере веса при прокаливании при 1000° [6].

лета кремнезема-образованию микрообластей непористой массы, количество и протяженность которых заметно увеличиваются при 1000°, с чем связано сильное сокращение поверхности (рис. 2г). Сравнение микрофотографий показывает, что наблюдаемое при 900° уплотнение губчатого скелета кремнезема сопровождается постепенным ванием» некоторой части макропор, находящихся внутри ограниченной микрообласти (в центре рис. 2в четко просматривается такое «заплывание» пор размером 200-300 Å -образование утолщений и «натеков» вокруг поры). Однако даже после 8-часовой термической обработки при 1000° в грубодисперсном скелете кремнезема все еще имеются широкне поры—d=1000-5000 Å (пустсты между микрообластями непористой массы), что значительно больше  $d_{\rm nop}$  исходного кремнезема (рис. 2а и 2г). Образование таких очень широких пор при общей тенденции к сужению макропор (уменьшение дламетра и объема пор) (рис. 2в) впервые отмечалось в [7] при термической обработке силикагелей различной пористой структуры. Прогрев кремнезема при  $t > 900^\circ$  вызывает вязкотежучее сплавление [8] «червеобразных» частиц губчатой структуры внутри небольших, ограниченных участков. Уменьшение объема такой микрообласти в результате «стягивания» (вязкотекучее объемное сплавление частиц и заплывание макропор) приводит к образованию пустот вокруг них и, тем самым, к расширению зазоров между контактирующими микрообластями непористой массы, т. е. к образованию очень широких пор.

В противоположность макроструктуре, значительная часть внутриглобульных ультрапор (в данном случае внутри «червеобразных» частиц)

<sup>\*</sup> В качестве примера приводятся электронно-микроскопические синмки образцов, прогретых при заданных t в течение 8 час.

спекается уже при 700°. Адсорбция паров СН<sub>3</sub>ОН и Н<sub>2</sub>О на образцах 2 значительно меньше, чем на исходном. Отношения  $s_{\text{CH}_3\text{OH}}/s_{\text{Kr}}$  и  $s_{\text{H}_3\text{O}}/s_{\text{Kr}}$ , характеризующие степень ультрапористости, уменьшились соответственно с 6,2 и 13 до 2,7 и 4,8 (экспозиция 4 часа) или 1,8 и 3,3 (экспозиция 8 час.). При последующем повышении t обработки  $s_{\text{CH}_3\text{OH}}$  и  $s_{\text{H}_3\text{O}}$  быстро уменьшаются, приближаясь к эначениям  $s_{\text{Kr}}$  и уже при 800° (8 час.) или 900° (4 часа) разница между ними незначительна —  $s_{\text{CH}_3\text{OH}}/s_{\text{Kr}}$  и  $s_{\text{H}_3\text{O}}/s_{\text{Kr}} \simeq 1$ .



Рис. 2. Электронно-микроскопические снимки реплик геометрически модифицированного в автоклаве при 170° кремнезема до (а) и после термической обработки при: 800 (б); 900 (в); 1000° (г).

Наглядное представление о влиянии термической обработки на ультрапористую структуру геометрически модифицированного в автоклаве кремнезема дает сравнение изотерм абсолютных величин адсорбции паров СН<sub>3</sub>ОН и Н<sub>2</sub>О с соответствующими изотермами неультрапористых силикагелей ШСК и КСК [2, 3]. Из рис. З видно, что абсолютная адсорбция паров СН<sub>3</sub>ОН и Н<sub>2</sub>О на исходном образце (кр. 1) значительно больше, чем на неультрапористых силикагелях (кр. 6, 7). Так как поверхность всех образцов регидроксилировалась, то постепенное уменьшение величин абсолютной адсорбции СН<sub>3</sub>ОН и Н<sub>2</sub>О после термической обработки при 700—900° можно объяснить

спеканием ультранор. Увеличение продолжительности термообработки способствует более интенсивному их спеканию уже при 800°; изотермы абсолютных величин адсорбции практически совпадают с изотермами неультранористых силикателей. При 900—1000° ультранористая структура спекается в течение 4 час.

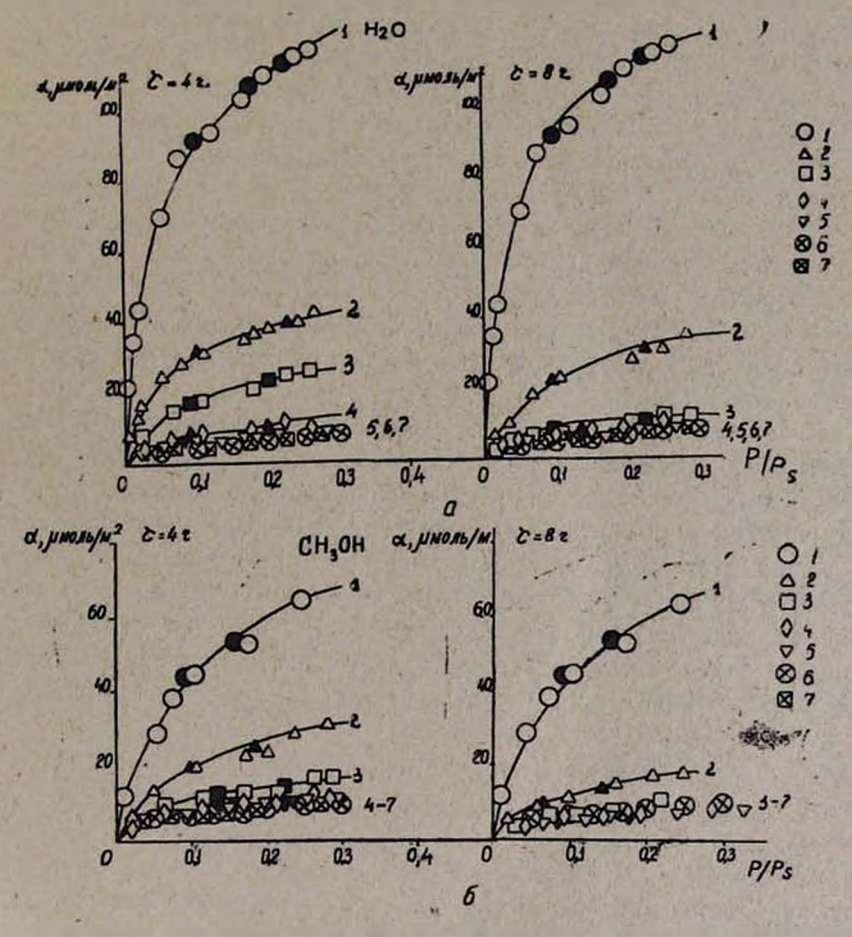


Рис. 3. Изотермы абсолютных величин адсорбции воды (а) и метанола (б) на геометрически модифицированном в автоклаве при 170° кремнеземе до (1) и после термической обработки. Номера изотерм соответствуют номерам образцов в табл. Кр. 6, 7 взяты из [4, 2, 3, 6]; зачерненные обозначения — десорбционные точки.

Данные, полученные при определении полного содержания структурной воды в образцах 1—4 (табл.), находятся в хорошем соответствии с результатами адсорбционных исследований. В исходном кремнеземе содержится 19,35 ммоль/г Н<sub>2</sub>О, из них лишь 0,35—0,39 находится на поверхности кремнезема (расчет сделан исходя из представлений, что на 1 м<sup>2</sup> предельно гидратнрованной поверхности неультрапористой SiO<sub>2</sub> адсорбируется 8—9 мкмоль/м<sup>2</sup> воды), остальная часть,

Армянский химический журнал, ХХХІ, 4-3

эначительно большая, ~95% (внутриглобульная вода) находится внутри ультралор «червеобразных» частиц [3,6]. Термическая обработка способствует значительному уменьшению содержания структурной воды. В образцах, прогретых при 800° в течение 8 час. и при 900° в течение 4 час., содержится всего 0,37—0,48 ммоль/г H<sub>2</sub>O, что достаточно лишь для образования поверхностного пидроксильного покрова.

Образование ультрапор при гидротермальной обработке кремнезема связано с процессом растворения мелких глобул и неутюрядоченным осаждением (поликонденсация) кремневых кислот из раствора на поверхность крупных глобул, термодинамически более устойчивых в данных условиях. На поверхности крупных глобул образуется своего рода рыхлый «чехол» из приращенного кремнезема, очевидно, с недостаточно полной полимеризацией кремневых кислот. В такой рыхлой пространственной системе становится возможной адсорбция небольших по размеру молекул воды и, кроме того, в ней, в силу неполной поликонденсации кремневых кислот, содержитоя большое количество объемной воды.

Таким образом, в отличие от ультрапор, образующихся в аморфной SiO2 при определенных условиях синтеза [4], ультрапоры в кремнеземе, подвергнутом гидротермальной обработке, находятся не в глубине макромолекулы SiO2, а в ее наружном слое—оприращенном» кремнеземе. Поэтому в отличие от первых интенсивное спекание поверхностных ультрапор (несмотря на их большее количество) происходит уже при 700° и полностью завершается при 900°, т. е. раньше, чем происходит сплавление глобулярного скелета кремнезема в стеклообразную массу (в обр. 1  $s_{\rm H_2O}/s_{\rm Kr}=13$ , до гидротермальной обработки  $s_{\rm H_2O}/s_{\rm Kr}=1,9$  [1]).

Влияние дисперсности структуры кремнезема на интенсивность удаления внугриглобульной воды рассматривалось в [5]. Было отмечено, что быстрый высокотемпературный прогрев мелкотлобульного скелета кремнезема (размер глобул порядка 50—100 Å) приводит к образованию поверхностного расплава и «срастанию» множества глобул в агрегированные образования раньше, чем спекаются ультрапоры. В противоположность этому широкие поры, имеющиеся в структуре модифицированного в автоклаве кремнезема и частично сохраняющиеся даже после термической обработки при 1000°, предотвращают возможность массового стеклования и создают благоприятные условия для выделения объемной воды.

# ԱՎՏՈԿԼԱՎՈՒՄ ԵՐԿՐԱՉԱՓԱԿԱՆՈՐԵՆ ՄՈԴԻՖԻԿԱՑՎԱԾ ՍԻԼԻԿԱՀՈՂԻ ՈՒԼՏՐԱԾԱԿՈՏԿԵՆ ԿԱՌՈՒՑՎԱԾՔԻ ԵՌԱԿԱԼՈՒՄԸ

Մ. Դ. ՄԱՆՎԵԼՅԱՆ և Կ. Ք. ՀՈՎՀԱՆՆԻՍՅԱՆ

Ոշսումնասիրված է 170°-ում ավտոկլավում երկրաչափականորեն մոդիֆիկացված սիլիկահողի ուլարածակոտկեն կառուցվածքի եռակալման պրոցևսը (այս պայմաններում գոյանում է առավել զարգացած ուլտրածակոտկեն կառուցվածք ( $s_{\rm H_2O}/s_{\rm Kr}=13$ )։ 3ույց է տրված, որ ջերմային մշակման ժամանակ  $t=800^\circ$  և  $\tau=8$  ժամ կամ  $t=900^\circ$  և  $\tau=4$  ժամ ուլտրածակոտիները ամբողջովին եռակալվում են։

# CAKING OF THE ULTRAPOROUS STRUCTURE OF SILICA GEOMETRICALLY MODIFIED IN AN AUTOCLAVE

#### M. G. MANVELIAN and K. B. HOVHANNISSIAN

The caking process of the ultraporous structure of silica geometrically modified in an autoclave at 170° was investigated under these conditions a more developed ultraporous structure  $\left(\frac{S_{H_2O}}{S_{K_2}} = 13\right)$  was formed.

It has been shown that during thermal treatment ( $t = 800^{\circ}$ C and  $\tau = 8$  hrs or  $t = 900^{\circ}$ C and  $\tau = 4$  hrs) the ultrapores completely caked  $\left(\frac{s_{\rm H,O}}{s_{\rm Kr}} = 1\right)$ .

#### ЛИТЕРАТУРА

- 1. Э. Б. Оганесян, К. С. Абаджян, К. Б. Оганесян, С. А. Абрамян, Ш. С. Хачкаванкцян, Арм. хим. ж., 29, 1019 (1976).
- 2. Н. В. Акшинская, Т. А. Байгубекова, А. В. Киселев, Ю. С. Никитин, Колл. ж., 28, 164 (1966).
- 3. Р. Л. Горелик, Л. Т. Журавлев, А. В. Киселев, Ю. С. Никитин, Э. Б. Оганесли, К. Я. Шенгелия, Қолл. ж., 33, 51 (1971).
- 4. Э. Б. Оганесян, Б. С. Арутюнян, К. Б. Оганесян, Р. А. Абрамян, Арм. хим. ж., 29, 1011 (1976).
- М. Г. Манвелян, К. Б. Оганесян, Э. Б. Оганесян, А. А. Варужанян, Арм. хим. ж., 30, (1977).
- 6. И. В. Акшинская. В. Я. Давыдов, Л. Г. Журавлев, А. В. Киселев, Колл. ж., 25, 529 (1964).
- 7. А. В. Киселев, Ю. С. Никитин, Э. Б. Оганесян, Колл. ж., 29, 95 (1967); 30, 232 (1968).
- 8. Я. И. Френкель, Ж. эксп. и теор. физики, 16, 29 (1946).

XXXI, № 4, 1978

#### ОРГАНИЧЕСКАЯ ХИМИЯ

УДК 547.322+547.413.133.2

ПОЛУЧЕНИЕ бис-ХЛОР- И бис-ДИХЛОРВИНИЛОВЫХ СОЕДИНЕНИЙ РЕКОМБИНАЦИЕЙ АЛЛИЛЬНЫХ ОСТАТКОВ ХЛОРАЛЛИЛХЛОРИДОВ В ПРИСУТСТВИИ ЖЕЛЕЗА

Г. М. ШАХНАЗАРЯН и Ш. Л. ШАХБАТЯН

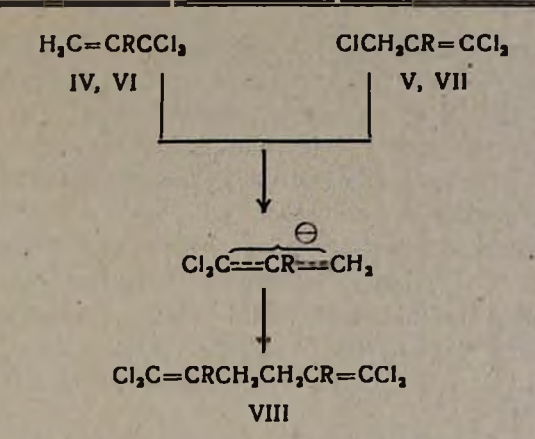
Ереванский государственный университет Ереванский медицинский институт

Поступило 4 VII 1977

Изучена рекомбинация аллильных остатков 1,3-дихлорпропена, 3-бром-1-хлорпропена, 1,3дихлорбутена-2,3,3,3-трихлор-, 1,1,3-трихлор-, 3,3,3-трихлор-2-метил- и 1,1,3-трихлор-2-метилпропенов в присутствии порошка железа в диметилформамиде (ДМФА). Табл. 1, библ. ссылок 14.

Процесс дегалодимеризации аллилгалоидов открывает большие возможности для синтеза соединений с изолированными двойными связями. К настоящему времени установлено, что лучшими димеризующими агентами являются карбонил никеля [1], палладий на сульфате бария в аммиачно-водородной среде [2], порошок меди в спирте [3] или пиридине [4], соли одновалентной меди [5] и порошок железа в ДМФА [6].

В данной работе изучена рекомбинация аллильных остатков 1,3дихлорпропена (I), 3-бром-1-хлорпропена (II), 1,3-дихлорбутена-2 (III), 3,3,3-трихлор- (IV), 1,1,3-трихлор- (V), 3,3,3-трихлор-2-метил- (VI) и 1,1,3-трихлор-2-метилиропенов (VII) под действием порошка железа в ДМФА. Изучая реакцию I-VII с порошком железа в различных растворителях (слирты, пиридин, бензол, ДМФА), мы установили, что димеризация IV и V приводит к образованию одного и того же 1,1,6,6--тетрахлор-1,5-гексаднена, а VI и VII-одного и того же кристаллического 1,1,6,6-тетрахлор-2,5-диметил (2,5-у ексадиена Образование VIII можно объяснить тем, что при действии металла на изомерные аллильные галогениды образуется один и тот же карбанион. Выходы тетрахлоргексадиенов, полученных из V и VII или изомерных им IV и VI, почти равны и не превышают 45%. Не вступившие в реажцию количества IV и VI в условиях опытов изомеризуются в V и VII, соответственно. Идентичность образцов подтверждена оравнением ИК и IIMP опектров, ГЖХ анализом, а также совпадением их



физико-химических констант с литературными данными. Продукты димеризации I и II получены впервые.

Во всех случаях в качестве побочных продуктов получаются высококипящие вещества (<20%), образование которых связано с ионной теломеризацией исходных олефинов под каталитическим действием солей железа, образующихся при реакции. Так, в случае III обнаружены 2,6-дихлор-3-хлорметил-2,5-гептадиен и 2,6,6-трихлор-5-хлорметил-2-гептен, образование которых можно представить по схеме

согласующейся с более ранними данными [7]. Предварительное добавление хлорного железа увеличивает выход этих побочных продуктов.

# Экспериментальная часть

ГЖХ анализы проводили на приборе ЛХМ-72 (10% SE-301 на ЕрЛАНС-С<sub>N</sub>А<sub>W</sub>, 1=2 м, 150—200°, Не—60 мл/мин, катарометр). ИК спектры снимали на спектрометре UR-10 в тонком слое, ПМР—на приборе «Hitachi-Perkin-Elmer R-20В» 60 мгц (ГМДС) в растворе ССІ₄. Исходные вещества I, IV, V, VI и VII получены по пролисям [8—11], 1,3-дихлорбутен-2 получен очисткой технического дихлорида с т. кип. 123—125°/680 мм, п<sup>20</sup> 1,4720 [12].

3-Бром-1-хлорпропен (II) получен с выходом 42% медленной перегонкой смеси 1-бром-3-хлор-2-пропанола и пятиокиси фосфора (1:1,5). Т. кип. 128—132°/680 мм, d<sup>20</sup> 1,6595, n<sup>20</sup> 1,5170 [13]. По данным ГЖХ, цис- и транс-изомеры составляют 40 и 60%, соответственно. 3-Бром-1-хлорпропен сильно действует на слизистую оболочку и кожу.

1,6-Дихлор-1,5-гексадиен. А. 7 г порощка железа и 39 г II в 80 м.г. ДМФА напревают до 130°, далее реакция сопровождается саморазопреванием до 145—150° и не падает в течение 15—20 мин. Выдерживают при этой температуре еще 10—15 мин. По охлаждении выливают в воду со льдом, маслообразный слой отделяют, водный экстрагируют эфиром. Вытяжку вместе с маслянистым слоем сушат над сульфатом магния. Остаток после отгонки эфира перегоняют в вакууме и собирают две фракции: 1—т. кип. 62—89°/40 мм и 2—110—130°/40 мм. После повторной перегонки фракции 1 получают 7 г (36,2%) 1,6-дихлор-1,5-гексадиена, т. кип. 86—89°/40 мм, d<sup>20</sup> 1.1875, п<sup>20</sup> 1,4862. Найдено %: С 47,52; Н 5,2; СІ 47,18. С<sub>6</sub>Н<sub>8</sub>СІ<sub>2</sub>. Вычислено %: С 47,68: Н 5,32; СІ 47,00.

После повторной перегонки фракции 2 получено 4,1  $\varepsilon$  вещества с т. кип. 118—123°/40 мм,  $n_D^{20}$  1,5018, по данным ГЖХ, представляющего собой смесь трех веществ, структура которых не установлена.

Б. Получают 0,5-часовым кипячением 28 г І в 80 мл ДМФА н

7 г порошка железа. Выход 35,5%.

2,7-Дихлор-2,6-октадиен. Смесь 125 г (1 моля) III (75% цис- и 25% транс-изомера), 28 г порошка железа (лучше зернистого) и 100 мл ДМФА нагревают до начала экзотермической реакции, после окончания которой (20 мин.) охлаждают, декантацией выливают в воду, маслообразный слой отделяют, водный экстрагируют эфиром, сущат над CaCl<sub>2</sub>. После отгонки эфира и исходного III (10 г) остаток перегоняют в вакууме с 30 см дефлегматором, собирают фракции с т. кип. 75—86°/6 мм (43 г), 90—105°/6 мм (4 г) и 105—190°/6 мм (5 г), остаток в колбе 15 г.

После повторной перегонки фракции 1 получают 41 г (45,8%) 2,7-дихлор-2,6-октадиена, т. кип. 78—82°/6 мм,  $d_4^{20}$  1,039,  $n_D^{20}$  1,4850 [14]. ИК спектр,  $c_M^{-1}$ : 1628 (C=CCl). ПМР (ГМДС) в ССl<sub>4</sub>,  $\delta$ , м. д.: 5,25 (д, =C-H цис), 5,4 (д, =C-H транс), 2,4 (к, =C-CH<sub>2</sub>). Остальные данные приведены в таблице.

После повторной перегонки фракции 2 получают 3 г 2,6-дихлор-3-хлорметил-2,5-гептадиена, т. кип. 95—97°/6 мм,  $d_{\rm p}^{\rm 20}$  1,2356,  $n_{\rm p}^{\rm 20}$  1,5010 [7].

Анализ фракции 3 с помощью ГЖХ со стандартным свидетелем, полученной по [7], показал, что в основном (65%) она содержит 2,6,6-трихлор-5-хлорметил-2-гептен.

2,7-Дихлор-2,6-октадиен получен также в смеси растворителей ДМФА-опирт, 8:1 (38%), ДМФА-бензол, 8:1 (21%), ДМФА-бутанол,

8:1 (37%). Без растворителя происходит осмоление.

1,1,6,6-Тетрахлор-1,5-гексадиен. Получают из IV (45%) и V (42%). Опыт и обработку реакционной смеси проводят аналогично предыдущему. Т. кип.  $114^{\circ}/12$  мм,  $d_{20}^{20}$  1,3572,  $n_{20}^{20}$  1,5170 [2]. Чистота по ГЖХ 98,5%. Высококилящие фракции 10-12%. ИК спектр,  $c_{M}-1$ : 1620 (С=СС $l_{2}$ ). ПМР (ГМДС) в СС $l_{4}$ ,  $\delta$ , м. д.: 5,82 (т, =СH), 2,25 (д, —С $l_{2}$ ).

Таблица

Реакция замещенных аллияхлоридов с железом

Аллилхло-	30,	Усло	вия реакци	и	Прод реакц		рскя хло- °/°	-III-
рид, моли	Железо, 2-ат	раствори- тель, <i>мл</i>	т-ра, °С	продол- жит., жин	ди <b>м</b> ер	тело- мер	Конверсия аллилхло- рида, °/о	Выход нера,
1 (0,5)	0,25	ДМФА (80)	140—145	30	13	8,0	90	35
11 (0,5)	0,25	ДМФА (80)	140—145	30	14	8,2	92	36,2
111 (1,0)	0,5	ДМФА (100)	140—145	20	41	8,0	90	45,8
III (1,0)	0,5	ДМФА (80) EtOH (10)	90—100	30	34	-	80	38
111 (1,0)	0,5	ДМФА (80) ВиОН (10)	110—120	30	33	-	90	37
III (1,0)	0,5	ДМФА (80) бзл (10)	80	45	18,8	100	75	21
IV (0,5)	0,25	ДМФА (80)	140—145	30	24,3	4,2	95	45
V (0,5)	0,25	ДМФА (80)	140145	30	23,1	4,5	90	42
VI (0,25)	0,12	ДМФА (50)	140-145	30	13,3	8,0	95	44,2
VII (0,45)	0,3	ДМФА (80)	140—145	30	24,0	13,4	90	42.7

1,1,6,6 - Тетрахлор - 2,5 - диметил - 1,5 - гексадиен. Получают из VI (44,2%) и VII (42,7%). Опыт и обработку проводят аналогично предыдущему. Т. кип. 105—107°/5 мм,  $d_4^{20}$  1,3165,  $n_D^{20}$  1,5215. После перекристаллизации из метилового спирта получают белые кристаллы с т. пл. 34° [2]. Чистота по ГЖХ 99,5%. ИК слектр,  $cm^{-1}$ : 1620 (C=CCl<sub>2</sub>). ПМР (ГМДС) в CCl<sub>4</sub>,  $\delta$ , м. д.: 2,32 (c,=C-CH<sub>2</sub>), 1,95 (c,=C-CH<sub>3</sub>).

Высокожилящая фракция с т. кип. 176—187°/3 мм,  $n_D^{20}$  1,5275, по данным ГЖХ, представляет собой два вещества, структура которых не установлена.

# բիս-ՔԼՈՐ– և բիս-ԴԻՔԼՈՐՎԻՆԻԼԱՅԻՆ ՄԻԱՑՈՒԹՅՈՒՆՆԵՐԻ ՍՏԱՑՈՒՄԸ ՔԼՈՐԱԼԻԼՔԼՈՐԻԳՆԵՐԻ ԱԼԻԼԱՅԻՆ ՄՆԱՑՈՐԳՆԵՐԻ ՌԵԿՈՄԲԻՆԱՑՄԱՄԲ ԵՐԿԱԹԻ ՆԵՐԿԱՅՈՒԹՅԱՄԲ

4. V. TUZTUQUESUT L T. L. TUZPUPSUT

իկ, ՄՄՈ և ԳՀՔ մեխողներով ուսումնասիրված է 1,3-դիքլորպրոպենի (I), 3-բրոմ-1-քլորպրոպենի (II), 1,3-դիքլորբուտենի (III), 3,3,3-տրիքլոր- (IV), 1,1,3-տրիքլոր- (V), 3,3,3-տրիքլոր-2-մեխիլ- (VI) և 1,1,3-տրիքլոր-2-մեխիլպրոպենների (VII) դեհալոդիմերումը հատիկավորված երկախի ներկայությամբ դիմեխիլֆորմամիդի միջավայրում։ Ցույց է տրված, տր I-ից և II-ից ստացվոամ է 1,6-դիքլոր-1,5-հեքսադիեն, III-ից՝ 2,7-դիքլոր-2,6-օկտադիեն, IV-ից և V-ից՝ 1,1,6,6-տետրաքլոր-1,5-հեքսադիեն։ Առաջարկված է ռեակցիայի հիմնական և կողմենակի արգասիջների առաջացման ախեման։

# PREPARATION OF bis-CHLORO AND DICHLOROVINYL COMPOUNDS BY THE RECOMBINATION OF THE ALLYLIC MOIETY OF CHLORALLYLCHLORIDES IN THE PRESENCE OF IRON

### G. M. SHAHNAZARIAM and SH. L. SHAHBATIAN

The dehalodimerization of 1,3-dichlorobutene-2, 1,3-dichloro and 3-bromo-1-chloropropenes, 3,3,3- and 1,1,3-trichloro-2-methylpropenes in the presence of iron in dimethylformamide has been investigated by IR and NMR methods. A scheme was proposed for the formation of the main and by-products.

### ЛИТЕРАТУРА

- 1. Бельг. пат., 448884 (1943); [С. А., 41, 6576 (1947)]; J. D. Webb, G. T. Borcherdt, J. Am. Chem. Soc., 73, 2654 (1951); Пат. США, 2654787 (1953); [С. А., 48, 10048 (1954)]; M. Dubini, G. P. Chiusoli, F. Montino, Tetrah. Lett., 1963, 1591; E. J. Corey, M. F. Semmelhack, L. S. Hegedus, J. Am. Chem. Soc., 89, 2757, 2757 (1967); 90, 2416 (1968).
- 2. Т. А. Кост, Р. Х. Фрейдлина, Изв. АН СССР, сер. хим., 1967, 2715.

3. H. J. Prins, Rec.-trav. chim., 68, 419 (1969).

- 4. Л. М. Ягупольский, Е. А. Чайка, ЖОрХ, 2, 1744 (1966); С. D. Wels, Helv. Chem. Acta, 49, 234 (1966).
- 5. H. Nozaki, T. Shirafuyi, J. Jamamoto, Tetrab., 25, 3461 (1969).

6. D. W. Hall, E. Hurley, Jr., Can. J. Chem., 47, 1238 (1969).

7. А. А. Клебанский, А. Т. Саядян, М. Г. Бархударян, ЖОХ, 28, 569 (1958).

8. A. J. Hill, E. J. Fischer, J. Am. Chem. Soc., 44, 2594 (1922).

9. А. Н. Несмеянов, Р. Х. Фрейдлина, В. И. Фирстов, ДАН СССР, 78, 717 (1951).

10. Авт. свид. СССР, 197570, Бюлл. изобр., 1967, 13.

11. D. G. Kundiger, H. Pledger, L. E. Ott, J. Am. Chem. Soc., 77, 6659 (1955).

12. Словарь орг. соед., ИЛ, М., т. I, 1949, 745.

- 13. L. Warski, M. C. Wakselman, C. r., C287, 514 (1968); A. Kremer, Bull. Soc. chim. France, 1948, 166.
- 14. М. Г. Восканян, Ж. А. Чобанян, А. А. Налбандян, Ш. О. Баданян, Арм. хим. ж., 29, 430 (1976).

XXXI, № 4, 1978

УДК 547.323+547.384+546.74

# РЕАКЦИИ НЕПРЕДЕЛЬНЫХ СОЕДИНЕНИЙ

XLVII. РЕАКЦИИ ХЕЛАТОВ НИКЕЛЯ (II) С ПРОПАРГИЛЬНЫМИ ГАЛОГЕНИДАМИ

Г. М. МАҚАРЯН, М. С. САРГСЯН и Ш. О. БАДАНЯН Институт органической химин АН Армянской ССР, Ереван Поступило 1 XI 1977

Хелатные комплексы никеля (II) с ацетилацетоном и ацетоуксусным эфиром в диметилформамиде алкинилируются пропаргильными галогенидами, образуя ацетиленовые β-дикетоны и β-кетоэфиры.

Табл. 2, библ. ссылок 3.

Известно, что β-дикарбонильные соединения вступают во многие реакции за счет подвижных атомов водорода центральной метиленовой группы. В частности, это относится к хелатному комплексу никеля (II) адетилацетоната, который, согласно литературным данным [1], с первичными алкилгалогенидами дает в основном продукты С-моно-алкилирования, а с бензил- и аллилгалогенидами—только продукты С-диалкилирования.

Интересно было выяснить поведение пропаргильных галогенидов в аналогичной реакции. Исследования показали, что взаимодействие никель-бис-2,4-пентадионата и комплекса никеля с ацетоуксусным эфиром с вышеназванными галогенидами приводит к образованию поключительно продуктов С-моноалкинилирования—ацетиленовых дикетонов I и кетоэфиров II

RC-CH=CCH<sub>3</sub> + R'C=CCH<sub>2</sub>X 
$$\xrightarrow{\text{ДМФА}}$$
 R'C=CCH<sub>2</sub>CH COCH<sub>3</sub>

NI

R'=CH<sub>3</sub>, CH=CH<sub>2</sub>, C(CH<sub>3</sub>)=CH<sub>2</sub>, C<sub>6</sub>H<sub>5</sub>,  $\xrightarrow{\text{R}}$ ;

R=CH<sub>3</sub> (I), OC<sub>2</sub>H<sub>5</sub> (II); X=CI, Br

Строение синтезированных ацетиленовых дикетонов I и кетоэфиров II доказано данными ИК и ПМР спектроскопии, а также идентификацией с известными образцами [2]. В ИК спектрах I имеются поглощения, характерные для двузамещенной тройной связи (2230—2235 см<sup>-1</sup>), карбонильной труппы (1710 см<sup>-1</sup>). В ИК спектрах II

обнаружены характерные поглощения для двузамещенной тройной связи (2230—2245 с $m^{-1}$ ), карбонильных (кето- и сложноэфирной) групп (1710—1720 с $m^{-1}$ ). В ПМР опектре II ( $R'=CH_3$ ) обнаружены сигналы,  $\delta$ , м. д.: 2,37 (2H, мультиплет,  $CH_2$ ), 1,20 (3H, триплет,  $CH_3$ ), 4,14 (2H, квадруплет,  $CH_2$ ), 2,13 (3H, синглет,  $CH_3$ ), 3,46 (1H, триплет,  $CH_3$ ).

С целью получения ацетиленовых кетонов проведен щелочной гидролиз полученных β-дикетонов и β-кетоэфиров. Как и ожидалось, в обоих случаях образуется один и тот же ацетиленовый β-кетон.

$$R'C \equiv CCH_3CH \xrightarrow{37. \text{ NaOH}} R'C \equiv CCH_2CH_2COCH_3$$

$$I, II \qquad \qquad III$$

$$R' = CH = CH_2 \text{ (a)}, \quad C(CH_3) = CH_3 \text{ (6)}, \quad C_8H_5 \text{ (B)}$$

# Экспериментальная часть

ГЖХ анализ проведен на приборе ЛХМ-8МД с катарометром, с :2000 × 3 мм набивной колонкой с хроматоном NAW и нанесенным на него 5% SE-30, скорость газа-носителя (гелий) 60 мл/мин при 140—260°. ИК спектры сняты на спектрофотометре «UR-10», ПМР спектр—на «Регкіп ЕІппет Р-12В» с рабочей частотой 60 Мгц в растворе ССІ, с ТМС в качестве внутрежнего стандарта.

Общее описание взаимодействий пропаргильных галогенидов с никелевыми комплексами. К раствору 0,025 моля никелевого комплекса, полученного из 0,025 моля NiCO<sub>3</sub> и 0,05 моля β-дикарбонильного соединения [3], в 40—60 мл ДМФА прикапывалось 0,05 моля пропаргилгалотенида. Смесь перемещивалась при 90—95° 14—30 час. и после удаления основной части растворителя обрабатывалась разбавленным раствором HCl, экстрапировалась эфиром, высущивалась над сульфатом магния. После отгонки эфира и оставшегося ДМФА продукт перегонялся в вакууме. Некоторые физико-химические константы полученных соединений (I, II) приведены в табл. 1 и 2.

1-Октен-3-ин-7-он(IIIa). а) Смесь 2,5 г (0,015 моля) І (R'=CH= =CH₂) и 41 мл 3% едкого натра нагревалась на кипящей водяной бане 8 час. После охлаждения реакционная смесь нейтрализовалась соляной кислотой, экстрагировалась эфиром, высущивалась над сульфатом магния. Получено 0,6 г (32,4%) ІІІа, т. кип. 52—54°/1 мм, п²0 1,4875, d²0 0,9022. Найдено %: С 78,12; Н 8,37. СвН₁0О. Вычислено %: С 78,70; Н 8,20. ИК спектр, у, см⁻¹: С≡С 2235, С=О 1725, С=С 1610, =CH₂ 925, 985, 3110.

б). Аналогично из смеси 5,5 г (0,028 моля) II ( $R' = CH = CH_2$ ) и .47,6 мл 3% едкого натра получено 2,3 г (67,6%) IIIa, т. кип. 60—61°/2 мм,  $n_D^{20}$  1,4850.

Непредельные β-дикетоны

Таблица 1

		, " , n	Т. кип.,	,20		Найден	0, 0/0	Вычисл	ено, °/ <sub>6</sub>
R	X	Выход	°C/ MM	d <sub>4</sub> <sup>20</sup>	п <sup>20</sup>	С	н	С	Н
CH <sub>3</sub>	Br	45,0	80-84/2	1.0241	1,4802	70,81	8,34	71,05	7,90
CH <sub>2</sub> =CH	Br	41,5	108—110/4	1,0157	1,5020	73,28	6,90	73,17	7,31
$CH_2 = C(CH_3)$	Br	39,3	102—104/2	0,9743	1,4980	74,80	7,56	74,16	7,86
$CH_2 = C(CH_3)$	CI	10,8	104-108/3	0,9750	1,4960	1000			(1877)
<>	Br	39,2	154—155/2	1,0437	1,5205	77,00	7,72	77,06	8,26
C <sub>4</sub> H <sub>5</sub>	Br	54,4	148—150/1	1,0773	1.55702	120			1300

Непредельные β-кетоэфиры II

Таблица 2

		r, %	Т. кип.,	+20		Найден	10, %	Вычисле	ено, ⁰/₀
R	X	Выход,	°С/мм	d <sub>4</sub> <sup>20</sup>	n <sub>D</sub> <sup>20</sup>	С	Н	С	н
CH <sub>3</sub>	Br	34,1	98—99/2	1,0391	1,4565	65,54	7,71	65,93	7,69
CH <sub>2</sub> =CH	Br	34,3	112-114/3	1,0279	1,4790	68,15	7,40	68,04	7,22
CH <sub>2</sub> =C(CH <sub>3</sub> )	Br	20,4	110-112/2	1,9944	1,4780	69,00	7,45	69,23	7,69
$CH_3 = C(CH_3)$	CI	33,6	124—126/5	0,9960	1,4775	2		77733	
<u></u>	Cı	12,7	163—164/2	1,0422	1,5060	72,26	8,12	72,58	7,81
	Вг	14,9	160—164/2	1,0413	1,5030				
C <sub>e</sub> H <sub>5</sub>	Br	31,1	157—158/2	1,0972	1,53102	-			1-11

1-Фенил-1-гексин-5-он(III8). Опыты проводились аналогично предыдущему. а). Из смесн 3 г (0,014 моля) I(R= $C_6H_5$ ) и 37 мл 3% едкого натра при нагревании в течение 10 час. получено 2,3 г (95,1%) IIIв, т. кип. 123—124°/2 мм,  $n_0^{20}$  1,5530,  $d_0^{20}$  1,0377 [2]. б). Из смеси 2,1 г (0,086 моля) II(R= $C_6H_6$ ) и 23 мл 3% едкого натра выделено 0,9 г (54,5%) IIIв, т. кип. 138—144°/3 мм,  $n_0^{20}$  1,5545.

### ՉՀԱԳԵՑԱԾ ՄԻԱՑՈՒԹՅՈՒՆՆԵՐԻ ՌԵԱԿՑԻԱՆԵՐ

XLVII. ՆԻԿԵԼԻ (II) ԽԵԼԱՑՆԵՐԻ ՌԵԱԿՑԻԱՆԵՐԸ ՊՐՈՊԱՐԳԻԼԱՅԻՆ ՀԱԼՈԳԵՆԻԴՆԵՐԻ ՀԵՏ

Գ. Մ. ՄԱԿԱՐՅԱՆ, Մ. Ս. ՍԱՐԳՍՅԱՆ և Շ. Հ. ԲԱԳԱՆՑԱՆ

լային Հալոգենիդներով՝ առաջացնելով β-դիկետոններ և β-կետոէսթերներ։ ցախաթթվի էսթերի Հետ դիմեթիլֆորմամիդում ալկիլվնում են պրոպարգինախաթթվի էսթերի Հետ դիմեթիլֆորմամիդում ալկիլվնում են պրոպարգի-

## REACTIONS OF UNSATURATED COMPOUNDS

LXVII. REACTIONS OF NIKEL (iI) CHELATES WITH PROPARGYLIC HALIDES

G. M. MAKARIAN, M. S. SAROSIAN and Sh. H. BADANIAN

The interaction between propargylic halides and nikel (II) chelates of acetylacetone and acetoacetic ester in DMFA has been investigated and it has been shown that it leads to the formation of  $\beta$ -diketones and  $\beta$ -ketoesters.

#### ЛИТЕРАТУРА

- 1. M. Boya, M. Moreno-Manas, M. Prior, Tetrah. Lett., 1975, 1727.
- K. E. Sdrulte, J. Relsck, A. Moch. Arch. Pharm., 295, 627 (1962); [C. A., 58, 1426 (1963)].
- .3. Пат ФРГ № 1044801 (1959), РЖХ, 1960, 74381П.

XXXI, № 4, 1978

УДК 547.822.3

# НОВЫЙ СПОСОБ ПОЛУЧЕНИЯ $\beta$ - И $\beta$ , $\beta$ -ЗАМЕЩЕННЫХ $\alpha$ -ФЕНИЛАКРИЛОНИТРИЛОВ

Р. С. ВАРТАНЯН, Р. Г. ИСРАЕЛЯН н С. А. ВАРТАНЯН

Институт тонкой органической химии нм. А. Л. Миджояна АН Армянской ССР, Ереван

Поступило 6 VII 1977

Предложен новый способ получения разнообразных β- и β β-замещенных α-фенилакрилонитрилов методом фазового катализа. Показано, что в цианофенилметиленпиперидинах и тетрагидропиранах бензольное кольцо выведено из плоскости сопряжения примерно на 60°.

Табл. 1, библ. ссылок 7.

Ранее нами была показана возможность нуклеофильного присосдинения по карбонильной группе в условиях фазового катализа [1, 2].

В настоящей работе разработан способ конденовции бензилцианида с рядом карбонильных соединений в двухфазной системе бензол—50% раствор гидроокиси натрия в присутствии катализаторов фазового переноса: триметил- и триэтилбензиламмоний хлоридов (ТМБА, ТЭБА).

Конденсация бензилцианидов с кетонами в присутствии алкоголятов щелочных металлов описана в [3, 4]. Выходы продуктов при этом примерно вдвое меньше, чем в предлагаемом нами способе. Более того, применение способа, предложенного в [3, 4], к α-замещенным пиперидонам-4 не привело к удовлетворительным результатам.

Предлагаемый способ конденсации бензилцианидаю карбонильными соединениями является весыма простым и общим, приложимым как к кетонам, так и к альдегидам алифатического, алициклического и гетероциклического рядов.

$$\bigcirc = N + \underset{R_2}{\stackrel{R_1}{\longrightarrow}} = 0 \longrightarrow \underset{R_2}{ \bigcirc} C = CC \equiv N$$

Полученные результаты сведены в таблицу.

Во всех примерах указанной реакции наряду с ожидаемым продуктом образуется определенное количество продукта самоконденсации бензилцианида, количество которого сильно зависит от структуры карбонильного компонента. Тот же продукт самоконденсации получается при проведении реакции в отсутствие карбонильного соединения.

$$2 \bigcirc \longrightarrow \bigcirc \bigvee_{i=N}^{N} \bigcirc$$

Строение его установлено методами ИК, ЯМР спектроскопии и масс-спектром. ИК спектр (UR-20), раствор в  $CCl_4$ .  $c.m^{-1}$ : 2250 (C=N), 1665 (C=N), 3410 и 3520 две полосы поглощения (NH).

ЯМР (Varian 60-T, CCI<sub>4</sub>, TMC),  $\delta$ , м. д.: 7,30 (10 протонов синглет), 1,90 (2 протона—дублет, J=7 гц и синглет), 3,77 (1 протон—дублет, J=7 гц и синглет), 6,32 (0,5  $\kappa$  уширенный сигнал), 7,70 (0,5  $\kappa$  уширенный сигнал).

Такая спектральная картина объясняется дальним спин-спиновым взаимодействием иминного протона с метиновым и метиленовым протонами в предположении, что имин находится в двух конформациях. В масс-спектре (МХ-1303, 30 эв) отсутствует пик молекулярного иона. Наиболее интенсивными являются пики ионов м/е [М-1]<sup>+</sup> 233, [М-HCN]<sup>+</sup> 207 и далее 117, 116, 90, 89, что вполне согласуется с предложенной структурой полученного соединения [5, 6].

Структуры всех полученных соединений также доказаны методами ИК, ПМР и УФ опектроскопии. ИК спектры снимались в тонком слое,  $cm^{-1}$ : 2220, (C=N) и 1620 (C=C).

ЯМР опектры представляют собой сложную картину вследствие наличия двух изомеров по двойной связи, в которых однако наблюдается полная корреляция интегральных интенсивностей.

Особый интерес представляют УФ спектры (Specord UV-Vis и СФ-16, опирт) 4-цианофенилметиленгетероциклических соединений А и α-фенил-β-(4-гетероцикло) акрилонитрилов Б.

$$X \longrightarrow C \longrightarrow E$$
 $X \longrightarrow C \longrightarrow E$ 
 $X \longrightarrow C \longrightarrow C \longrightarrow E$ 

1. X=O, R=2,2-диметил, 2. X=NCH<sub>3</sub>, R=2,5-диметил

Во всех спектрах рассматривалась K-полоса поглощения фенильного кольца. Для всех соединений  $\lambda_{max}$  = 254 ммк. Значения  $\Sigma$  даны в таблице.

Ранее на молекулярных моделях было показано, что в N-замсщенных цианофенилметилен-4-пиперидинах фенильное кольцо выведено из плоскости сопряжения на 35° [3]. Tabauna

		1	1	1	8300	8300	4500	1	4800		33600	!	7900	-	20021	15200	
	Т. пл.	хлорида,	1	1	1	193	212	1	252		1	1	1	1		1	
	%	N	7,10	7,65	6,17	13,21	12,34	6,39	11,67		5,81	8,19	5,75	6,83		11,07	
	Вычислено, 0/0	н	7,61	7,10	7,49	7,55	7,97	5,94	8,33		7,85	7,60	7,05	5,36	9	8,69	
	Выч	0	85,29	85,25	57,27	79,25	79,65	19,78	80,00		79,69	84,21	17,69	87,71		80,60	
7	.0/0	z	7,16	7,73	6,29	13,33	12,41	6,47	11,69	100	5,89	9,25	5,87	6,89	;	11,18	
нитрил	Найдено, °/о	Н	7,85	7,58	7,81	7,73	8,13	6,17	8,56	14	8,12	7,83	7,46	5,49		8,79	
акрило	Ha	C	85,70	85,57	57,78	79,48	79,98	87,83	80,34		79,87	84,57	86'69	87,95		80,60	
а-фенпл	120	4	1,0221	1,0222	1,1 372	1,0539	1,0317	1,0588	1,0263		1-	1,0133	1,0628	1		1,0323	
ценные	200	σ,,	1,5482 1,0221	1,5588 1,0222	1,5333	1,5618	1,5368 1,0317	1,5750	1,5482		1.	1,5355 1,0133	1,5534	1		1,5455 1,0323	
в и 3,3-Замещениме а-фенплакрилонитрилы	Т. кип.,	°С/жи	157—159/4	161163/5	145-146/3	155-157/2	158-160/2	180-183/5	159-161/2	1000	192—193/2	110-112/3	170-172/3	т. пл. 82°		161-163/2	
-	o/o 'H	Выхо	65	54	80	09.	99	19	14	No.	02	20	53	70		47	MA
		£.	)5	)4	H3),CH2	3)(CH <sub>2</sub> ) <sub>2</sub>	CH(CH <sub>3</sub> )CH <sub>2</sub>	н	сн(сн3)сн3		Ξ	C,H,	CH <sub>3</sub> ) <sub>2</sub> CH <sub>2</sub>	H		Н	
The state of the s	۵	I.	(CH,	(CH <sub>2</sub> ),	(CH <sub>2</sub> ),OC(CH <sub>3</sub> ),CH <sub>2</sub>	(CH <sub>2</sub> ) <sub>2</sub> N(CH <sub>3</sub> )(CH <sub>3</sub> ) <sub>3</sub>	(CH3)	C <sub>6</sub> H <sub>5</sub>	CH(CH <sub>3</sub> )CH <sub>2</sub> N(CH <sub>3</sub> )C	-<	H. H.	HaC	(CH <sub>2</sub> ) <sub>2</sub> SC(C	C,H,s	H <sub>s</sub> -		CH3
1	-идэ 1	оэ <i>9</i> И. кинэн,	1	II	111	11	^	IN	·VII		VIII	XI	×	XI	100	IIX	

В настоящей работе нами предпринята полытка расчета угла вывода плоскости фенильного кольца из плоокости полного сопряжения методом Брауде [7]. Было предположено, что в Б полностью сохранена планарная система двойных овязей, на что указывали более высокие значения экстинкции при данной  $\lambda_{max}$ .

Таким образом, используя уравнение Брауде [7]

$$\cos^2\theta = \frac{\Sigma}{\Sigma_0}$$

для систем  $A(\Sigma)$  и  $B(\Sigma_0)$ , был вычислен угол вывода плоскости фенильного кольца из плоскости сопряжения. Сделанный таким образом расчет указал на величину в 59° для IV и 60° для III.

# Экспериментальная часть

Индивидуальность всех полученных продуктов проверялась методом ГЖХ. Использовались следующие колонки: хроматон N-AW, ГМДС,  $5^{0}/_{0}$  silicone XE-60, l=2 м (стекло), хроматон N-AW, ГМДС,  $3^{0}/_{0}$  silicone E-301, l=1 м (стекло), хроматон N-AW, ГМДС,  $15^{0}/_{0}$  carbowax 20-M, l=1 м (стекло), хромосорб W,  $5^{0}/_{0}$  lucopren  $\Gamma$ -1000, l=0,8 м (сталь).

Цианофенилметиленциклогексан. К смесн 4,7 г (0,04, моля) бензилцианида, 7,4 г (0,04 моля) триметилбензиламмонийхлорида, 10 г 50% водного раствора гидроокиси натрия и 50 мл бензола при перемешивании по каллям добавляют 9,8 г (0,1 моля) циклогексанона в 20 мл бензола. По окончании реакционную смесь перемешивают 6-7 час. при 78-80° и оставляют на ночь. Затем охлаждают, экстрагируют бензолом, бензол отгоняют и добавляют эфир для осаждения катализатора. Фильтрат сушат над сульфатом магния. Эфир отгоняют и остаток перегоняют. Собирают фракцию, жипящую при 159°/4 мм. Получают 5,2 г (97%) смеси цианофенилметиленциклогексана и 1,3-дифенил-2-кетимино-1-цианопропана (3%) (по ГЖХ). Полученную смесь заливают 2—3-кратным (по объему) количеством смеси эфир-петролейный эфир, 1:1, и охлаждают до 0-5°. Выпавшие кристаллы отфильтровывают, раствор центрифугируют, декантируют и отпоняют растворитель. После повторной перегонки получают 4,9 г (65%) продукта с температурой кипения 158—159°/4 мм, про 1,5482, d<sup>20</sup> 1,0221, MR<sub>p</sub> 61,320, вычислено 60,334. Найдено %: С 85,70; H 7,85. С<sub>14</sub>H<sub>15</sub>N. Вычислено %: С 85,29; Н 7,61.

Все остальные соединения, указанные в таблице, получены аналогичным способом.

# β- ԵՎ β,β-ՏԵՂԱԿԱԼՎԱԾ α-ՖԵՆԻԼԱԿՐԻԼՈՆԻՏՐԻԼՆԵՐԻ ՍՏԱՑՄԱՆ ՆՈՐ ԵՂԱՆԱԿ

Ռ. Ս. ՎԱՐԴԱՆՑԱՆ, Ռ. Դ. ԻՍՐԱԵԼՑԱՆ և Ս. Հ. ՎԱՐԴԱՆՑԱՆ

Առաջարկված է զանազան β- և β,β-տեղակալված α-ֆենիլակրիլոնիտրիլների ստացման մենիող ֆազային կատալիղի միջոցով։ Յույց է տրված, որ ցիանֆենիլմենիլպիպերիդոններում, տետրահիդրոպիրաններում և տետրահիդրոնիոպիրաններում բենզոլային օղակը զուգորդման հարնունյունից շեղված է մոտավորապես 60° անկլամը։

# A NEW METHOD OF PREPARATION OF β AND β,β-SUBSTITUTED α-PHENYLACRYLONITRILES

R. S. VARTANIAN, R. G. ISRAELIAN and S. H. VARTANIAN

A new method of preparation of various  $\beta$  and  $\beta$ ,  $\beta$ -substituted a-phenylacrylonitriles has been proposed by phase catalysis. It has been shown that in cyanophenylmethylpiperidines, tetrahydropyrans and tetrahydrothiopyrans the benzene ring was deviated from the plane of conjugation approximately by 60 degrees.

#### ЛИТЕРАТУРА

- 1. Р. С. Вартанян, Арм. хим. ж., 30, 781 (1977).
- 2. Р. С. Вартанян, Л. В. Варданян, С. А. Вартанян, Арм. хим. ж., 30, 784 (1977).
- 3. C. M. Lee, A. H. Becket, T. K. Sugden, Tetrah., 22, 2721 (1966).
- 4. R. Anker, A. Cook, J. Chem. Soc., 1946, 806.
- 5. А. А. Поляков, Р. А. Хмельницкий, Масс-спектрометрия в органической химии, Изд. «Химия», Л., 1972, стр. 198.
- 6. Г. Будзикевич, К. Джерасси, Д. Уильямс, Интерпретация масс-спектров органических соединений, Изд. «Мир», М., 1966, стр. 138.
- 7. E. A. Broude, F. Soudhelmer, J. Chem. Soc., 1955, 3754.

XXXI, № 4, 1978

УДК 547.461.5:547.461.8

# производные двухосновных карбоновых кислот

XI. ЧЕТВЕРТИЧНЫЕ АММОНИЕВЫЕ СОЛИ АМИНОЭФИРОВ ГЛУТАРОВОЙ И ПРОБКОВОЙ КИСЛОТ

# О. Л. МНДЖОЯН п Н. А. ГРИГОРЯН

Институт тонкой органической химии им. А. Л. Миджояна АН Армянской ССР, Ереван

Поступило 23 VII 1976

Исследована реакция хлорангидридов глутаровой и пробковой кислот и β-диметиламиноэтанола. Установлено, что при образовании аминоэфиров промежуточными соединениями являются ациламмонневые и оксонневые производные, а также дикетены. Получены и идентифицированы четвертичные аммониевые соли β-диметиламинон α-метил-β-диметиламиноэтиловых эфиров пробковой кислоты.

Табл. 1, библ. ссылок 5.

Продолжая исследования по синтезу аминоэфиров дикарбоновых кислот [1], мы предприняли изучение химизма образования аминоэфиров при взаимодействии хлорангидридов глутаровой и пробковой кислот с β-диметиламиноэтанолом, используя данные о реакции хлорангидридов карбоновых кислот и аминоспиртов [2].

При взаимсдействии хлорантидридов дикарбоновых кислот и аминоопиртов нуклеофильная атака возможна как за счет неподеленной пары электронов азота, так и кислорода.

При смешивании хлорангидрида и аминоспирта в юреде абсолютного бензола при 0—5° имело место образование белого осадка, состоящего в основном из гидрохлорида β-диметиламиноэтилового эфира взятой кислоты III и ациламмониевой соли аминоспирта IV:

$$(CH_3)_3NCH_2CH_2OH - O = C = CH(CH_2)_{n-2}CH = C = O$$
HCI V VI

В некоторых случаях на хроматографической пластинке обнаруживался также гидрохлорид аминоспирта V, а хлорангидрид не обнаруживался. В бензольном слое не было обнаружено свободного аминоэфира или аминоспирта.

В ИК спектрах полученной твердой реакционной смеси отмечались полосы поглощения в областях 3380—3400 (ОН), 1630—1650 и 1810 см<sup>-1</sup> (С=О амидной группы), снижение интенсивности полосы 1210—1250 (СОО) эфирной группы, а также смещение С=О карбонила эфирной группы от 1730 до 1750 см<sup>-1</sup>. При разбавлении раствора полученного осадка в четыреххлористом углероде было установлено наличие водородной связи.

Эти данные говорят о том, что в смеси совместно с гидрохлоридом аминоэфира имеется ациламмониевое производное взятого аминоопирта. При проведении той же реакции в кипящем бензоле (6—8 час.) ациламмониевое производное не обнаруживается.

Надо полагать, что при 0—5° параллельно имеет место нужлеофильная атака как со стороны азота, так и со стороны кислорода гидроксильной группы, вслед за чем следует миграция ацильной группы от азота к кислороду. Наряду с азотсодержащими продуктами реакции имеет место образование дикетена VI, который в ИК спектре обнаруживается полосой в области 2100—2200 см<sup>-1</sup>. Дикетен может образоваться вследствие отщепления хлористого водорода от хлорангидрида дикарбоновой кислоты за счет α-водородного атома, чем и объясняется обнаружение гидрохлорида аминоспирта V в начале реакции. Образование дикетена было доказано также получением диамида пробковой кислоты.

$$O=C=CH(CH_2)_4CH=C=O \xrightarrow{NH_8} H_2NC(CH_2)_6CNH_2$$

$$\parallel \qquad \parallel \qquad \parallel$$

$$O \qquad O$$

Строение этого соединения было доказано встречным синтезом из дихлорангидрида пробковой кислоты и аммиака.

# Экспериментальная часть

Хлорангидриды кислот были получены взаимодействием дикарбоновых кислот с хлористым тионилом [1]. Хроматография произведена в закрепленном слое силикагель марки КСК-гипс, подвижная фаза для твердого осадка—и-бутанол: этанол: уксусная кислота: вода (8:2:1:3) и для жидкого остатка—бензол: петролейный эфир (1:1), проявитель—пары йода. ИК спектры сняты на приборе UR-20 в вазелиновом масле.

Взаимодействие в-диметиламиноэтанола с хлорангидридами глутаровой и пробковой кислот. К хлорангидриду кислоты І при 0—5° добавлен ІІ (1:2). Перемешивание продолжено при той же температуре 30 мин. п еще 1 час при комнатной температуре. Выпавший осадок отфильтрован, промыт бензолом и высушен в вакууме. После хроматографического и спектроскопического исследований осадок обработан карбонатом калия, экстрагирован эфиром, высушен над сульфатом натрия и после отгонки эфира перегнан в вакууме. Из бензольного слоя после отгонки бензола при пониженном давлении жидкий остаток подвергался хроматографическому и спектроскопическому анализам.

- а) Из 10,0 г (0,06 моля) І (n=3), 10,68 г (0,12 моля) ІІ и 40 мл абс. бензола получено: белого осадка 19,0 г (91,4%), т. пл. 119—120°,  $R_{\rm f}$ , 0,47,  $R_{\rm f}$ , 0,22; ІІІ (n=3),  $R_{\rm f}$  0,22; жидкого остатка после отгонки бензола 1,0 г,  $R_{\rm f}$  0,95,  $R_{\rm f}$  0,43; V,  $R_{\rm f}$  0,43. Выход аминоэфира из 19,0 г осадка 4,0 г (25%), т. кип. 183—184°/5 мм. По лит. данным [3], т. кип. 164—165°/1 мм.
- б) Из 5,0 г (0,027 моля) І (n=6), 4,8 г (0,054 моля) ІІ и 40 мл абс. бензола получено: 9,0 г (92%) твердого осадка с т. пл. 120—121°,  $R_{\rm f_1}$  0,23,  $R_{\rm f_2}$  0,44; ІІІ (n=6),  $R_{\rm f_2}$  0,23; V  $R_{\rm f_2}$  0,43. Выход свободного аминоэфира из 9,0 г твердого осадка 1,9 г (24,3%), т. кип. 163—164% лм,  $R_{\rm f_2}$  0,38 [4]. Для остатка из бензола  $R_{\rm f_2}$  0,97 и  $R_{\rm f_2}$  0,43. В ИК спектре поглощение в области 2140 см $^{-1}$  соответствует кетену. К этому остатку (0,5 г) добавлен аммиак. Смесь нагрета при 30—40°. После фильтрации выпавшего осадка, перекристаллизации из 50% этанола получено 0,3 г вещества с т. пл. 207—208°. Найдено %: N 16,01.  $C_8H_{16}N_2O_2$ . Вычислено %: N 16,26. Диамид пробковой кислоты, полученный взаимодействием хлорангидрида и водного аммиака, плавится при 208—209°, по лит. данным, т. пл. 214° [5]. Найдено %: N 15,95.

 $\beta$ -Диметиламиноэтиловый эфир пробковой кислоты. К раствору 42,2 г (0,2 моля) I (n=6) в 150 мл абс. бенэола добавлено 35,6 г (0,4 моля) II в 150 мл абс. бензола. Смесь кипятили 8 час., обработали карбонатом калия и экстрагировали бензолом. После высущивания над карбонатом калия и отгонки бензола остаток перегнан в вакууме. Выход 51,5 г (80%), т. кип. 164—165°/1 мм, т. пл. гидрохлорида 194—195°.

Аналогично из 15,0 г (0,071 моля) І (n=6), 14,62 г (0,142 моля)  $\alpha$ -метил- $\beta$ -диметиламиноэтанола и 150 мл абс. бензола получено 13,0 г (54,0%)  $\alpha$ -метил- $\beta$ -диметиламиноэтилового эфира пробковой кислоты с т. кип. 184—185°/1 мм. Найдено %: N 7,91.  $C_{18}H_{36}N_2O_4$ . Вычислено %: N 8,14. Т. пл. гидрохлорида 191—192°,  $CH_3$ I 173—174°.

Четвертичные аммониевые соли аминоэфиров. К 0,06 моля аминоэфира в 30 мл сухого ацетона при 0—2° прибавлено при перемешивании 0,15 моля алкилгалогенида. Смесь кипятилась 6—7 час., выпавший осадок отфильтрован, промыт ацетоном, высушен и перекристаллизован из 95% этанола (табл.).

Таблица
Четвертичные аммониевые соли ди-β-диметиламиноэтилового
эфира пробковой кислоты

	ų,	1, %	Т. па.,	Ј или	Br. º/o
R	Х	Выход,	Т. па., °C	найдено	вычислено
C <sub>3</sub> H <sub>7</sub>	I	97	114—115	38,49	38,74
изо-С <sub>э</sub> Н <sub>1</sub>	1	40	79—80	38,44	38,74
C <sub>4</sub> H <sub>e</sub>	I	99	144—145	37,48	37,20
C5H11	Br	40	99—100	25,20	25,60

### ԵՐԿՀԻՄՆ ԹԹՈՒՆԵՐԻ ԱԾԱՆՑՑԱԼՆԵՐ

XI.ԳԼՈՒՏԱՐԱԹԹՎԻ ԵՎ ԽՑԱՆԱԹԹՎԻ β-ԴԻՄԵԹԻԼԱՄԻՆՈԱԼԿԻԼ ԷՍԹԵՐՆԵՐԻ ՉՈՐՐՈՐԴԱՑԻՆ ԱՄՈՆԻՈՒՄԱՑԻՆ ԱՂԵՐԸ

#### Հ. Լ. ՄՆՋՈՑԱՆ և Ն. Ա. ԳՐԻԳՈՐՑԱՆ

Ուսումնասիրված է գլուտարաβիվի և խցանաβիվի քլորան-իդրիդների և ամինասպիրտների ռեակցիան։ Հաստատված է, որ ամինաէսβերների ստացման ժամանակ առաջանում են միջանկյալ միացութերաններ՝ ացիլամոնիումային և օքսոնիումային ածանցյալներ, ինչպես նաև դիկետեններ։ Ստացված են խցանաβիվի β-դիմեթիլամինա- և α-մեթիլ-β-դիմեթիլամինաէթիլ էսթերների չորրորդային ամոնիումային ադերը։

# DERIVATIVES OF DICARBOXYLIC ACIDS

XI. QUATERNARY AMMONIUM SALTS OF β-DIMETHYLAMINOALKYL ESTERS OF GLUTARIC AND CINNAMIC ACIDS

#### H. L. MNJOYAN and N. A. GRIGORIAN

The reaction of aminoalcohols with glutaric and cinnamic acid chlorides has been investigated. It has been established that intermediate acyl ammonium and oxonium derivatives, as well as diketones are formed together with the principle aminoesters. The quaternary ammonium salts of  $\beta$ -dimethylamino- and  $\alpha$ -methyl- $\beta$ -dimethylaminoethyl esters of cinnamic acid have been obtained.

#### ЛИТЕРАТУРА

- 1. О. Л. Миджоян, О. Е. Гаспарян, Арм. хим. ж., 26, 481 (1973).
- 2. G. E. K. Branch, A. C. Nixon, J. Am. Chem. Soc., 58, 2499 (1936).
- 3. А. Л. Миджоян, О. Л. Миджоян, О. Е. Гаспарян, ДАН Арм. ССР, 18, 70 (1954).
- 4. А. Л. Миджоян, О. Л. Миджоян, О. Е. Гаспарян, ДАН Арм.ССР, 10, 143 (1954).
- 5. Aschan, Ber., 31, 2350 (1898).

XXXI, № 4, 1978

УДК 547.831.735

# РЕАКЦИИ НУКЛЕОФИЛЬНОГО ЗАМЕЩЕНИЯ 2-ДИХЛОРМЕТИЛ--4-МЕТИЛ-2,3-ДИГИДРОТИЕНО (3,2-c) ХИНОЛИНОВ

Л. В. ГЮЛЬБУДАГЯН, ВАН НГОК ХЫОНГ н В. Л. ДУРГАРЯН

Ереванский государственный университет

Поступило 15 II 1977

Предложен метод получения тнурониевых солей. Исследовано взаимодействие 2-дихлорметил-4-метил-2,3-дигидротнено (3,2-с) хинолинов с некоторыми нуклеофилами  $\left[ \overline{\text{OC}}_{13}, \ \overline{\text{OC}}_{2} H_{5}, \ (C_{2} H_{5})_{2} \text{NH} \right].$  Табл. 5. библ. ссылок 2.

Ранее было выяснено, что  $2-(\alpha-хлор-\alpha-бромэтил)-2,3-дигидрофурано (3,2-с) хинолины с нуклеофилами образуют <math>2-(\alpha-замещенный этил)-фуро (3,2-с) хинолины. В настоящем сообщении аналогичный ход реакции замечен и при взаимодействии <math>2-дихлорметил-2,3-дигидротиено (3,2-с) хинолинов с алкоголят-ионами (<math>\overline{OCH}_3$ ,  $\overline{OC}_2H_5$ ) и диэтиламином.

 $R' = OCH_3$ ,  $OC_2H_5$ ,  $(C_2H_5)_2N$ —

Такому направлению реакции, по-видимому, способствует процесс ароматизации.

Ранее нами был осуществлен синтез некоторых производных 2-дихлорметил-2,3-дигидротиено(3,2-с) хинолина [1] взаимодействием соответствующих 4-хлор-3-(3,3-дихлораллил) хинолинов с тиомочевиной в спирте. В настоящей статье мы пополнили этот ряд. В отличие от прежнего метода реакция была проведена не в опиртовой среде, а в абсолютном ацетоне. Благодаря такому изменению условий реакции нам удалось выделить в чистом виде кристаллические тнурониевые соли V—IX и затем подвергнуть их гидролизу с целью получения 2-метил-4-меркапто-3-(3,3-дихлораллил) хинолинов для дальнейшей внутримолекулярной циклизации в соответствующие тиенохинолины. Но, как и в предыдущем случае [1], продуктом реакции оказались не

4-тиохинолины, а продукты их циклизации—2-дихлорметил-4-метил-2,3-дигидротиено (3,2-с) хинолины. Наши исследования показали, что тиуропиевые соли подвергаются гидролизу с образованием 2,3-дигидротиено (3,2-с) хинолинов при их взаимодействии с водным раствором соды, аммиака и даже при длительном нахождении в воде. Однако лучше всего гидролиз проводить разбавленной щелочью, поскольку нециклизованный 4-тиохинолин растворяется в щелочи и тиенохинолин легко отделяется в виде свободного основания.

Проделанную работу можно представить следующей схемой:

$$\begin{array}{c} \text{OH} \\ \text{CH}_2\text{CH} = \text{CCI}_2 \\ \text{CH}_3 \\ \text{CH}_4 \\ \text{CH}_5 \\ \text{CH}_5 \\ \text{CH}_5 \\ \text{CH}_5 \\ \text{CH}_6 \\ \text{CH}_7 \\ \text{CH}$$

Чистота продуктов проверена методом TCX ( $Al_2O_3$ , II степени активности, проявитель—пары  $I_2$ ). Структуры новых соединений подтверждены элементным анализом и IIMP опектроскопией.

# Экспериментальная часть

8-Метокси-(I) и 8-хлор-(II)-2-метил-3-(3,3-дихлораллил)-4-оксихинолины получены по [2], исходя из о-анизидина, о-хлоранилина и α-(3,3-дихлораллил) ацетоуксусного эфира. I (R=8-CH<sub>3</sub>O), выход 65%, т. пл. 167°. Найдено %: Cl 23,71; N 4,75. C<sub>14</sub>H<sub>18</sub>NO<sub>2</sub>Cl<sub>2</sub>. Вычислено %: Cl 23,82; N 4,69. II (R=8-CI), выход 55%, т. пл. 185°. Найдено %: Cl 35,01: N 4,50. C<sub>13</sub>H<sub>10</sub>NOCl<sub>3</sub>. Вычислено %: Cl 35,20; N 4,62.

8-Метокси-(III) и 8-хлор-(IV)-2-метил-3-(3,3-дихлориллил)-4-хлор-хинолины получены по [2].

III (R=8-CH<sub>3</sub>O), выход 93%, т. пл. 134°. Найдено %: Cl 33,72; N 4,50. C<sub>14</sub>H<sub>12</sub>NOCl<sub>3</sub>. Вычислено %: Cl 33,64; N 4,40.

IV (R=8-Cl), выход 90%, т. пл. 89°. Найдено %: Cl 44,31; N 4,27. C<sub>13</sub>H<sub>9</sub>NCl<sub>4</sub>. Вычислено %: Cl 44,23; N 4,36.

Хлористые соли S-[2-метил-3-(3,3-дихлораллил)-4-тиохинолил]тиурония V-IX. Смесь 0,01 моля 2-метил-3-(3,3-дихлораллил)-4-хлорхинолина, 0,015 моля тномочевины и 100 мл абс. ацетона килятят 3-4 часа. Выпавшие кристаллы отфильтровывают и промывают горячим ацетоном (табл. 1).

Таблица І

Тиур	онневы	е солн
------	--------	--------

- ±	Te let	Tnn	0/0:	На	ійдено,	°/o	Выч	ислено,	•/o
Соедине-	R	Т. пл., °C*	Buxoa,	CI	N	s	Cı	N	S
v	н	149	85	29,20	11,39	8,70	29,37	11,38	8,82
VI	6CH,	143	90	28,35	11,01	8,32	28,28	11,15	8,49
VII	6CH <sub>3</sub> O	140	93	27,02	10,80	8,35	27,13	10.70	8,15
VIII	6CO,C,H,	159	92	24,39	9,50	7,28	24,53	9,66	7,36
IX	8CI	147	91	35,86	10,15	8,15	35,76	10,57	8,06

<sup>•</sup> С разложением.

2-Дихлорметил-2,3-дигидро-4-метилтиено(3,2-с)хинолины. Растворяют тиурониевые соли (V—IX) в воде, отфильтровывают и к фильтрату прибавляют немного раствора NaOH до рН 7,5. Через 30 мил. фильтруют и продукт перекристаллизовывают из 60% спирта (табл. 2).

Таблица Z 2-Дихлорметил-2,3-дигидро-4-метилтиено(3,2-с)хинолины

жне-	R	Т. пл.,	A. %	Ha	йдено,	°/o	Выч	D*		
Соедине-		°C	Выход	CI	N	S	CI	N	S	R <sub>f</sub> *
x xi	6C1	178 142	87 81	22,50 33,29	4,30		22,61 33,43	4,45	10,19	0,75

 $O_2C_2H_8$ ) и XIII (R=8-CH<sub>3</sub>) см. в [1].

Сигналы ПМР спектра X (R=6-OCH<sub>2</sub>) в ССі<sub>4</sub>: a — сингл. 7,50, e-дубл. 6,50, c-сингл. 5,97, d-кварт. 5,56, e-дубл. 4,20, f-м льтипл. 2,2-2,4т.

<sup>\*</sup> Растворитель СНСI, « С. Н. 4. 25: 1.

2-Метоксиметил-4-метилтиено (3,2-с) хинолины XIV—XVII. К 50 мл абс. метилового спирта прибавляют 0,2 г-ат натрия. После окончания реакции прибавляют 0,1 моля 2-дихлорметил-4-метил-2,3-дигидротиено (3,2-с) хинолина. Смесь нагревают на водяной бане 2 часа, удаляют метанол и к остатку прибавляют воду. Осадок отфильтровывают и перекристаллизовывают из 70% спирта (табл. 3).

2-Метоксиметил-4-метилтнено(3,2-с)хинолины

Таблица 3

	гие-	D	Т. пл.,	д. %	На	йдено,	º/o	Выч	ислено	. %	p.
	Соедине-	R	°C	Выход,	CI	N	S	CI	N	S	R <sub>t</sub>
	XIV	Н	69	83	_	5,80	13,08	20-7	5,76	13,16	0,62
	xv	6CH <sub>3</sub> O	97	85	-	5,19	11,79	_	5,12	11,70	0,72
,	XVI	6C1	61	85	12,70	5,10	11,46	12,79	5,04	11,53	0,75
	XVII	8CH <sub>3</sub> O	83	95	-	5,04	11,80		5,12	11,70	0,73

\* Растворитель СНСІз.

Сигналы ПМР спектра XV (R=6-OCH<sub>2</sub>) в ССI<sub>4</sub>: a—сингл. 7,20, b—сингл. 6,70, c—сингл. 5,98, d—сингл. 5,43, e-сингл. 2,80, f—мультипл. 2,2—2,4 $\tau$ .

2-Этоксиметил-4-метилтиено(3,2-с)хинолины XVIII—XXI (табл. 4) получают аналогично.

2-Этоксиметил-4-метилтиено(3,2-с)хинолины

Таблица 4

He-	R	Т. пл.,	д, º/о	Ha	йдено,	°/ <sub>0</sub>	Выч	ислено,	. %	p.
Соедине-	R	°C	Выход,	CI	N	S	CI	N	S	R,
XVIII	Н	74	83	W	5,32	12,34	13-1	5,40	12,41	0,63
XIX	8CH,	63	90	_	5,07	11,90	200	5,16	11,80	0,65
XX	6C1	60	87	12,23	4,71	11,02	12,17	4,80	10,97	0,67
IXX	8CO <sub>2</sub> H	220	80	-	4,76	10,50	12-1-1	4,65	10,63	0,40

\* Растворитель СНСІ3.

Сигналы ПМР спектра XVIII (R=H) в ССІ<sub>4</sub>: a—трипл. 8,80, b—синг. 7,20, c—кварт. 6,50, d—синг. 5,30, e—сингл. 2,80, f—мультипл. 2,2—2,4 $\tau$ .

2 - Диэтиламинометил - 4 - метилтиено (3,2-с) хинолины XXII—XXV. Смесь 0,004 моля XII, 0,01 моля диэтиламина и 15 мл ДМФА нагревают 3 часа, затем удаляют диметилформамид. Прибавляют воду и 10% NaOH до рН 9. Отфильтровывают продукт и перекристаллизовывают из 70% спирта (табл. 5).

2-Диэтиламинометил-4-метилтиено(3,2-с)хинолины

Таблица 5

		Т. пл	1, %	Ha	йдено,	%	Выч	нслено,	0/0	0.
Соедине-	R	Т. пл., °С	Выход,	CI	N	S	CI	N	S	R <sub>f</sub>
XXII	н	83	80	_	9,76	11,25	_	9,86	11,26	0,60
XXIII	6CI	94	89	11,22	8,70	10,12	11,14	8,79	10,04	0,70
XXIV	8CH <sub>3</sub> O	91	85	_	9,01	10,10	_	8,91	10,19	0,69
XXV	8CH3	85	80		9,32	10,64	-	9,39	10,73	0,65

\* Растворитель CHCl3: C4H14, 25:1.

ПМР спектр 2-диэтиламинометил-4-метилтиено (3,2-с) хинолина XXII (R=H) в CDCI<sub>2</sub>: a—трипл. 8,85, b—кварт. 7,30, c—сингл. 7,00, d—сингл. 6,10, e—сингл. 2,85, f—мультипл. 2,2—2,4 $\tau$ .

# ԴԻՔԼՈՐՄԵԹԻԼ-4-ՄԵԹԻԼ-2,3-ԴԻՀԻԴՐՈԹԻԵՆՈ(3,2-C)ՔԻՆՈԼԻՆՆԵՐԻ ՆՈՒԿԼԵՈՖԻԼ ՏԵՂԱԿԱԼՄԱՆ ՌԵԱԿՑԻԱՆԵՐ

լ. վ. ԳՅՈՒԼԲՈՒԴԱՂՅԱՆ, ՎԱՆ-ՆԳՈԿ-ԽԻՈՆԳ և վ. Հ. ԴՈՒՐԳԱՐՅԱՆ

Ուսումնասիրված է 2-դիքլորմենիլ-4-մենիլ-2,3-դիհիղրոնինտ(3,2-c)քի-նոլինների փոխազդեցունկունը որոշ նուկլեոֆիլների հետ  $[\overline{O}CH_3, \overline{O}C_2H_5, \overline{N}(C_2H_5)_2]$ :

# THE NUCLEOPHILE SUBSTITUTION REACTIONS OF 2-DICHLOROMETHYL-4-METHYL-2,3-DIHYDROTHIENO(3,2-c)-QUINOLINES

L. V. GYULBUDAGHIAN, VAN NGOK HUONG and V. H. DURGARIAN

The Interaction of 2-dichloromethyl-4-methyl-2,3-dihydrothleno-(3,2-c)quinolines with some nucleophiles, as  $\overline{OCH_3}$ ,  $\overline{OC_2H_5}$  end  $N(C_2H_5)_2$  has been investigated.

## ЛИТЕРАТУРА

1. Л. В. Гюльбудагян, Вак Нгок Хыонг, В. Г. Дургарян, Т. В. Квочко, Арм. хим. ж., 29, 365 (1976).

2. Л. В. Гюльбудагян, Э. О. Чухаджян, ХГС, 1968, 485.

# XXXI, № 4, 1978

УДК 542.91+547+547.752

# производные индола

LX. 1,2,3,4,4a,5,7,8,13b,13c-ДЕКАГИДРО-13H-БЕНЗ(g)ИНДОЛО(2,3-а)ИНДОЛИЗИНЫ И 1,2,3,4,4a,5,7,8,9,14,14b,14c-ДОДЕКАГИДРОИЗОИНДОЛО(1,2-а)ИНДОЛО- (2,3-c)АЗЕПИНЫ

С. А. ПОГОСЯН, А. Г. ТЕРЗЯН, Г. Т. ТАТЕВОСЯН, Д. З. ПАРТЕВ и Э. В. ВЛАСЕНКО

Институт тонкой органической химин нм. А. Л. Миджояна АН Армянской ССР, Ереван

Поступнло 23 V 1977

Описан синтез и изучена стереохимия 1,2,3,4,4a,5,7.8,13b,13c-октагидро-13H-бенз (g)-индоло (2,3-а) индолизинов (I, n=1) и 1,2,3,4,4a,5,7,8.9,14,14b,14c-додекагидроизонидоло-(1,2-а) индоло (2,3-а) азепинов (I, n=2).

Табл. 4, библ. ссылок 6.

В предыдущих сообщениях [1—3] были описаны внутримолекулярная конденсация оксиимидинов II в лактамы III и их восстановление алюмогидридом лития (АГЛ) в непредельные основания IV.

В настоящем сообщении приводится синтез их перегидроаналогов (1).

Каталитическая гидрогенизация двойной связи кольца Е в непредельных основаниях IV производилась платиновой чернью.

Хроматографирование непредельных оснований IV не выявило наличия диастереоизомеров. Но при хроматографировании основания IV (R=R'=H, R''=Cl) было обнаружено два изомера, обусловленных, очевидно, положением атома хлора. Действительно, после каталитического гидрирования двойной связи, сопровождающегося дехлорированием, TCX не выявила наличия второго вещества. Идентичность основания I (R=R'=R''=H), полученного восстановлением основания IV (R=R'=H, R''=Cl) и IV (R=R'=R''=H), подтверждалась строением их спектров, а также отсутствием депрессии в пробе смещанного плавления.

Кольца D и E в основаниях IV, I сохраняют цис-сочленение, имеющееся в исходных ангидридах, поэтому пространственное строение полученных оснований должно определяться механизмом циклизации оксинмидинов, которое может происходить двумя различными путями.

Воэможна непосредственная нуклеофильная атака карбинольного углеродного атома α-углеродным атомом индольного ядра. В этом случае пространственное строение лактамов III должно определяться конформацией пирролидинового кольца в оксиммидинах.

R = индолил-3-этил- или индолил-3-пропил

Из двух возможных конформаций термодинамически стабильным является оксиимидии, изображенный формулой а. Это вытекает из того факта, что в ИК спектре оксиимидинов II обнаружена внутримолекулярная водородная связь в области 3200—3300 см<sup>-1</sup>, стабилизирующая их в конформации а. Бимолекулярное нуклеофильное замещение должно привести к образованию лактамов III и оснований IV, I, имеющих строение цисланти-изомеров.

Можно также предположить, что оксиимидины II в кислой среде подвергаются дегидратации, а образование лактамов III происходит в результате циклизации протонированного енамина [4], реалирующего в форме мезомерного карбониево-аммониевого иона. В этом случае нельзя заранее предсказать конфитурацию лактамов, т. к. замещение происходит по механизму  $S_N 1$ .

Хроматография оснований IV, I не выявила наличия стереонзомеров. Это говорит в пользу того, что оксиимидины циклизуются в основном по механизму  $S_N 2$ .

Так как циклизация оксиимидинов II происходит стереоспецифичпо и, как указывалось выше, самым вероятным продуктом реакции
является изомер *цис*-анти-строения, нам пришлось по следующей схеме получить *цис*-син-изомер и сравнить их ПМР спектры [5].

Окисление бензиндолоиндолизина (I, R = R' - R'' = H) в  $\Delta^{13b}$ -дегидропроизводное (V) мы осуществили с помощью трет. бутилгипохло-

рида [6]. Каталитическая гидрогенизация  $\Delta^{13b}$ - дегидропроизводного (V) приводит к стереоизомеру (VI) с син-положением атомов водоро-

да при углеродных атомах C-13b и C-13c.

Изомер цис-син имел в ПМР спектре узкий сигнал метиленовых протонов декагидроизоиндолинового фрагмента в области 0.8-2 м. д. с  $W_{\rm H}$ , равным 4 гц. В ПМР спектрах оснований I обнаружен уширенный сигнал тех же метиленовых протонов в области 0.8-2 м. д. с  $W_{\rm H}$ , равным 12-22 гц. Сравнение спектров ПМР основания VI циссин-строения и оснований I, n=1 позволяет сделать заключение о том, что все основания I, n=1 бензиндолоиндолизинового ряда имеют цисанти-строение.

В ИК спектрах оснований I, n=1 имеются полосы поглощения при 2700—2800 см $^{-1}$ , что говорит о значительном преобладании трансконформации индолизидинового фратмента в этих соединениях.

Таким образом, самое благоприятное пространственное строение оснований I, n=1 может быть представлено конформационной формулой VII.

Все соединения показали высокую активность (50—60% анальгезии) по тесту «горячая пластинка». Наиболее активным оказалось соединение (n=2, R=R'=R'=H), которое вызывало 85% обезболивающий эффект. Однако с повышением дозы вещества (100, 150 мг/кг) у животных появлялись токсические явления.

# Экспериментальная часть

ИК спектры снимались на спектрометрах «UR-20», ПМР спектры— на приборе «Varian I-60» с использованием в качестве стандарта ТМС. ТСХ проводилась на окиси алюминия II степени активности и на силуфоле «UV-254».

1,2,3,4,4а.5,7,8,13b,13c-Декагидро-13H-бенз(g) индоло(2,3-а) индолизины (I, n=1). 0,005 моля соответствующего ненасыщенного основания IV в 100 мл безводного спирта в присутствин 0,05 г платиновой черни гидрировалось до прекращения поглощения водорода. Поглощалось 125 мл водорода (рассчитанное количество 112 мл). Катализатор отфильтровывался, промывался спиртом и растворитель отгонялся в вакууме. Затем остаток растворялся в эфире, экстракт высущивался над едким кали п пропускался через слой окиси алюминия.

Гидрирование непредельного основания (IV, R"=Cl) прекратилось после поглощения 245 мл водорода (рассчитанное количество—225 мл). После фильтрования катализатора и удаления растворителя остаток подщелачивался раствором едкого кали и экстрагировался эфиром. Последний высушивался над едким кали и пропускался через слой окиси алюминия.

После удаления части эфира продукты восстановления оседали в виде бесцветных кристаллов или аморфных веществ. В ИК спектрах полученных веществ имелись больмановские полосы поглощения. ПМР спектры (CDCl<sub>3</sub>),  $\delta$ , м. д.: R=R'=H,  $R''=CH_3$ , 7,85 (индол NH), 7,4—7,25 (4H-аромат. протоны), 1,2 (CH<sub>3</sub>); R=R''=H,  $R'=CH_3$ , 8,1 (индол. NH), 7,4—7,2 (4H-аромат. протоны), 1,18 (CH<sub>3</sub>), 0,8—2 (протоны при C-1, C-2, C-3, C-4, C-4а и C-13c,  $W_{II}=22\ zu$ ); R=R'=R''=H. 7,8 (1H-C индол. NH), 7,4—7,2 (4H-аромат. протоны), 0,8—2 (протоны при C-1, C-2, C-3, C-4, C-4а и C-13a,  $W_{II}=16\ zu$ ).

Цитраты очищенных оснований осаждались из эфирных растворов. Выходы и константы оснований и их солей даны в табл. 1 и 2.

Таблица I 1,2,3,4,4a,5,7,8,13b,13c-Декагидро-13H-бенз(g)индоло(2,3-а)индолизины (l, n=1)

			0,0	130		Hai	адено,	0/0	Выч	ислено	o, %,		С спектр, и, см <sup>-1</sup>
R	R'	R"	Ę	Т. пл., °С	Rf		100			T		в хл	ороформе
			Выхо			С	Н	N	С	Н	N	NH	обл. Боль- мана
Н	н	н	89	205—206	0,72	81,11	8,00	10,47	81,15	8,32	10,51	3480	2725, 2780
H**	Н	Н	83	205— <b>20</b> 6	0,72	81,18	8,01	9,88	81,15	8,32	10,51	3475	2730, 2775
Н	CH <sub>3</sub>	Н	90	88—90	0,68	81,98	9,00	9,33	81,38	8,62	9,99	3480	2730, 2795
OCH <sub>3</sub>	H	Н	92	155—158	0,72	76,68	8,30	9,24	76,98	8,16	9,45	3475	2720
Н	Н	CH <sub>3</sub>	91	158—160	0,68	81,19	8.40	9,91	81,30	8,62	9,99	3480	2740, 2810
	-	,			!				1			1	- 611

<sup>\*</sup> Xлороформ-ацетон, 8,5:1,5.

Таблица 2 Цитраты 1,2,3,4,4а,5,7,8,13b,13с-декагидро-13H-бенз(g)индоло(2,3-а)индолизинов (I, n=1)

R	R'	R*	Т. пл.*, °C	Hai	йдено, ⁰	10	Вычислено, 0/0		
				С	н	N	С	Н	N
н	н	н	208-210	63,71	7,01	6,60	62,96	6,59	6,11
H.	CH <sub>3</sub>	Н	200-202	63,40	6,48	5,61	63,54	6,82	5,92
OCH <sub>3</sub>	Н	Н	153—155	61,17	6,86	5,61	61,46	6,60	5,73
Н	Н	CH <sub>3</sub>	194—198	63,20	7,01	5,97	63,54	6,82	5,92

<sup>\*</sup> Цитраты плавятся с разложением.

<sup>\*\*</sup> Получено из основания IV (R=R'= H, R"=CI).

Цис-син-1,2,3,4,4а,5,7,8,13b,13c-декагидро - 13H-бенз(g) индоло1(2,3-а) индолизин (VI). К раствору 1,3 г (0,0047 моля) 1,2,3,4,4а,5,7,8,13b,13c-декагидро-13H-бенз(g) индоло(2,3-а) индолизина, 0,7 мл триэтиламина и 65 мл треххлористого метилена, охлажденного до —10° в течение 40 мин, прибавлялось 0,6 г (0,0055 моля) трет.бутилгипохлорида в 5 мл четыреххлористого углерода так, чтобы температура не превышала —10°, затем охлаждение прекращалось и перемешивание смеси продолжалось еще 15 мин. Смесь промывалась водой, высушивалась над сернокислым натрием. Иосле отгонки половины растворителя остаток подкислялся эфирным раствором хлористого водорода и растворитель отгонялся. Образованная ссль (V) растворялась в 50 мл абс. спирта и гидрировалась в присутствии 0,1 г PtO<sub>2</sub>.

После поглощения 112 мл водорода (расочитанное количество 105 мл) гидрирование практически прекратилось. Катализатор отфильтровывался, раствор подщелачивался 7 мл 10% раствора едкого натра и спирт отгонялся в вакууме. Остаток экстрагировался хлороформом. Хлороформный раствор промывался водой, высушивался над серножислым натрием и растворитель отгонялоя в вакууме. Получено 0,8 г (62%) вещества. R, 0,75 (хлороформ-ацетон, 9:1). Найдено %: С 81,27; Н 7,50; N 10,50. С<sub>18</sub>Н<sub>20</sub>N<sub>2</sub>. Вычислено %: С 81,77; Н 7,62; N 10, 60.

10, 60.

ИК спектр (CHCl<sub>3</sub>),  $c_M^{-1}$ : 3450 (NH). ПМР опектр (CDCl<sub>3</sub>),  $\delta$ , м. д.: 1,4—2—(9H-метилен. протоны при C-4a, C-5, C-7, C-8, C-13b, C-13c,  $W_H$  = 4  $\epsilon u$ ); 7,18 (4H-аромат. протоны).

1,2,3,4,4a,5,7,8,9,14,14b,14c-Додекагидроиндоло (2,3 - с) изоиндоло (1,2-а) азепины (1, n=2). Смесь 0,005 моля ненасыщенного основания IV (n=2) и 0,05 г платиновой черни прогидрирована в спирте вышеуказанным способом. Гидрирование прекратилось после поглощения 120 мл водорода, а в случае наличия хлора в кольце Е при двойной связи после поглощения 245 мл. Обработка и получение цитратов аналогичны вышеописанному.

Выходы и константы приведены в табл. 3 и 4.

Таблица 3 1,2,3,4,4а,5,7,8.9,14,14b,14с-Додекагидроиндоло(2,3-с)изоиндоло(1,2-а)азепины (1, n=2)

R R	R'	R*	BHXOH, %	Т. пл., °С	R <sub>f</sub>	Найдено. •/。			Вычислено, %/			ИК спектр, у, см <sup>-1</sup>	
						С	Н	N	С	Н	N	в хлороформе NH	
41 H**	Н	Н	84 91	аморф.						8,62		3480	
H	CH <sub>3</sub>	10.00	92	аморф. 92—94			8,78	10,07 9,76		8,62 8,90	9,99 9,51	3480 3475	

<sup>\*</sup> Хлороформ-адетон, 8:2.

<sup>\*\*</sup> Получено из основания IV (n=2, R=R'=H, R"=Ci).

Таблица 4 1,2,3,4,4a,5,7,8,9,14.14b,14c-Додекагидронндоло(2,3-c)изоиндоло(1,2-a)азепины (I,  $\pi$ =2)

R	R'	R"	Т. пл.*, °C	Ha	йдено, •	/•	Вычислено, %		
				С	н	N	С	Н	N
Н	н	н	165—169	64,02	6,52	6,34	63,54	6,82	5,92
Н	Н	н	165—169	63,86	6,90	6,03	63,54	6,82	5,92
Н	CH <sub>3</sub>	н	156159	64,79	7.83	6,06	64,18	7,04	5,75

<sup>•</sup> Цитраты плавятся с разложением.

В ИК спектрах отсутствовали больмановские полосы. ПМР спектры (CDCl<sub>3</sub>),  $\delta$ , м. д.: R=R'=R''=H, 8,2 (индол. NH), 7,4—7,15 (4H-аромат. протоны), 0,8—2 (протоны при C-1, C-2, C-3, C-4, C-4a, C-14a). R=R''=H,  $R'=CH_3$ , 8,1 (индол. NH), 7,4—7,1 (4H-аромат. протоны), 1,2 (CH<sub>3</sub>) и 0,8—2 (протоны при C-1, C-2, C-3, C-4, C-4a, C-14a).

### ԻՆԴՈԼԻ ԱԾԱՆՑՅԱԼՆԵՐ

LX.  $1,2,3,4,4_8,5,7,8,18b,13_{C}$ —ԴԵԿԱՀԻԴՐՈ $-13_{H}$ —ԲԵՆԶ(g) ԻՆԴՕԼԱ $(2,3_{-8})$ —ԻՆԴՈԼԻԶԻՆՆԵՐ ԵՎ  $1,2,8,4,4_8,5,7,8,9,14,14_{b},14_{C}$ —ԴՈԴԵԿԱՀԻԴՐՈՒԶՈՒՆ—ԴՈԼԱ $(1,2_{-8})$  ԻՆԴՈԼԱ $(2,3_{-C})$  ԱԶԵՊԻՆՆԵՐ

ህ. Հ. ՊՈՂՈՍՑԱՆ, Ա. Գ. ԹԵՐԶՑԱՆ, Գ. Տ. ԹԱԴԵՎՈՍՑԱՆ, Դ. Ջ. ՊԱՐԹԵՎ և Է. Վ. ՎԼԱՍԵՆԿՈ

Կինսարանական հատկութերուննները ուսումնասիրելու նպատակավ, ստացված են սլերհիդրո-13H-բենզ(ց)ինդոլա(2,3-a)ինդոլիզիններ և պերհիդրոիզոինդոլա(1,2-a)ինդոլա(2,3-c)ազեպիններ համապատասխան չհագեցած հիմթերի E օղակի C=C հիդրումով։ Ուսումնասիրված է նաև նրանց ստերեռջիմիան։

Հիմքերի մեծ մասը օժտված են անալգետիկ հատկությամբ։

#### INDOLE DERIVATIVES

LX. 1,2,3,4,4a,5,7,8,13b,13c-DECAHYDRO-13H-BENZ(g)INDOLO-(2,3-a)INDOLIZINES AND 1,2,3,4,4a,5,7,8,9,14,14b,14c-DODECAHYDROISOINDOLO(1,2-a)-INDOLO-(2,3-c)AZEPINES

S. H. POGHOSSIAN, A. G. TERZIAN, G. T. TATEVOSSIAN, D. Z. PARTEV and E. V. VLASENKO

For biological investigation purposes the title compound have been prepared by hydrogenation of the C=C double bond in the ring E of the corresponding unsaturated bases.

The stereochemistry of these compounds has also been studied. Most of the bases possess analgesic properties.

Армянский химический журнал, XXXI, 4-5

#### ЛИТЕРАТУРА

- 1. С. А. Погосян, А. Т. Терзян, О. И. Бакунц, Г. Т. Татевосян, Арм. хим. ж., 28. 153 (1973).
- 2. С. А. Погосян, А. Т. Терзян, А. Б. Исраелян, Г. Т. Татевосян, Арм. хим. ж., 27, 597 (1974).
- 3. С. А. Погосян, А. Г. Терзян, С. Р. Овакимян, Г. Т. Татевосян, Арм. хим. ж., 28, 345 (1975).
- 4. Ф. Р. Широян, Л. В. Хажакян, А. Р. Мкртчян, А. Г. Терзян, Г. Т. Татевосян, Арм. хим. ж., 20, 649 (1967).
- 5. C. G. Morison, W. A. Cetenko J. Shavel, J. Org. Chem., 32, 2763 (1967).
- 6. W. O. Godifredsen, S. Vangedal, Acta Chem. Scand., 10, 1414 (1956).

УДК 54,547:541.6/678.6

# ПОЛИАНГИДРИДЫ НА ОСНОВЕ 2-ЗАМЕЩЕННЫХ 4,6-бис (n-ҚАРБОҚСИФЕНОҚСИ)-s-ТРИАЗИНОВ

Г. М. ПОГОСЯН, И. А. АСАТУРЯН и В. Н. ЗАПЛИШНЫЙ Институт органической химии АН Армянской ССР, Ереван Поступило 27 X 1977

Взанмодействием 2-замещенных 4,6-бис (п-карбоксифенокси)-s-триазинов с хлористым ацетилом синтезирован ряд полиангидридов. Показано, что полученные полиангидриды устойчивы при хранении и обладают высокой термостойкостью. Табл. 2, библ. ссылок 11.

Впервые полиантидриды были получены Бечером и Слейдом [1]. Авторами работ [2—5] получено большое число ароматических полиантидридов и сополнантидридов. Многие из этих полимеров легко перерабатываются в пленки и волокна, обладающие ценными свойствами [2, 3], а полиантидрид терефталевой кислоты устойчив даже по отношению к царской водке [4].

За исключением работы [6], в которой описаны полиангидриды 2-замещенных 4,6-диглицил-s-триажинов, в литературе отсутствуют сведения о полиангидридах, содержащих симм-триазиновый цикл в главной цепи.

В настоящей работе описан синтез полиангидридов 2-R-4,6-бис (п-карбоксифенокси)-s-триазинов. Реакцию полиангидридизации осуществляли в две стадии: вначале взаимодействием соответствующих дикислот с избытком хлористого ацетила синтезировали смешанные ангидриды, затем термической поликонденсацией последних в вакууме получали лолиангидриды по схеме

$$\begin{array}{c} \text{HOOC-} \bigcirc -\text{O-} \bigcirc \text{N} -\text{O-} \bigcirc -\text{COOH} \xrightarrow{\text{CH}_{3}\text{COCI}} \\ \\ R \\ \text{I} \\ \\ \hline \\ \text{O O} \\ \end{array}$$

$$\longrightarrow \begin{array}{c} CH_3C - \begin{bmatrix} -OC - \bigcirc & O - \bigcirc & N \\ \parallel & O \end{bmatrix} - O - \bigcirc & O - \bigcirc & O \end{bmatrix} - O - \bigcirc O -$$

 $R=OCH_3$ ,  $OC_2H_5$ ,  $OC_6H_5$ , CI,  $NHC_6H_5$ ,  $N(C_2H_9)_3$ ,  $N(CH_3)_3O(CH_3)_3$ .

Первую стадию реакции (кипячение дикислоты с избытком ацетилхлорида) заканчивали к моменту полной гомогенизации реакционной омеси. В зависимости от характера R дикислоты кипячение продолжали от 2 до 19 час. Наиболее трудно гомогенизация происходит с дикислотами, содержащими в положении 2 триазинового цикла остатки диэтиламина, морфолина и хлора. В случае 2-метокси-4,6-бис (п-карбоксифенокси)-s-триазина продукт первой стадии выделен в чистом виде. Его строение подтверждено данными элементного анализа и ИК опектров.

Вторую стадию реажции осуществляли в вакууме (5 мм) при 150—220° и продолжительности нагревания (т) 3 часа. Эти условия выбраны исходя из влияния т и температуры реажции на выход, температуру размягчения и характеристическую вязкость ([η]) полиангидрида на основе дикислоты R—ОСН<sub>3</sub> (табл. 1). Дальнейшее увеличение т и повышение температуры приводит к образованию неплавких и нерастворимых продуктов.

В случае дикислот  $R=N(CH_2)_2O(CH_2)_2$ ,  $N(C_2H_5)_2$ ,  $NHC_0H_5$ ,  $OC_0H_5$  полиангидриды с удовлетворительными выходами и значениями [ $\eta$ ] получены в более жестких условиях ( $\tau=4$  часа, при  $150-240^\circ$ ). Некоторые свойства полученных полиангидридов, а также данные их ИК спектров приведены в табл. 2.

Для полиангидридов  $R = NHC_6H_5$  в ИК спектре обнаружена полоса поглощения в области 1660 см $^{-1}$ , характерная для СОN—связн, что указывает на протекание побочной реакции гомоконденсации за счет подвижного водорода аминогруппы.

Подверженность полученных полиангидридов гидролизу влагой воздуха была изучена по [7]. При этом влажность воздуха колебалась в пределах 50—75%, а температура 15—28°. После 60 суток хранения на воздухе температуры размягчения и ИК спектры полимеров не изменились, что говорит об их устойчивости при хранении. Однако они разлагаются концентрированными растворами минеральных кислот и при кипячении в воде: в ИК спектрах исчезают области поглощения, характерные для С—О—С группы.

0 0

По данным термогравиметрического анализа (ДТГ), полученные полиангидриды устойчивы на воздухе от 130 до 250°. Наиболее термо-

стойким оказался полиангидрид  $R = N (C_2H_5)_2$  (табл. 2). Интенсивная потеря веса полимеров начинается при 225—280°.

Все полученные полиангидриды представляют собой низкомолекулярные ([η]) = 0,11—0,25 дл/г) порошки от белого до светло-коричневого цвета с т. разм. 145—275°. Они растворимы в N,N-диметилформамиде (ДМФА), N-метилпирролидоне, нитробензоле, ацетоне, практически не растворимы в эфире, алифатических и ароматических углеводородах. При высыхании растворов они образуют прозрачные, хрупкие пленки. Выходы, т. разм., [η] и др. свойства полученных полимеров определены для переосажденных образцов.

# Экспериментальная часть

Использованные в процессе синтеза и обработки полимеров растворители очищали по [8]. Исходные 2-метокси-, 2-этокси-, 2-фениламино-, 2-диэтиламино-, 2-морфолил- и 2-фенокси-4,6-бис (п-карбоксифенокси)-s-триазины получали по [9—1:1].

2-Хлор-4,6-бис (п-карбоксифенокси)-s-триазин. К 9,27 г (0,05 моля) цианурхлорида в 200 мл ацетона при 0° и интенсивном перемешивании прикапали раствор 13,8 г (0,1 моля) п-оксибензойной кислоты в 200 мл 1 н едкого натра. Перемешивали еще 1 час при этой температуре, 2 часа при комнатной и оставили на ночь. На следующий день при пониженном давлении отогнали ацетон, а остаток подкислили соляной кислотой до рН 4, отфильтровали, высущили в вакууме при 20°. Получено 7 г (35,9%) 2-хлор-4,6-бис (п-карбоксифенокси)-s-триазина. Перекристаллизованный из ДМФА порошок белого цвета имеет т. пл. 243—245°. Найдено %: С 52,24; Н 2,72; СІ 9,01; N 10,62. С<sub>17</sub>Н<sub>10</sub>СіN<sub>3</sub>О<sub>3</sub>. Вычислено %: С 52,66; Н 2,60; СІ 9,15; N 10,84. ИК спектр, см-1: С—О—С 1700, 1220, 1170, 1130, С—N сопр. и фенил 1590, 1570, 1500.

Смешанный ангидрид 2-метокси-4,6-бис (п-карбоксифенокси)-s-триазина и уксусной кислоты (II). Смесь 1,917 г (0,005 моля) 2-метокси4,6-бис (п-карбоксифенокои)-s-триазина и 5,1 г (0,05 моля) хлористого
ацетнла в 20 мл очищенного сухого хлороформа жипятили с обратным
холодильником до полной гомогенизации реакщионной смеси. Смесь
охладили и при пониженном давлении отогнали избыток ацетилхлорида и хлороформа. Остаток растворили в хлороформе, высадили петролейным эфиром и высущили в вакууме при 20°. После 3-кратного переосаждения указанным способом получено 1,8 г (77,8%) II с т. пл.
58—60°, представляющего собой порошок белого цвета, хорошо
растворимый в обычных органических растворителях. Он легко гидролизуется даже влагой воздуха—после 3 суток хранения при комнатной
температуре на воздухе (влажность около 50%) его т. пл. составляла
90—95°. Найдено %: N 9,02. С22Н17N3О9. Вычислено %: N 8,99. ИК

Таблица .
Вяняние температуры и (т) на выход, т. разм. и [η] полимеров на основе 2-метоксн-4,6-бис(п-карбокснфегоксн)-з-триазина

Усл	овня синтеза	Выход	T 70.54	[т] полимера,		
τ, <b>4</b> <i>ac</i>	температура П стадни реак- ции, °С	пелимера, °/0	Т <sub>разм</sub> поли- мера, °C	дл/г, 20°C		
0,5 1,0 2,0 3,0	150 150—170 150—200	35 42 49	95-100 100-110	0,052 0,067 0,098		
3,0 4,0	150—220 150—240	60 28	240—245*	0,130 0,150*		

<sup>•</sup> Выход, т. разм. и [η] даны для растворимой части полимера.

Таблица 2 Некоторые свойства полнангидридов 2-R-4,6-бис(п-карбоксифенокси)-s-триазинов

- Herolopae eson	*		20	N, %		N	C C C	
R	Выход,	Т. разм., °С	[4]. 9a/z,	напдено вычис- лено		группа	v, см <sup>-1</sup>	Т. начала ложения, (ДТГ)
OCH <sub>3</sub>	60	195—205	0,25	11,39	11,56	C-O-C    0 0	1780, 1720, 1220, 1160, 1120	220
			-	ġ -	- 11	С-N сопр. и фенил	1620, 1600, 1570, 1500	
OC <sub>2</sub> H <sub>5</sub>	83	145—155	0,17	10,71	11,07	C-O-C        0 O	1790, 1730, 1220, 1160	165
		1	23			C=N сопр. и фенил	1580, 1550, 1500	16
OC <sub>6</sub> H <sub>5</sub>	42	190—200	0,12	9,37	9,83	C-O-C	1770, 1710, 1250, 1210, 1160	200
						C=N сопр. н фенил	1590, 1560, 1500	
NHC <sub>6</sub> H <sub>5</sub>	45	190—195	0,13	14,61	13,13	C-O-C       0	1760, 1710, 1250, 1200, 1160	130
		3.83			40	C=N conp. и фенил	1590, 1550, 1530	
						C-N	1660	
N(C <sub>2</sub> H <sub>5</sub> ) <sub>2</sub>	32	230—240	0,11	14,30	13,78	0 —	7-2	250
N(CH <sub>2</sub> ) <sub>2</sub> O (CH <sub>2</sub> ) <sub>2</sub>	86	170—185	0,16	13,22	13,32	C—O—C 	1780, 1720, 1260, 1210, 1160	190
17-9 11-10		100	1			C=N сопр. и фенил	1590, 1530, 1500	
CI	73	275—285	0,14	9,32	10,84	· - 100	-	230

спектр, см-1: С-О-С 1780, 1720, С=N сопр. и фенил 1590, 1570,

C-O-C 1220, 1160, 1120.

Полиангидриды 2-R-4,6-бис (п-карбоксифенокси)-s-триазинов (III). Смесь 0,0056 моля I и 16,3 г (0,16 моля) ацетилхлорида кипятили до полной гомогенизации. Отогнали избыток хлористого ацетила, а остаток в зависимости от R нагревали в вакууме (5 мм) 3—4 час. при 150—240°. Образовавшийся блок очистили переосаждением из раствора полимера ДМФА эфпром, отфильтровывали, промыли эфиром и высушили в вакууме при 100° до постоянного веса (табл. 1, 2).

Трезы полимеров определяли в капиллярах обычным способом, характеристическую вязкость—в вискозиметре Уббелоде для растворов полимеров в ДМФА. ДТГ проводили на дериватографе системы Паулик, Паулик и Эрдей нагреванием навески полимера на воздухе от 20 до 500° (5°/мин). Из данных кривых ТГ путем соответствующих вычислений построены кривые зависимости потери веса от температуры.

# 2–ՏԵՂԱԿԱԼՎԱԾ–4,6–բիս(պ–ԿԱՐԲՕՔՍԻՖԵՆՕՔՍԻ)–սիմ–ՏՐԻԱԶԻՆՆԵՐԻ ՀԻՄԱՆ ՎՐԱ ՊՈԼԻԱՆՀԻԴՐԻԴՆԵՐ

Գ. Մ. ՊՈՂՈՍՑԱՆ, Ի. Հ. ԱՍԱՏՈՒՐՅԱՆ և Վ. Ն. ԶԱՊԼԻՇՆԻ

2-Տեղակալված 4,6-թիս(պ-կարբօքսիֆենօքսի)-սիմ-տրիազինները պոլիկոնդեսացնելով ացետիլքլորիդով ստացված են համապատասխան պոլիանհիդրիդներ։ Ցույց է տրված, որ այդպիսի պոլիանհիդրիդները կայուն են պահպանման ընթացքում և բնորոշվում են բարձր ջերմակայունությամբ։

# PREPARATION OF POLYANHYDRIDES ON THE BASIS OF 2-SUBSTITUTED-4,6-bis-(p-CARBOXYPHENOXY)-s-TRIAZINES

G. M. POGHOSSIAN, I. H. ASSATURIAN and V. N. ZAPLISHNY

A series of polyanhydrides has been obtained by the polycondensation of 2-substituted-4,6-bis-(p-carboxyphenoxy)-s-triazines with acetyl chloride. It has been shown that they are stable on standing and possess high thermostability.

- 1. F. E. Bucher, C. Slade, J. Am. Chem. Soc., 31, 1319 (1909).
- 2. A. Contx, J. Pol. Sci., 29, 343 (1958).
- 3. N. Yoda, Makromol. Chem., 32, 1 (1959).
- 4. F. Heglein, H. Tarrasch, Kunstsaffe, 6, 5 (1959).
- 5. N. Yoda, A. Mlyake, Bull. Chem. Soc. Japan, 32, 1120 (1959).

- 6. В. Н. Заплишный, Г. М. Погосян, И. А. Асатурян, Арм. хнм. ж., 29, 1043 (1976).
- 7. М. С. Дуткин, Э. М. Гольдштейн, ЖОХ 26, 2559 (1956).
- 8. А. Вайсбергер, Д. Проскауэр, Дж. Риддик, Э. Тупс, Органические растворители, ИЛ. М., 1958, стр. 267.
- 9. Г. М. Погосян, И. А. Асатурян, В. Н. Заплишный Арм. хим. ж., 29, 597 (1976).
- 10. Г. М. Погосян, И. А. Асатурян, В. Н. Заплишный, Арм. хим. ж., 29, 963 (1976).
- 11. Г. М. Погосян, Л. М. Акопян, Д. Н. Оганесян, Э. С. Аванесян, Арм. хим. ж., 30, 499 (1977).

## <u> 2 Ц 3 Ч Ц Ч Ц Б Р Г Р Ц Ч Ц Б Ц Г И Ц Ч Р Р</u> АРМЯНСКИЙ ХИМИЧЕСКИЙ ЖУРНАЛ

XXXI, № 4, 1978

#### **КРАТКИЕ СООБЩЕНИЯ**

УДК 547.589 + 547.586

# ПРИСОЕДИНЕНИЕ АЛИФАТИЧЕСКИХ АМИНОКИСЛОТ К в-АРОИЛАКРИЛОВЫМ КИСЛОТАМ

С. Г. АГБАЛЯН, Р. Дж. ХАЧИКЯН и К. И. ТУМАНЯН Институт органической химии АН Армянской ССР, Ереван Поступило 10 XI 1977

Взаимодействне аминоуксусной и аспартиновой кислот с β-ароилакриловыми кислотами приводит к образованию производных α-амино-β-ароилпропионовых кислот

Табл. 2, библ. ссылок 9.

Реакции β-ароилакриловых кислот с аминами различного строения приводят к однозначному результату—образованию α-аминокислот [1]. Некоторые работы, в которых предполагалось образование /β-аминокислот [2, 3] в настоящее время пересмотрены [4—7].

Изучены реакции β-ароилакриловых жислот с различными аминами, в том числе и ароматическими аминокислотами [6]. Однако реакции с алифатическими аминокислотами до сих пор не изучены. Между тем они могут представить определенный интерес для синтеза комплексонов [8] и биологически активных соединений [9].

Нами осуществлены реакции β-ароилакриловых кислот с аминоуксусной и аспаргиновой кислотами. Реакции проведены при комнатной температуре в водном растворе едкого кали, взятом в количествах, необходимых для нейтрализации всех карбоксильных групп.

Arcoch=Chcooh + Nh<sub>2</sub>Ch<sub>2</sub>Cooh 
$$\longrightarrow$$
 Arcoch<sub>2</sub>Chcooh

NHCh<sub>2</sub>Cooh

I

Arcoch=Chcooh + Nh<sub>2</sub>Chcooh  $\longrightarrow$  Arcoch<sub>2</sub>Chcooh

Ch<sub>2</sub>Cooh

NHChcooh

Ch<sub>2</sub>Cooh

Строение синтезированных аминожислот I и II подтверждено данными ИК спектроскопии. Аминокислоты охарактеризованы в виде гид-

II

рохлоридов, полученных при действии хлористого водорода на их метанольные растворы, поскольку с разбавленными растворами соляной кислоты они не взаимодействуют.

#### Экспериментальная часть

β-Ароил-α-(2-карбоксиметил) аминопропионовые кислоты (1). К 0,01 моля β-ароилакриловой кислоты добавили 5 мл воды и 1,12 г (0,02 моля) едкого кали, затем 0,75 г (0,01 моля) аминоуксуоной кислоты. Реакционную смесь выдержали при комнатной температуре 3 дня, после чего подкислили разбавленной соляной кислотой. Образовавшийся вязкий осадок тщательно промыли водой, декантировали, затем прилили 15 мл воды и оставили на несколько дней для кристаллизации. Кристаллические осадки очистили из растворителей, указанных в табл. 1. ИК спектры, см⁻¹: 1700—1710, 1680—1670 (С=О), 2300—2700 (¬N—).

Кислоты І

Таблица 1

14.451	Выход, "/	Т. пл., °С (раствори- тель для кристалян- зации)	Найдено, º/ <sub>•</sub>			Вычислено, %			Т. пл. гидро-
Ar			С	Н	N	С	Н	N	хлоридов, °С
C <sub>6</sub> H <sub>5</sub>	76	151—153 (ацетон)	57,00	5,15	5,64	57,34	5,21	5,57	8081
n-CH <sub>3</sub> C <sub>6</sub> H <sub>4</sub>	73	168—170 (метанол— вода)	58,81	5,39	5,44	58,87	5,70	5,28	149-150
00	65	143 (ацетон)	62,79	6,08	4,44	62,94	6,27	4,58	69—71

 $\beta$ -Ароил- $\alpha$ -(N-сукцинил) аминопропионовые кислоты (II). К 0,01 моля  $\beta$ -ароилакриловой кислоты добавили 5 мл воды и 1,68 г (0,03 моля) едкого кали. К образовавшемуся раствору присыпали 1,33 г (0,01 моля) аспаргиновой кислоты. Реакционную смесь оставили при комнатной температуре на 4 дня, прозрачный раствор подкислили разбавленной соляной кислотой. Осевший хлопьевидный осадок много-кратно промывали водой, высушили и очистили из растворителей, указанных в табл. 2. ИК спектр,  $cm^{-1}$ : 1700—1710, 1680—1660 (C=O), 2200—2700  $\left(-\stackrel{+}{N} \leftarrow \right)$ 

#### Таблица 2

#### Кислоты II

Ar	Выход	Т. пл., °С, (раствори- тель для кристалли- зации)	Найдено, <sup>●</sup> /₀			Вычислено, %/0			Т. пл. гидро-
			С	Н	N	С	Н	N	хлоридов, °С
C <sub>6</sub> H <sub>5</sub>	71	205—206 (вода)	54,53	5,10	4,75	54,38	4.89	4,53	167
n-CH₃C <sub>6</sub> H <sub>4</sub>	57	126 (ацетон)	55,97	5,12	4,10	55,74	5,30	4,33	72—73
n-CH <sub>3</sub> OC <sub>e</sub> H <sub>4</sub>	66	130—131 (метанол— ацетон)	52,95	4,80	4,08	53,45	4,46	4,10	100-101
	60	119—121 (метанол)	59,90	5,67	3,85	59,52	5,83	3,85	_

- 1. А. Н. Несмеянов, М. И. Рыбинская, Л. В. Рыбин, Усп. хим. 36, 1089 (1967).
- 2. R. Moreau, G. Dumant, C. r. 250, 2383 (1960).
- 3. Q. Bougault, Chabrier, C. r., 226, 1378, 230 (1948).
- 4. M. Fraser, R. Raphael, J. Chem. Soc., 1950, 2245.
- 5. N. Cromwell, P. Greger, K. Cook, J. Am. Chem. Soc., 78, 4412 (1956).
- 6. R. C. Moreau, P. Loiseau, C. r. Serie C 283, 589 (1976).
- 7. Н. П. Чуркина, Н. П. Гамбарян, Д. А. Бочвар, С. Г. Агбалян, Арм. хим. ж., 30. 370 (1977).
- 8. В. Г. Яшунский, О. И. Самойлова, Усп. хим. 45, 1537 (1976).
- 9. B. Wickberg, Chem. Comm., 1975, 946.

# XXXI, № 4, 1978

УДК 541.64:66-971:537.212

# ТЕРМОКИНЕТИЧЕСКОЕ ИССЛЕДОВАНИЕ ПРОЦЕССА ЭЛЕКТРИЧЕСКОЙ ПОЛЯРИЗАЦИИ В ПОЛИМЕРАХ II. ОЦЕНКА ЭЛЕМЕНТАРНОГО АКТА ПОЛЯРИЗАЦИИ

#### С. Т. БАРСАМЯН

Всесоюзный научно-исследовательский и проектный институт полимерных продуктов, Ереван

Поступило 22 X 1976

Количественная оценка потенциального барьера  $\epsilon$ , преодолеваемого дипольным монозвеном при действии усредненной напряженности электрического поля в процессе поляризации полимерного диэлектрика, представляет большой интерес. Ниже приводится расчет величины  $\epsilon$ , называемой в дальнейшем энергией активации элементарного акта поляризации в полимерах, с использованием подхода усреднения предыдущего сообщения [1] относительно этого барьера; а также придерживаясь обозначений и экспериментальных подходов из динамической температурной зависимости тока через полимерный образец, получаем, что при любых последующих температурах  $T_1$  и  $T_2$  за токи  $I_1$  и  $I_2$  ответственны дипольные монозвенья, соответственно,  $dN_1$  и  $dN_2$ , а числа «закрепленных» в потенциальной яме дипольных монозвеньев равны отношению соответствующих вероятностей [2, 3]:

$$\frac{dN_1}{N - N_1} = \exp\left(-\frac{\varepsilon_1}{kT_1}\right) \tag{1}$$

$$\frac{dN_2}{N - N_2} = \exp\left(-\frac{\varepsilon_2}{kT_2}\right) \tag{2}$$

где  $\epsilon_1$  и  $\epsilon_2$ —энергии активаций элементарного акта поляризации дипольного монозвена при температурах, соответственно,  $T_1$  и  $T_2$ . Каждое из этих значений энергий активаций представляется усредненным от общего набора энергетических барьеров, что вызвано разнообразием этих барьеров в полимерной структуре [1]. В случае подобного процесса данных дипольных монозвеньев в низкомолекулярном жидком состоянии на основании классической кинетической теории жидкостей [2] для каждого из уравнений (1) и (2) было бы справедливо

$$\frac{dN_l}{N - N_l} = \exp\left(-\frac{\varepsilon_l}{kT_l}\right) \tag{3}$$

где є — аналогичная энергия активации дипольного монозвена в жидкой, низкомолекулярной среде. Ее величина, безусловно, будет меньшей, чем для твердой среды, следовательно, dN для полимера (ур. 1 и 2) также будет меньшим по сравнению с жидкой, низкомолекулярной средой. Это рассуждение наводит на мысль об эффективности раосматриваемого поляризационного процесса в полимерах в мольном объеме,

в котором за величину  $H_a$  в сумме ответственны не  $\frac{N_A}{6}$  диполей [2, 4], ориентированных в направлении поля с преодолением барьера  $s_i$ , а только  $N-N_1$  или  $N-N_2$  при температурах, соответственно,  $T_1$  и  $T_2$  преодолевающие барьеры, соответственно,  $s_1$  и  $s_2$ . Следовательно,

считаем справедливым написать:

$$H_{\mathbf{x}1} = (N - N_1) \, \varepsilon_1 \tag{4}$$

$$H_{\rm g2} = (N - N_{\rm g}) \, \varepsilon_{\rm g} \tag{5}$$

Предполагаем, что для полимера є так же, как для жидкостей [2], зависит от температуры, но более сложно, котя бы потому, что сегментальная форма в каждом порциальном перемещении почти в любых кинетических процессах вызывает участие ограниченного количества звеньев [1]. При таких условиях энергия активации поляривации сегмента должна быть пропорциональна числу звеньев (n<sub>m</sub>) в нем.

$$h_{ami} = n_{mi} e_i \tag{6}$$

Предлагаем более сложную температурную зависимость, чем экспоненциальная, для параметра  $n_{ml}$ , обусловленную одновременным изменением множества факторов ближнего порядка с разной интенсивностью: гибкость цепи, свободный объем полимера, мономерный коэффициент трения и т. д. Хотя каждый фактор можно моделировать как экспоненциальную температурную зависимость в различных температурных областях, эти факторы приведут, по-видимому, к более сложной зависивости в. Следовательно, считаем справедливым это изменение выразить в виде

$$\varepsilon_2 = \varepsilon_1 - \Delta \varepsilon \tag{7}$$

где  $\Delta \varepsilon$ —прирост\* энергии активации элементарного акта поляризации в интервале температур  $T_2$ — $T_1$ .

Ниже приводится расчет температурной зависимости є. Из ур. (4) и (5) получим:

$$\frac{H_{A2}}{H_{A1}} = \frac{N - N_2}{N - N_1} \left( 1 - \frac{\Delta \varepsilon}{\varepsilon_1} \right) \tag{8}$$

<sup>\*</sup> Знак величины Дв не влияет на данный расчет.

Далее, сравнивая ур. (1) и (2) и используя соотношение (7), из ур. (8) можно получить:

$$\varepsilon_{1} = k \frac{T_{2} \ln \frac{dN_{2}}{dN_{1}} \cdot \frac{N - N_{1}}{N - N_{2}}}{\frac{T_{2}}{T_{1}} - \frac{N - N_{1}}{N - N_{2}} \cdot \frac{H_{12}}{H_{11}}}$$
(9)

Аналогично выводу уравнения для величины  $H_x$  [1] ур. (9) также можно привести к удобному расчетному виду:

$$\varepsilon_{1} = k \frac{T_{2} \ln \frac{J_{2} (J_{1} + J_{np}) (T_{np} - T_{1})}{J_{1} (J_{2} + J_{np}) (T_{np} - T_{2})}}{T_{1}} \frac{H_{g2} (J_{1} + J_{np}) (T_{np} - T_{1})}{H_{g1} (J_{2} + J_{np}) (T_{np} - T_{2})}$$
(10)

Таким образом, формула (10) позволяет рассчитать энергию активации элементарного акта поляризации дипольного монозвена при данной температуре  $(T_1)$ , если экспериментально определены удельные электропроводности и энергии активаций мольного объема данного полимера при данной  $(T_1)$  и последующей  $(T_2)$  температурах, а также предельная электропроводность  $(J_{np})$  при конечной температуре измерения  $(T_{np})$ . Затем можно определить количество дипольных монозвеньев  $(dN_1)$ , участвующих в процессе поляризации, например, при  $T_1$ , в мольном объеме за единицу времени, подставляя в формулу (1) значения  $N-N_1$  из ур. (4) и  $\epsilon_1$  из расчетной формулы (10).

- 1. С. Т. Барсамян, Арм. хим. ж., 31, 214 (1978).
- 2. С. Я. Френкель, Собрание избранных трудов, т. 2, Изд. АН СССР, Л., 1958, стр. 239.
- 3. H. Eyring, W. Kauzmann, J. Am. Chem. Soc., 62, 3113 (1940).
- 4. Г. И. Сканави, Физика диэлектриков (область слабых полей), ГИТТЛ, М—Л\_1949, стр. 43—53.

## 2 Ц 3 Ч Ц 4 Ц 5 Р Г Р Ц 4 Ц 5 Ц Г Г Ц 4 Р Р АРМЯНСКИЯ ХИМИЧЕСКИЯ ЖУРНАЛ

# XXXI, № 4, 1978

УДК 547.491.8+547.461.4+547.715

# ОТВЕРЖДЕНИЕ ТРИС (2,5-ДИОКСО ГЕТРАГИДРОФУРИЛ-4) ИЗО-ЦИАНУРАТА АЛИФАТИЧЕСКИМИ И АРОМАТИЧЕСКИМИ АМИНАМИ

м. л. ерицян, р. а. карамян, б. с. арутюнян и к. а. есаян

Государственный научно-исследовательский и проектный институт полимерных клеев им. Э. Л. Тер-Газаряна, Кяровакан

Поступило 23 VII 1976

В данной работе проведено отверждение с изучением физико-механических характеристых ранее синтезированного трис (2,5-диоксотетрагидрофурил-4) изоцианурата в присутствии алифатических и ароматических моно- и диаминов [1].

В качестве аминов использованы диэтиламин (ДЭА), анилин (А), п,п-фенилендиамин (ФДА) и гексаметилендиамин (ГМДА).

Отверждение трис (2,5-диоксотетрапидрофурил-4) изоцианурата указанными аминами проводилось при 85—95° в течение 3—4 час. в растворе диметилформамида. В качестве катализатора применялась концентрированная серная кислота.

Через 20—25 мін. после начала отверждения трис (2,5-диоксотетрагидрофурил-4) изопианурата аминами во всех случаях наблюдается постепенное выпадение осадка. Получающиеся после отгонки растворителя и сушки при 60—70° в вакууме в течение 24 час. отвержденные продукты не растворяются в органических растворителях и не имеют температуры размягчения. Выше 250° они разлагаются.

При отверждении трис (2,5-диоксотетрагидрофурил-4) изоцианурата аминами соотношения реагирующих компонентов регулировались таким образом, чтобы получить по возможности большее число ангидридных групп в полимерной цепи, имеющих существенное значение при создании композиционных материалов.

Полученные поликонденсаты исследовались методом термогравиметрии (рис.). Из термогравиметрических кривых видно, что природа отвердителя значительно влияет на термостабильность отвержденных продуктов.

#### Экспериментальная часть

ИК спектры продуктов снимались на приборе UR-20 в интервале поглощений от 650 до 3400 см<sup>-1</sup>.

Иопользовался диметилформамид с г. кип 153°/760 мм рт. ст., про 1,4294, серная кислота с с 1,8365, ФДА марки «ч.д.а.», А, ДЭА и ГМДА марки «ч.», трис (2,5-дноксотетрагидрофурил-4) изоцианурат, полученный по [2].

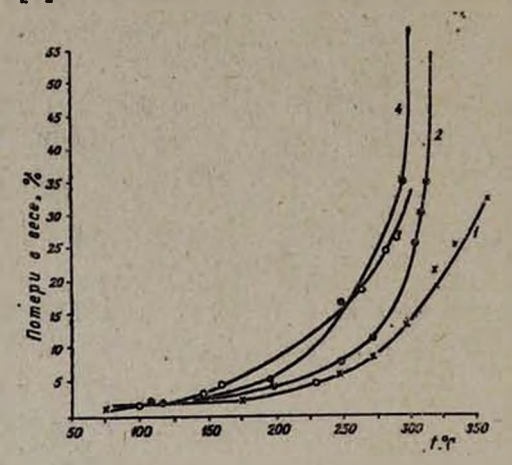


Рис. Кинетика разложения отвержденных продуктов трис-(2,5-диоксотетрагидрофурил-4)изоцнанурата с аминами: 1—ФДА, 2—А, 3—ДЭА, 4—ГМДА.

Отверждение трис (2,5-диоксотетрагидрофурил-4) изоцианурата п.пфенилендиамином. В трехгорлую колбу, снабженную механической мешалкой и обратным холодильником, помещают 5 г (0,0118 моля) трис (2,5-диоксотетрагидрофурил-4) изоцианурата, 25 мл ДМФА и перемещивают до полного растворения. Добавляют 0,3-0,4 мл конц. серной кислоты, 2,04 г (0,0118 моля) порошкообразного ФДА перемешивают до полной гомогенизации реакционной среды. Затем интенсивным перемешиванием поднимают температуру до 85° и проводят реакцию в течение 3,5 час. Через 25-30 мин. от начала реакции наблюдается постепенное выделение сшитого продукта темно-коричневого цвета. После завершения реакции фильтрованием отделяют продукт, промывают его этиловым спиртом для удаления непрореапировавшего трис (2,5-диоксотетрагидрофурил-4) изоцианурата и ФДА и сушат в вакууме при 70° в течение 24 час. Выход отвержденного продукта 77%. ИК спектр, см-1: CO-O-CO- 1080 и 1730, бенз. кольцо 825, 1500 m 1540.

Отверждение трис (2,5-диоксотетрагидрофурил-4) изоцианурата анилином. Реакцию проводят аналогично предыдущему с прибавлением 2,194 г (0,0236 моля) анилина. Продукт фильтруют и промывают этиловым спиртом. Выход 65%. ИК слектр, см-1: -CO-NH-R 1620 и 3340, -CO-O-CO- 1080 и 1720, бенз. кольцо 690, 1500 и 1540.

Отверждение трис (2,5-диоксотетрагидрофурил-4) изоцианурата диэтиламином. Проводят аналогично предыдущему с прибавлением 2,63 г (0,0236 моля) ДЭА. Поднимают температуру реакционной среды до 70° и проводят реакцию при данной температуре в течение 1—1,5 часа, затем при 90—95° 2—2,5 часа. Образование продукта наблюдается через 30 мин. от начала реажции в виде темно-коричневых хлопьев, которые отделяют фильтрованием. Осадок промывают этиловым спиртом и сушат при 60—70° в течение 24 час. Выход 80%. ИК спектр, с.м-1: —СО—1650 и 3350, С<sub>2</sub>H<sub>5</sub> 1450 и 29606, —СО—О—СО—1080 и 1720.

Отверждение трис (2,5-диоксотетрагидрофурил-4) изоцианурата гексаметилендиамином. Реакцию проводят аналогично предыдущему с добавлением 1,369 г (0,0118 моля) ГМДА. После его полного растворения температуру реакционной среды поднимают до 90—95°. Продолжительность реакции 3,5—4 часа. Выделение продукта наблюдается через 20—25 мин. от начала реакции. Продукт в виде темно-коричневой смолы фильтруют, промывают этиловым спиртом и сущат в вакууме при 60—70° в течение 24 час. Выход 85%. ИК спектр, см-1:—СО—NH—R 1635 и 3400, —СО—О—СО— 1018 и 1720, —(СН<sub>2</sub>)—1370, 14660 и 2870.

- 1. D. Devidson, H. Irovranen, J. Am. Chem. Soc., 80, 376 (1958).
- 2. М. Л. Ерицян, Р. А. Карамян, Б. С. Арутюнян, К. А. Есаян, Арм. хим ж., 31, 282 (1978).

XXXI, № 4, 1978

УДК 547.491.8+547.715

# ПОЛУЧЕНИЕ ТРИС (2,5-ДИОКСОТЕТРАГИДРОФУРИЛ-4) ИЗО-ЦИАНУРАТА И СМОЛ НА ЕГО ОСНОВЕ

м. Л. ЕРИЦЯН, Р. А. КАРАМЯН, Б. С. АРУТЮНЯН и К. А. ЕСАЯН

Государственный научно-исследовательский и проектный институт полимерных клеев им. Э. Л. Төр-Газаряна, Кировакан

Поступнло 23 VIII 1976

Целью настоящей работы является получение трис (2,5-диоксотетрагидрофурил-4) изощианурата и на его основе синтез смол с бифункциональными гидроксилсодержащими соединениями.

Трис (2,5-диоксотетрагидрофурил-4) изоцианурат (II) получен взаимодействием циануровой кислоты с малеиновым ангидридом в диметилформамиде в присутствии диметиланилина в качестве катализатора [1].

Оптимальное отношение [II]/[I] 5:1, температура реакции 130—135°. На основе трис (2,5-диоксотетратидрофурил-4) изоцианурата синтезированы различные смолы поликонденсацией с соединениями, содержащими две или более гидроксильные группы, при 40—110° в присутствии концентрированной серной кислоты.

В ходе поликонденсации реакционная масса остается гомогенной до глубокой стадни конверсии мономеров, а поликонденсаты представляют собой высоковязкую темно-коричневую массу. Полученные смолы хорошо растворимы в органических растворителях (спирты, кетоны, хлорсодержащие углеводороды и т .д.) и в воде, что обусловлено, по-видимому, отсутствием трехмерной структуры. При увеличении соотношения реагентов [двух-сп]/[II] от 1 до 10 при заданных условиях поликонденсации (40—110°, 3,5—4 часа) образования геля не

наблюдается и не снижается растворимость смол в вышеуказанных растворителях. При повышении температуры поликонденсации от 110 до 160° наблюдается выделение сшитого полимера, который не растворяется, а лишь набухает в полярных растворителях.

#### Экспериментальная часть

Трис (2,5-диоксотетрагидрофурил-4) изоцианурат. К 50 мл ДМФА постепенно добавляют 6 г (0,046 моля) циануровой кислоты, при интенсивном перемешивании нагревают до полного ее растворения и добавляют 3 мл диметиланилина. Постепенно добавляют 22,5 г (0,23 моля) малеинового ангидрида при 65—75° и при указанной температуре продолжают перемешивание в течение 30—40 мин. Повышают температуру реакционной среды в течение 25 мин. до 135—150° и перемешивают при этой температуре 3,5—4 часа. Отгоняют растворитель в вакууме, продукт отделяют многократным промыванием хлороформом и сущат при 2,5—3 мм рт. ст. и 25—30°. Выделяют целевой продукт темно-коричневого цвета с т. пл. 36—37°. Найдено %: С 42,16; Н 2,2; N 9,65. С 15 Н 9 О 12 N 3. Вычислено %: С 42,55; Н 2,12; N 9,92.

Данными ИК спектров (на UR-20) установлено наличие s-триазинового кольца, -CC, C=O,  $-CH_2-C=O$ , и -CH группи-

ровок в областях поглощения 763, 1210—1280, 1680—1720, 1370—1440 и 2800—2900  $cm^{-1}$ , соответственно.

Поликонденсация II с дифенилолпропаном. К 8,07 г (0,0354 моля) дифенилолпропана в 15 мл ДМФА при перемешивании добавляют 2—3 капли конц. серной кислоты и прикапывают 10 г (0,0236 моля) II, растворенного в 20 мл ДМФА, в течение 30 мин. Постоянным перемешиванием поднимают температуру реакционной смеси до 45—50° и проводят реакцию при указанной температуре в течение 2,5—3 час. После завершения реакции полностью отгоняют растворитель в вакууме. В результате получается высоковязкая темно-коричневая масса, обладающая хорошей липкостью, пропитываемостью различными пористыми материалами. В ИК спектрах поликонденсата обнаружено

наличие полосы поглощения следующих групп —С—О—С С ——СО—СО—СО—1240, 1640—1740 и 1160—1290, 840 см—1, соответственно.

Конденсация II с этиленгликолем проводится аналогично при 55— $60^{\circ}$  в течение 3—4 час. ИК спектр, см<sup>-1</sup>: —CO, —COOH, —CH<sub>2</sub>—OH 1640-1740, 1050-1085, соответственно.

Конденсация II с глицерином проводится аналогично при  $60-80^\circ$ . ИК спектр,  $c.u^{-1}$ : —CO, —CH<sub>2</sub>—CH—CH<sub>2</sub>— 1640-1740, 1100-1500, соответственно.

# ЛИТЕРАТУРА

1. Франц. пат. № 2.145.729. Опубликован в о/6 «Промышленная собственность», № 8, 1973.